



Roni Liimatta

# CRISPR-Cas9-genomieditointipalvelun käyttöönnoton edistäminen

Metropolia Ammattikorkeakoulu

Laboratorioanalytikko (AMK)

Laboratorioanalytiikka

Opinnäytetyö

7.3.2022

## Tiivistelmä

Tekijä:	Roni Liimatta
Otsikko:	CRISPR-Cas9-genomieditointipalvelun käyttöönnoton edistäminen
Sivumäärä:	28 sivua + 6 liitettä
Aika:	7.3.2022
Tutkinto:	Laboratorioanalytikko (AMK)
Tutkinto-ohjelma:	Laboratorioanalytiikka
Ohjaajat:	genomibiologian keskuspalveluyksikön johtaja Saara Ollila lehtori Tiina Soininen

---

Opinnäytetyö tehtiin Helsingin yliopiston genomibiologian keskuspalveluyksikölle. Genomibiologian yksikkö eli GBU (Genome Biology Unit) tarjoaa erilaisia genomin laajuiseten kloonikirjastojen jakelu- ja modifiointipalveluita Helsingin yliopiston ja muiden Biocenter Finland -yliopistojen tutkimusryhmien käyttöön. Tämän opinnäytetyön tarkoitus oli edistää GBU:n CRISPR-Cas9-menetelmään pohjaavan uuden genomieditointipalvelun käyttöönottoa.

Työ aloitettiin suunnittelemalla gRNA-Cas9-kompleksiin tarvittavat Opas-RNA:t eli gRNA:t tutkimusryhmän intresseissä oleville geeneille (STK11, STING1, ULK1, Ezh2, Met, Hgf, IL11, Axl ja Nrg1) Benchling-sovellusalustalla. gRNA:n sekvenssi vastaa modifioinnin kohdetta, ja sitä muokkaamalla pystytään vaikuttamaan siihen, mihin kohtaan genomissa gRNA-Cas9-kompleksi sitoutuu. Kohteeseen sitoutumisen jälkeen Cas9-proteiini katkaisee nukleaasidomainien avulla kaksijuosteisen DNA:n ja lopputuloksena syntyy kaksoisjuostenen katkos eli DSB (double-strand break). Tässä työssä gRNA:t suunniteltiin siten, että DSB syntyi geenissä sellaiseen kohtaan, joka aiheuttaisi geenin inaktivaation. Tämän avulla voidaan tutkia geenin toimintaa.

Opas-RNA:n (gRNA1) ylä- ja alajuoksuun suunniteltiin etu- ja taka-alukkeet 150 ja 500 emäsparin päähän, näiden tarkoituksesta on monistaa polymeraasiketjureaktion avulla (PCR) genomieditoinnin kohteena oleva alue geenistä. Sekvensoimalla kyseinen alue editoidusta solusta voidaan selvittää, onko genomieditointi onnistunut. Työn yhtenä tavoitteena oli määrittää, toimiko sekvensointimenetelmä editoinnin varmistamisessa, ja voidaanko sitä täten tarjota palveluna. Etu- ja taka-alukkeiden sekä gRNA:n suunnittelulle luotiin uusi protokolla GBU:lle.

Työn seuraavassa vaiheessa kaikille geeneille suunnitellut gRNA:t kloonattiin lentivirusvektoriin (lentiCRISPRV2 Puro). Konstruktin valmistamiselle laskettiin tarvikkeiden kulutuksen ja ajankäytön kautta hinta-arvio, joka tulee määritämään tarjottavan palvelun hinnan. Seuraavassa vaiheessa vektorit tullaan siirrostamaan lentivirukseen, millä infektoidaan soluja. Jos menetelmä toimii odotetulla tavalla, niin lentivirus siirtää gRNA-Cas9 kompleksia koodaavan DNA:n haluttuun solulinjaan, jonka genomin haluttuun kohtaan muodostuu kaksoisjuostenen katkos.

Avainsanat: CRISPR-Cas9, opas-RNA, lentivirusvektori

## **Abstract**

Author:	Roni Liimatta
Title:	The development of CRISPR/Cas9 genome editing service for Genome Biology Unit
Number of Pages:	28 pages + 6 appendices
Date:	7 March 2022
Degree:	Bachelor of Laboratory services
Degree Programme:	Degree Programme in Laboratory Sciences
Supervisors:	Saara Ollila, Director of Genome Biology Unit Tiina Soininen, Senior lecturer

---

This thesis was made for the Genome Biology Unit (GBU) which is a part of genome editing and stem cells core-unit platform Helsinki Institute of Life Science at the University of Helsinki. GBU provides genome-scale open reading frames and Gateway cloning services for research groups (Biocenter Finland research groups). The purpose of this thesis was to help forward the commissioning of a new CRISPR/Cas9 genome editing service.

The project started by designing gRNA:s for the Cas9-gRNA complex. The gRNAs were designed with Benchling platform for the research group's genes of interest (STK11, STING1, ULK1, Ezh2, Met, Hgf, Il11, Axl ja Nrg1). gRNA corresponds to the sequence that is the target of the editing by defining where the Cas9-gRNA complex will bind. After binding to the target DNA Cas9 will cut the double-stranded DNA and create a double-strand break (DSB). In this thesis the gRNAs were designed into a location that likely disrupts the gene's activity, allowing studies of the gene function.

Reverse and forward primers were also designed upstream and downstream (150 and 500 base pairs) of the gRNA binging site. The purpose for the primers is to multiply and isolate the sequence of interest from the gene by PCR (Polymerase Chain Reaction). By sequencing the PCR fragment, it is possible to evaluate the success of the gene editing. A new protocol was created for GBU for designing gRNAs and primers.

The next step of the project was to clone the designed gRNAs into a lentiviral vector (lentiCRISPRv2 Puro). The supply cost and work time was calculated for this step which will determine the price for this service. The final step of this service is to produce lentiviruses carrying Cas9 and the generated gRNA and infect target cells with the viruses. The virus will transfer the Cas9-gRNA complex encoding DNA to the cells allowing for gene editing in the desired position in the genome.

Keywords: CRISPR/Cas9, gRNA, lentiviral vector

# Sisällys

## Lyhenteet

1	Johdanto	1
2	CRISPR-Cas9	2
3	gRNA- ja PCR-alukkeiden (Primer) suunnittelu	6
4	Lenivirusvektoreiden valmistus ja tuotto	12
4.1	Plasmidit	12
4.2	Lentivirusvektoreiden valmistus, tuotto Stbl3-soluissa, eristys ja analysointi	13
5	PCR-alukkeidein testaus	19
6	Yhteenvetö	25
	Lähteet	27

## Liitteet

Liite 1:	Geenien gRNA1 ja gRNA2 Off-target-listat
Liite 2:	Konstruktien sekvenssit
Liite 3:	Protokolla gRNA ja PCR-alukkeiden suunnittelulle
Liite 4:	Näytteen nukleotidipitoisuus ja sekvenointitulokset
Liite 5:	Konstruktien sekvenssit
Liite 6:	Kustannusarvio lentivirusvektorin digestiolle, oligon yhteenliittämiselle ja kloonaamiselle digestoituun lentivirusvektoriin

## **Lyhenteet**

CAS: CRISPR Associated Protein. CRISPR-systeemiin liittynä proteiini.

CRISPR: *Clustered regularly interspaced short palindromic repeat*. Bakteerin adaptiiviseen immuunijärjestelmään liittyvät toistojaksot.

DSB: *Double-stranded break*. DNA:n kaksoisjuosteen katkos.

Fwdprimer: *Forward primer*. Etualuke.

GBU: *Genome Biology Unit*. Genomibiologian keskuspalveluyksikkö.

gRNA: *Guide RNA*. Opas-RNA.

NEB: *New England Biolabs*. Reagensseja tuottava biolaboratorio.

NHEJ: *Non-homologous end joining*. Ei-homologinen päiden yhdistyminen.

OL: *Overlap*. Limityminen.

PAM: *Protospacer Adjacent Motif*. Cas-entsyymin kiinnittymiskohta.

PCR: *Polymerase Chain Reaction*. Polymeraasiketjureaktio.

Revprimer: *Reverse primer*. Taka-aluke.

## 1 Johdanto

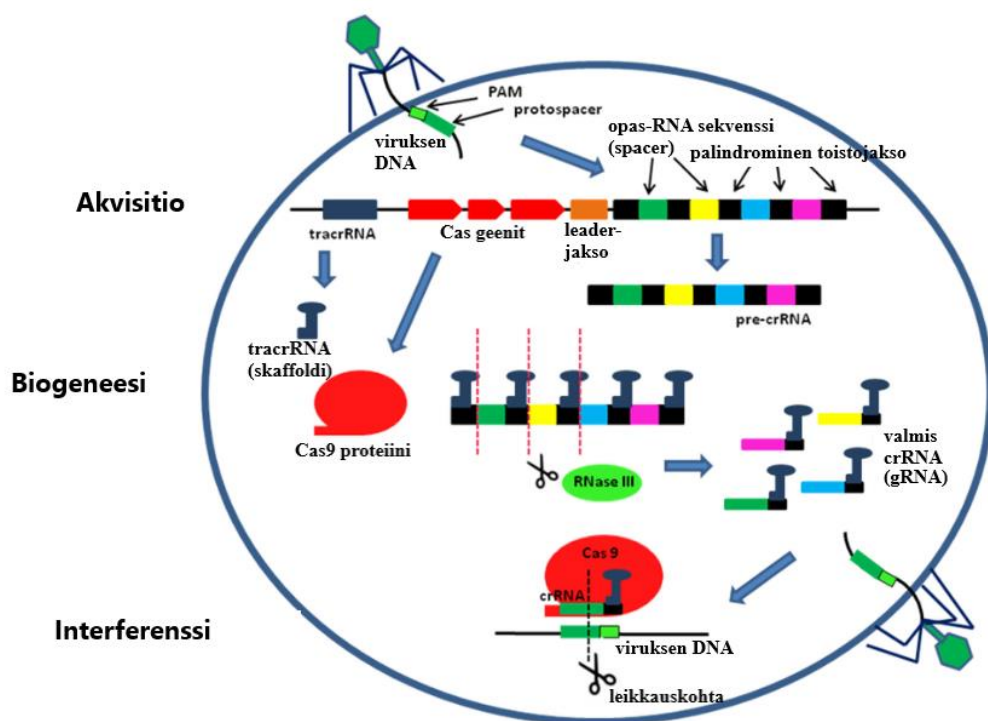
Opinnäytetyö tehtiin Helsingin yliopiston genomibiologian keskuspalveluyksikölle (Genome Biology Unit). Genomibiologian yksikkö eli GBU tarjoaa erilaisia genomin laajuisten kloonikirjastojen jakelu- ja modifiointipalveluita Helsingin yliopiston ja muiden Biocenter Finland -yliopistojen tutkimusryhmien käyttöön. GBU:lla on laaja avoin lukukehyskirasto eli ORF-kirjasto (Open Reading Frame), joka pitää sisällään 18600 täysin verifioitua kloonia sekä komplementaarisen DNA:n (cDNA) kokoelman 29000:lle eri kloonille (organismit *Homo sapiens* ja *Mus musculus*). GBU tarjoaa kohdennettua mutageneesiä kaikille ORF-kirjaston sisältämille klooneille sekä Gateway-kloonauspalvelun lukuisille ekspressiovektorille. GBU:lla on myös TRC1 shRNA - ja Sanger CRISPR (knockout) -kloonikirjasto. Kirjastojen sisältämät kloonit ovat saatavilla esimerkiksi glyserolistokkeina tai petrimaljoina. [1.]

Tämän opinnäytetyön tarkoitus oli edistää CRISPR-Cas9-menetelmään pohjaava genomieditointipalvelun lisäämistä GBU:n palveluportfolioon. CRISPR-Cas9-menetelmän avulla on mahdollista tuottaa uutta tutkimustietoa geenien toiminnasta. Tämä onnistuu esimerkiksi tuottamalla CRISPR-Cas9-kompleksilla kaksoisjuosten katkos sellaiseen kohtaan, joka tuottaa geenin inaktivaation. Geenin sammuttaminen johtaa proteiinin tuoton lakkamiseen, mikä antaa tarkempaa tietoa siitä, että mikä on geenin ja sen tuottaman proteiinin merkitys eliön kannalta.

CRISPR-Cas9-menetelmä tarjoaa mahdollisuuden myös uusiin hoitotoimenpiteisiin. Menetelmän avulla on käytännössä mahdollista poistaa perinnöllisiä genesairauksia tuottavia variantteja ja korvata ne terveillä käyttämällä homologiasunnattua päiden yhdistämistä kaksoisjuostenkatkoksen korjaamiseen. GBU:n uusi genomieditointipalvelu tulee helpottamaan tutkimuksen tekoa ja mahdollisesti tarjoamaan myös väilläisesti uutta tietoa geenien toiminnasta, kun eri tutkimusryhmät pääsevät käyttämään sitä hyväksi. GBU:lle uusi palvelu tulee puolestaan lisäämään liiketoimintaa.

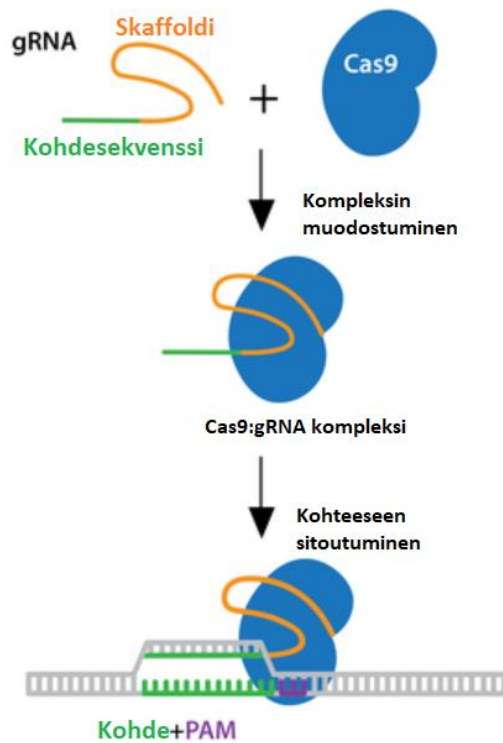
## 2 CRISPR-Cas9

CRISPR (*clustered regularly interspaced short palindromic repeat*) on osa bakteerin adaptiivista immuunijärjestelmää. Kyseistä immuunijärjestelmää ei ole havaittu nisäkkäillä. Järjestelmä perustuu bakteerin/arkin genomista löytyviin noin 20 emäsparin toistojaksoihin, jotka vastaavat aiemmin infektion muodostaneiden bakteriofagien DNA:ta/RNA:ta. Kyseiset toistojaksot eivät koodaa mitään proteiinia. Lyhyet palindromiset toistojaksot erottavat eri bakteriofagien tunnistussekvenssit toisistaan. Cas (CRISPR associated protein) on entsyymi, joka käyttää CRISPR:stä löytyviä toistojaksoja bakteriofagin DNA:n tunnistamiseen. Cas-proteiinia koodava sekvenssi löytyy genomista aina lyhyiden bakteeri- ja arkkivirusien genomia vastaavien toistojaksojen läheisyydestä. Tämän kokonaisuuden avulla esimerkiksi Cas9-entsyymi löytää ja pilkkoo bakteerisolun tunkeutuneen bakteriofagin DNA-juosteentietystä kohtaa ja infektio estyy. [2, s. 474–475.] (Kuva 1).



Kuva 1 Bakteerin CRISPR/Cas-immuunijärjestelmä bakteriofagia vastaan. [2, s. 234, muokattu.]

Bakteereissa aktiivinen CRISPR-CAS-systeemi on onnistuttu ottamaan käyttöön genomin muokkauksen apuvälineeksi myös muissa esimerkiksi nisäkkäiden soluissa. CRISPR-CAS-menetelmään (suomenkielisessä tekstissä käytetään usein termiä "geenisakset") sisältyy opas-RNA (gRNA/sgRNA) sekä Cas-proteiini (endonukleaasi, Cas9). Opas-RNA eli gRNA (guideRNA) on lyhyt synteettinen RNA-juoste, joka rakentuu gRNA:n Cas9-entsyyymiin kiinnittävästä osasta (skaffoldi) sekä noin 20 nukleotidin pituisesta sekvenssistä, joka vastaa modifioinnin kohdetta genomissa (kuva 2). Sekvenssiä muuttamalla pystytään luonnollisesti vaikeuttamaan siihen, mihin kohtaan genomieditointi kohdistuu. Kyseessä on ensimmäinen genomin muokkausmenetelmä, jossa kohdesekvenssi valitaan komplementaarisen sekvenssin perusteella, mikä tekee siitä helposti muokattavan. [3, s. 235.]

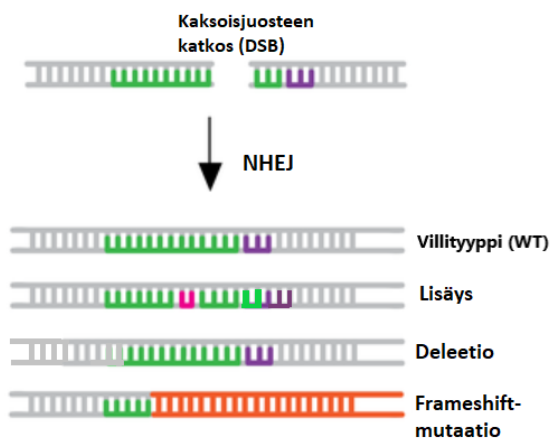


Kuva 2 CRISPR-Cas9-menetelmän muodostuminen ja rakenne. [4, muokattu.]

Kohdesekvenssin (20 nukleotidiä) tulee täyttää seuraavat kaksi ehtoa. Muuhun genomiin nähdien kohdesekvenssin pitää olla uniikki, ja sen välittömästä läheisyydestä pitää löytyä PAM-sekvenssi (Protospacer Adjacent Motif), joka sijaitsee 2–6 nukleotidin päässä alavirtaan kohdesekvenssistä. PAM-sekvenssin läheisyys on vältämätöntä, sillä Cas-proteiini kiinnittyy siihen kohtaan. Cas9:n konformaatio muuttuu gRNA:han sitoutumisen myötä inaktiivisesta aktiiviseksi, DNA:han sitoutuvaksi konformaatioksi. Negatiivisesti varautunut skaffoldi kiinnittää Opas-RNA:n (gRNA) Cas9-proteiinin pinnalla oleviin positiivisesti varautuneisiin uriin. Opas-RNA jäädä vapaaksi, mikä mahdollistaa emäspariutumiseen perustuvan vuorovaikutuksen DNA:n kanssa. [3, s. 235.]

Kohteeseen sitoutumisen jälkeen Cas9-gRNA kompleksi aukaisee kaksijuosteisen DNA:n. Opas-RNA on homologisesti vastaava genomista löytyvän koteen kanssa, ja aukeaminen tapahtuu 3'-5'-suunnassa. Tämän jälkeen Cas9-proteiini katkaisee nukleaasidomainien (RuvC:n ja HNH:n) avulla kaksijuosteisen DNA:n ja lopputuloksena syntyy kaksoisjuosteen katkos eli DSB (double-strand break).

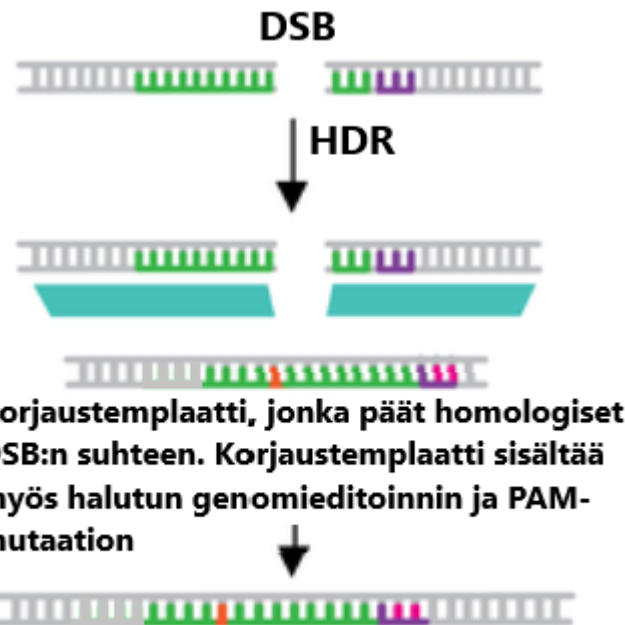
Tämän jälkeen solun DNA:n korjausmekanismit korjaavat muodostuneen katoksen. Tähän on kaksi vaihtoehtoista polku. Ensimmäinen polku on ei-homologinen päiden yhdistyminen eli NHEJ (non-homologous end joining). NHEJ-polku on nähtävissä kuvassa 3.



Kuva 3 Ei-homologinen päiden yhdistyminen (non-homologous end joining, NHEJ). [4, muokattu.]

NHEJ on aktiivinen solusyklin vaiheesta riippumatta, ja se korjaaa DNA:n nopeasti, mutta ei virheettömästi (kuva 3). Ihmisen DNA:n korjaamiseen osallistuvat Ku70-Ku80-heterodimeerit proteiinikompleksit sitoutuvat kaksoisjuosteen katkosten pähin ja ne ovat edellytys polymeraasi-, ligaasi- ja nukleaasientsyyymien sitoutumiskyvälle. NHEJ:n seurauksena edellä mainitut entsyymit saattavat muodostaa esimerkiksi ennenaikeisen lopetuskodonin, kun kohde-DNA:han syntyy nukleotidien deleetioita, lisäyksiä sekä näiden yhdistelmänä frameshift-mutaatioita (insertio ja deleetio → frameshift-mutaatio). [2, s. 235.] Kuvassa 4 näkyvissä deleetio (vrt. vilityypin ja deleetion DNA-juosteen pituutta), lisäys vaaleanpunaisella ja näiden yhdistelmä frameshift-mutaatio oranssilla. NHEJ:n kautta kaksoisjuoste voi myös korjautua alkuperäiseen sekvenssiformaattiinsa (vilityyppi, geenin ei mutatoitunut muoto). Geenien toiminnan poistoon tähtäävissä sovelluksissa on tarkoituksesta luoda DSB siten, että muutos johtaa proteiinin tuoton estymiseen.

Toinen tapa korjata kaksoisjuosteen katkokset on homologiaa hyödyntävä päiden yhdistyminen eli HDR (homology-directed repair), joka on aktiivinen vain jakautuvissa soluissa. Kyseisessä polussa DSB korjataan korjaustemplaatin avulla. Luovuttaja-DNA (donor DNA) tulee viedä kohdesoluun samanaikaisesti Cas9-gRNA-kompleksin kanssa ja sen sekvenssin tulee olla homologinen kohdesekvenssin kanssa 5'-3'-päiden suhteeseen. [5, s. 2.] HDR-polku nähtävissä kuvassa 4.



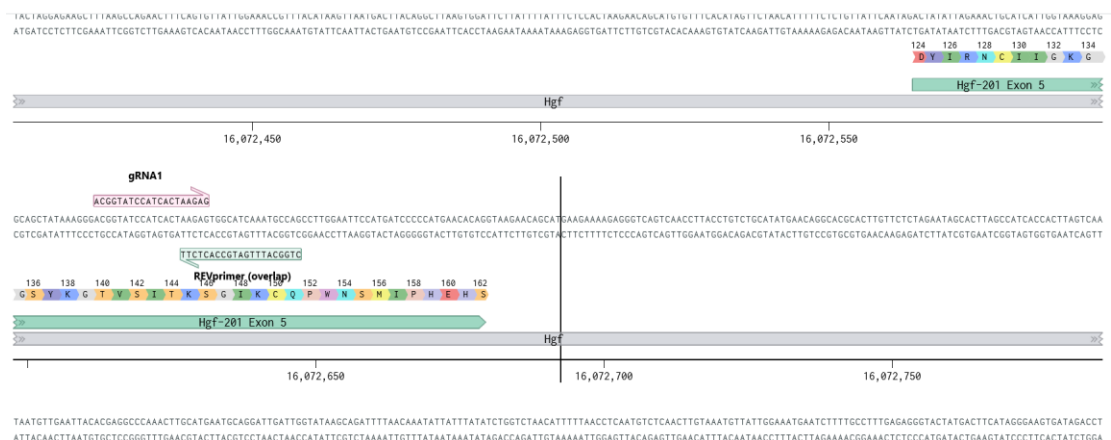
Kuva 4 Homologiasuunnattu päiden yhdistyminen eli HDR (homology-directed repair). [4, muokattu.]

Korjaustemplaatti pitää sisällään sekä halutun genomieditoinnin että PAM-mutaation, jonka tarkoituksesta on estää genomieditoinnin jälkeen CRISPR-Cas9-kompleksin uudelleen sitoutuminen ja DSB:n muotoutuminen. HDR-polku kilpaillee korjausmekanismina NHEJ:n kanssa. HDR-polun tehokkuutta pystytään parantamaan esimerkiksi inhiboimalla supressoriproteiini p53 (53BP1) toimintaa, joka rajoittaa HDR-korjausmekanismia. [6, s. 108–109.]

### 3 gRNA- ja PCR-alukkeiden (Primer) suunnittelu

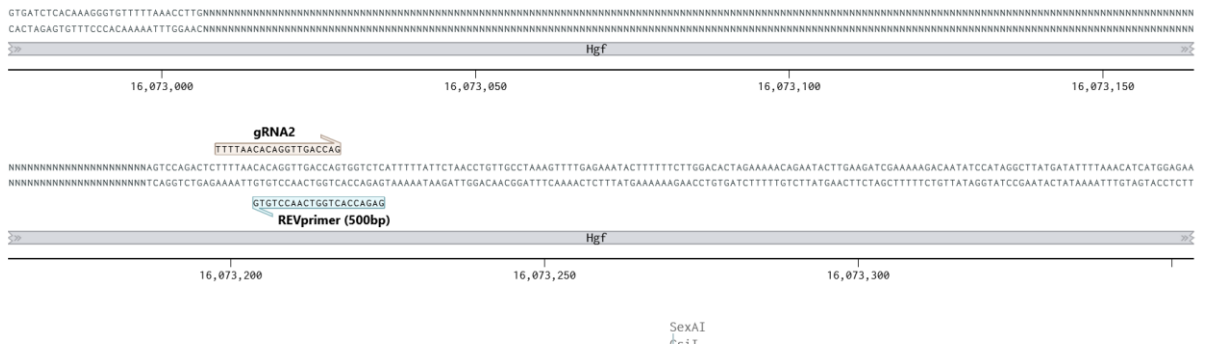
Työ aloitettiin suunnittelemalla gRNA:t valikoiduille ihmisen (STK11, STING1 ja ULK1) ja hiiren (Ezh2, Il11, Met, Hgf, Axl ja Nrg1) geeneille. Geenit valikoituvat GBU:n kanssa yhteistyössä toimivan Makelab-tutkimusryhmän tutkijoiden tutkimuskohteiden mukaisesti. Ensimmäiseksi pyrittiin löytämään jokaisesta geenistä sellainen eksoni, johon toteutettu DSB CRISPR/Cas9-menetelmällä saisi aikaan geenin inaktivaation. Esimerkkinä käydään läpi Hgf-geenin suunnitteluprosessi. Hgf-geenille (*Mus musculus*) suunniteltiin gRNA1 eksoniin 5 (kodonit 140–146),

koska geenin toiminnalle tärkeä kohta Kringle 1 (kodonit 129–207) sijaitsee tällä alueella [7]. Kringle-alue (1–4) toimii kompetitiivisena vastavaikuttajana (spesifinen inhibiittori) Hgf:lle sekä inhibiitorina angiogeneesille (verisuonten uudismuodostus) [8, s. 846]. Geenien gRNA:t suunniteltiin Benchling-ohjelmistolla, joka myös ennustaa, millä tarkkuudella gRNA ohjaa leikkauksen oikeaan kohtaan genomissa (ON/OFF-targeting). Benchling-ohjelmisto muodostaa myös off-target-listan, joka kertoo, mihin ei-toivottuihin kohtiin genomissa luotu gRNA todennäköisimmin sitoutuu, ja näin luo DSB:n väärään geeniin. Geenien off-target-listat on esitetty liitteessä 1. Valitusta eksonista valittiin korkeimmat pisteet omaava gRNA, joka nimettiin gRNA1:ksi. Valmis gRNA1:n kohta on näkyvissä kuvassa 5.



Kuva 5 Vasemmalla ylhällä (magenta) Hgf-geenin gRNA1. Kuvassa on näkyvissä myös gRNA1:n kanssa limittivä taka-aluke (reverse primer, overlap) PCR-ajoa sekä sekvensointia varten (vihreä).

Geeneille suunniteltiin gRNA2 noin 500 emäsparin päähän gRNA1:stä. Suunnitelma pohjasi siihen, että kun gRNA1 ja gRNA2 siirretään samaan soluun, saadaan aikaiseksi 500 emäsparin pituinen deleetio. Esimerkiksi Hgf-geenille se luotiin 567 emäsparin päähän viidennenä eksonissa sijaitsevaan gRNA1:een nähden. Tämä kohta sijaitsi intronissa, ja se valikoitui korkeimpien saatavilla olevien on/off-kohdeprosenttien perusteella. gRNA2-kohdan valintaan vaikutti aina myös Benchling-ohjelmistossa näkyvissä oleva geenin sekvenssi. Koko geenin sekvenssiä (intronia) ei kaikkien geenien kohdalla ollut saatavissa, mikä osaltaan rajoitti gRNA2:sen sekä PCR- ja sekvensointialukkeiden (polymeraasiketjureaktio) suunnittelua. Kuvassa 6 on esitetty Hgf-geenille suunniteltu gRNA2.



Kuva 6 Kuvassa on ylhäällä Hgf-geenille suunniteltu gRNA2 ja alhaalla taka-aluke (reverse primer 500bp).

Monelle geenille suunniteltiin useampi gRNA1 ja gRNA2. Suunnitelmissa valittiin sellainen gRNA1- ja gRNA2-pari, joka toteuttaa halutun lopputuloksen todennäköisimmin. gRNA-sekvensseihin suunniteltiin Benchling-ohjelman avulla 5'- ja 3'-sekvenssit, joilla gRNA:t ligatoidaan yhteen *BsmBI*-entsyymillä pilkotun plasmidin kanssa. Kaikkien geenien gRNA1/gRNA2-suunnitelmat näkyvissä taulukossa 1. Valmiit gRNA:ita vastaavat DNA-oligonukleotidit tilattiin (Custom DNA oligos, Sigma-Aldrich).

Taulukko 1 Geeneille suunnitellut gRNA1, gRNA2 sekä niiden sijainti, on/off-kohdetarkkuus ja valitun sijainnin selite.

Geeni	gRNA1 on/off-kohde- tarkkuus (%)	gRNA2 on/off-kohde- tarkkuus (%)	gRNA1 ja gRNA2 välinen ero (emäspareina)	Sijainti	Selite
<b>STK11</b> <i>(Homo sa- piens)</i>	65,8/89,6	71,2/91,4	550	gRNA1 eksoni 5 (kodonit 222–228) ja gRNA2 eksoni 6	Proteiinikinaasi domeeni (kodonit 49–309). [9].
<b>ULK1</b> <i>(Homo sa- piens)</i>	67,3/86,4	70,3/87,8	575	gRNA1 eksoni 1 (kodonit 24–30) ja gRNA2 eksoni 2	Proteiinikinaasi domeeni (kodonit 16–278). [10].
<b>STING1</b> <i>(Homo sa- piens)</i>	73,8/44,5	69/80,9	512	gRNA1 eksoni 5 (kodonit 162–168) ja gRNA2 eksoni 4 (kodonit 77–78)	sidoskohta (kodonit 162 ja 167). [11].
<b>Ezh2</b> ( <i>Mus musculus</i> )	61/55,4	57,9/69,3	591	gRNA1 eksoni 3 (kodonit 53–59) ja gRNA2 introni	interaktio EED:n kanssa (kodonit 39–68). [12].
<b>Il11</b> ( <i>Mus musculus</i> )	64,3/86	74,4/83,7	447	gRNA1 eksoni 2 (kodonit 16–22) ja gRNA2 eksoni 4 (kodonit 106–112)	ik-kalainen C2-tyyppi (kodonit 27–110) ja fibronektiini tyyppi-III (kodonit 112–219). [13].
<b>Hgf</b> ( <i>Mus musculus</i> )	71,7/80,4	71,4/74,9	567	gRNA1 eksoni 5 (kodonit 140–146) ja gRNA2 introni	Kringle1 (kodonit 129–207). [7].
<b>Met</b> ( <i>Mus musculus</i> )	50,4/82,3	59,1/77,5	602	gRNA1 eksoni 18 (kodonit 1155–1162) ja gRNA2 introni	Proteiinikinaasi (kodonit 1076–1343). [14].
<b>Axl</b> ( <i>Mus musculus</i> )	67,8/76,1	50,2/81,7	506	gRNA1 eksoni 17 (kodonit 646–652) ja gRNA2 introni	Proteiinikinaasi (kodonit (530–801). [15].
<b>Nrg1</b> ( <i>Mus musculus</i> )	71,1/61,6	68,7/67,6	423	gRNA1 eksoni 2 (kodonit 231–238) ja gRNA2 introni	EGF-tyyppinen domeeni (kodonit 233–277). [16].

Lisäksi gRNA1:n ympärille suunniteltiin alukkeet PCR-monistusta sekä sekvensointia varten. Esimerkiksi limittivä taka-aluke Hgf-geenille on esitetty kuvassa 5 ja 500 emäsparin päähän suunniteltu taka-aluke on esitetty kuvassa 6. PCR-ajon ja sopivien alukkeiden avulla on mahdollista monistaa mutatoidusta geenistä sekvenssi halutusta kohtaa. Sekvenssoinnin avulla taas puolestaan pystytään selvitämään, onko geenille haluttu mutaatio onnistunut vertaamalla sitä esimerkiksi vilityyppiin (geenin alkuperäinen, ei mutatoitunut muoto).

Alukkeet suunniteltiin aina pareittain, etu- ja taka-aluke (forward ja reverse primer). Ensimmäiseksi suunniteltiin etualuke noin 500 emäsparia (base pair = bp) ennen gRNA1:stä ja taka-aluke 500 emäsparia gRNA1:n jälkeen. Seuraavaksi suunniteltiin vastaavasta etu- ja taka-aluke 150 emäsparin päähän gRNA1:stä. Viimeiseksi suunniteltiin vielä kolmas taka-aluke (overlap, OL), joka sijaitsee limittäin viiden gRNA1:n kohde-emäksen kanssa. OL-alukkeen avulla on mahdollista saada reaalialkaista informaatiota genomieditoinnin onnistumisesta. Aluke ei kiinnity, jos mutaatio gRNA1:n kohdalla on tapahtunut (ks. kuva 5 ja kuva 7). Alukkeet suunniteltiin Benchling-ohjelmistolla noudattaen seuraavaa ohjeistusta

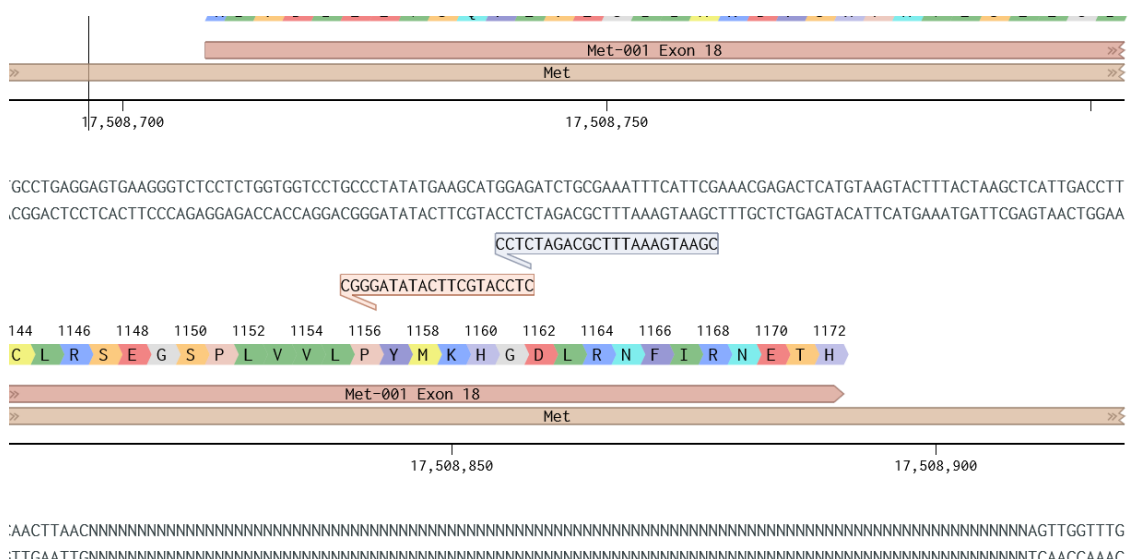
- sulamislämpötila 55–65 °C
- GC-osuus 45–55 %
- G/C-emäs alukkeen alku- ja loppupäähän
- etu- ja taka-alukkeen sulamislämpötilaero 1 °C
- taka-aluke (OL=overlap) limittyy viisi emästä gRNA1:n kanssa
- alukkeen pituus 18–24 emästä. [17, s. 147–148.]

Ohjeistuksen toteutumista rajoitti sekvenssistä löytyvät korkeat GC/AT-pitoisuudet ja sekvenssin puuttuminen kokonaan geenin intronista Benchling-ohjelmistosta (kuva 6). Tällöin pyrittiin siihen, että parina käytettävän etu- ja taka-alukkeen (FWDprimer ja REVprimer) sulamislämpötilat ( $T_m$ ) ovat mahdollisimman lähellä toisiaan. Edellä mainituista syistä johtuen etenkin alukkeen sijaintia halutusta (500/150 bp) jouduttiin usein muokkaamaan. Kaikkien alukkeiden kohdalla ei ollut myöskään mahdollista toteuttaa edellä mainittua ohjeistusta. Hgf- ja Met-geenien alukkeet ovat näkyvissä taulukossa 2. Kaikkien geenien alukkeet ovat näkyvissä liitteessä 2.

Taulukko 2 Hgf- ja Met-geeneille suunnitellut etu- ja taka-alukkeiden sulamislämpötila (Tm), GC-prosentti, pituus, etäisyys gRNA1:stä ja sekvenssi

Aluke	Tm (°C)	GC-%	Pituus	Etäisyys gRNA1:stä	Sekvenssi
Hgf, FWDprimer (150 bp)	55,1	45,83	24	178	CTAGGAGAAGCTTAAGCCAGAAC
Hgf, REVprimer (150 bp)	56,4	57,89	19	171	CATGCAAGTTGGGCCTCG
Hgf, FWDprimer (500 bp)	55,94	47,83	23	330	CAATCAAGTCACCATGGCTTACC
Hgf, REVprimer (500 bp)	56,83	57,14	23	573	GAGACCACTGGTCAACCTGTG
Hgf, REVprimer (OL)	55,44	47,62	21		CTGGCATTGATGCCACTCTT
Met, FWDprimer (150 bp)	56,06	55	20	217	GGTGTCACCTGCTGGTTTG
Met, REVprimer (150 bp)	56,85	52,38	21	169	CAAGAGGGCAAGCAAACCAAC
Met, FWDprimer (500 bp)	55,72	54,55	22	443	CTTCTCCCACCCCCACATATAC
Met, REVprimer (500 bp)	56,93	52,38	21	557	GCTTTTTATGAGAGCCGCACG
Met, REVprimer (OL)	54,64	43,48	23	overlap 4 emästä	CGAATGAAATTTCGCAGATCTCC

Taulukosta 2 nähdään, että esimerkiksi Hgf-etualuke, joka oli tarkoitus suunnitella 500 emäsparin päähän gRNA1:stä jouduttiin suunnittelemaan 330 emäsparin päähän. Tämä johti siitä, että sopivaa kohtaa ei löytynyt geenin sekvenssistä muualta. Hgf taka-alukkeet (Hgf REVprimer 150 ja 500 bp) ylittivät ihanteellisen GC-osuuden (%). Yhdessä käytettävien etu- ja taka-alukkeiden (FWD- ja REVprimer) sulamislämpötilojen suhteen onnistuttiin pääsemään yhden lämpöasteen sisälle. Met-geenille suunnitellun taka-alukkeen (Met, REVprimer OL), joka limittyi gRNA1:n kanssa, ei pystytty käyttämään ohjeistuksen mukaista viiden emäksen limitymistä (kuva 7).



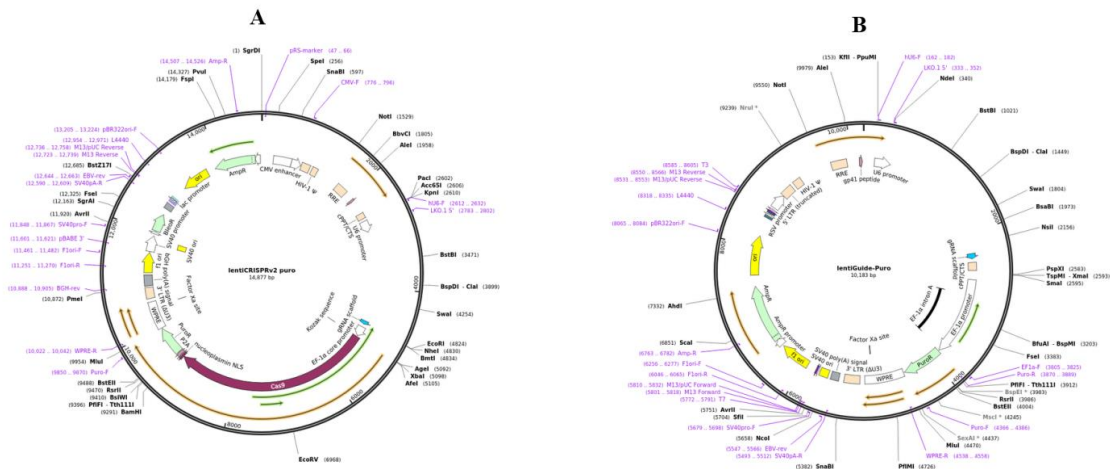
Kuva 7 Met-geenille suunniteltu gRNA1 vaaleanruskealla ja limittyvä taka-aluke (OL=overlap) sinisellä.

Kuvasta 7 nähdään, että jos limittyvä taka-aluke olisi suunniteltu ohjeistuksen mukaisesti, niin se olisi päättynyt adeniiiniin (3'-pää). Tämä ei takaisi alukkeelle yhtä kestävää rakennetta, sillä adeniiinin ja tymiinin välillä on kaksi vety sidosta, kun taas guaniinin ja sytosiinin välillä sidoksia on kolme. Suunnitelmienvaiheesta GBU:lle luotiin uusi protokolla gRNA-suunnittelua varten (liite 3).

## 4 Lentivirusvektoreiden valmistus ja tuotto

### 4.1 Plasmidit

Plasmidivektoreina työssä käytettiin lentiCRISPRv2 Puro - ja lentiGuide Puro - lentivirusvektoreita. Vektoreita käytettiin konstruktien valmistuksessa. molemmissa vektoreissa on selektiivisenä markkerina puromysiini, ja molemmat tuottavat transformoidulle solulle ampisilliiniresistenssin. Suurin ero plasmidien välillä on se, että toisessa on Cas9-proteiini valmiina (lentiCRISPRv2 Puro) ja toisessa ei (lentiGuide Puro). Vektorit ovat nähtävissä kuvassa 8.



Kuva 8 Lentivirusvektoretieto. A: lentiCRISPRv2 Puro ja B: lentiGuide Puro. [18, 19.]

Kuvassa 8 näkyvä lentiGuide Puro -lentivirusvektoria käytettäessä on Cas9-proteiini vietävä infektoitavaan soluun esimerkiksi toisella vektorilla. [18, 19.] Kaikki gRNA:ta vastaavat oligot kloonattiin lentiCRISPRv2 Puro -lentivirusvektoriin. STK11-geenin gRNA:ta vastaavat oligot kloonattiin myös lentiGuide Puro -lentivirusvektoriin.

## 4.2 Lentivirusvektoreiden valmistus, tuotto Stbl3-soluissa, eristys ja analysointi

Konstruktien valmistamiseen käytettiin GBU:n työohjetta, joka oli muokattu Target guide sequence -protokollasta [18]. Lentivirusvektori defosforyloitiin ja digestioitiin *BsmB1*-restriktioentsyymissä (Esp31). Digestio- ja defosforylaatioreaktioon pipetoidut reagenssit nähtävissä taulukossa 3.

Taulukko 3 Digestio- ja defosforylaatioreaktioon pipetoidut komponentit

Komponentti	Reaktiotilavuus
<b>lentiCRISPRv2 (c=1530 ng/μl)</b>	5 μg (3,3 μl)
<b>Fast Digest <i>BsmB1</i> (Fermentas, Esp31)</b>	3 μl
<b>Fast AP (Fermentas)</b>	3 μl
<b>10 X FastDigest Buffer</b>	6 μl
<b>100 mM DTT (Ditiotreitol, tuore)</b>	0,6 μl
<b>ddH<sub>2</sub>O</b>	44,1 μl
<b>Kokonaistilavuus</b>	60 μl

Digestio- ja defosforylaatioreaktio toteutettiin PCR-laitteella. Ajo-ohjelma kesti 30 minuuttia ja lämpötila oli koko ohjelman ajan vakio 37 °C. Digestoitu plasmidi geelipuhdistettiin (ajo-ohjelma: 0,7 % AGE, 100 v ja 1 h) käyttäen DNA extraction

from agarose gels -protokollaa [20, s. 19]. Näytteen nukleotidikonsentraatio mitattiin NanoDrop-spektrofotometrillä. Konsentraatioksi saatiin 48,2 ng/μl.

Geeneille suunnitellut gRNA1 ja gRNA2 (etu- ja taka-aluke) fosforyloititiin ja liitetiin yhteen. Reaktioon pipetoidut komponentit esitetty taulukossa 4.

Taulukko 4 Alukkeiden ligaatio- ja fosforylaatioreaktioon pipetoidut komponentit

Komponentti	Reaktiotilavuus
Oligo (etualuke, 100 μM)	1 μl (10 μM)
Oligo (taka-aluke, 100 μM)	1 μl (10 μM)
10 X T4 Ligation Buffer (NEB = New England Biolabs)	1 μl
ddH <sub>2</sub> O	6,5 μl
T4 PNK (polynukleotidikinaasi, NEB M0201S)	5 U (0,5 μl)
Kokonaistilavuus	10 μl

Alukkeiden ligaatio- ja fosforylaatioreaktio tehtiin PCR-laitteella (ajo-ohjelma: 30 min 37 °C:ssa, 5 min 95 °C:ssa ja lämpötilan laskeminen 25 °C:seen nopeudella 5 °C/min). Alukeseos laimennettiin suhteessa 1:200. Ligaatioreaktio käynnistettiin, jossa gRNA:t liitettiin lentiCRISPRv2-lentivirusvektoriin. Reaktioon pipetoidut komponentit esitetty taulukossa 5.

Taulukko 5 Ligaatioreaktioon pipetoidut komponentit

Komponentti	Reaktiotilavuus
<b>BsmBI-restriktioentsyymillä pilkottu lentivirusvektori (c=48,2 ng/μl)</b>	50 ng (1 μl)
<b>1:200 suhteessa laimennettu alukeseos</b>	1 μl
<b>2 X Quick Ligase Buffer (NEB)</b>	5 μl
<b>ddH2O</b>	3 μl
<b>välitolavuus</b>	10 μl
<b>Quick Ligase (NEB M2200S)</b>	1 μl
<b>Kokonaistilavuus</b>	11 μl

Reagenssien pipetoimisen jälkeen ligaatioreaktiota inkuboitiin huoneenlämmössä 10 minuutin ajan. Valmiit lentivirusvektorit transformoitiin kompetentteihin kaupallisiin *Escherichia coli*-soluihin (Stbl3, Thermo Fisher). Ligaatiotuotetta lisättiin 2 µl 20 µl:n Stbl3-kompetenttisoluihin (*E.coli*). Positiiviseen kontrolliin käytettiin pUC19-plasmidia (1 µg, NEB N3041S) ja pelkkää Stbl3-solua negatiivisena kontrollina. Näytteitä inkuboitiin jäillä 30 minuuttia. Tämän jälkeen tuotettiin vesihauteessa lämpösokki (42 °C ja 40 sekuntia), jonka jälkeen näytteet siirrettiin väliittömästi jäähautteeseen. Viimeiseksi lisättiin S.O.C mediaa (2 % tryptoni, 0,5 % hiivauute, 10 mM NaCl, 2,5 mM KCl, 10 mM MgCl<sub>2</sub>, 10 mM MgSO<sub>4</sub> ja 20 mM glukoosi). Transformaatiovaiheeseen käytettiin sekä kaupallisia että ei-kaupallisia *E. coli*-soluja. Transformoidut solut maljattiin LB+ampisilliini (Luria-Bertani, 100 µg/ml) maljoille ja niitä inkuboitiin 16 tuntia 37 °C:ssa.

Maljalta inokuloitiin kaksi pesäkettä LB+ampisilliini (100 µg/ml)-liemeen (5 ml) steriilillä siirrostustikulla omiin kasvatusputkiin. Kasvatuksia ravisteltiin 37 °C:ssa 280 rpm:n pyörimisnopeudella 16 tuntia. Inkuboinnin jälkeen valmistettiin glyserolistokit pipetoimalla 400 µl glyserolia ja 600 µl näytettä kryoputkeen. Näytteet asetettiin säilytykseen -80 °C:seen. Plasmidit eristettiin käyttäen muokattua (sentrifugauksen rpm:t ja ajanjakso sekä eluentti) Isolation of transfection-grade plasmid DNA in low throughput (REF 740490)-protokollaa [21, s.17]. Protokollassa bakteerisolut pellettoitiin sentrifugoimalla mikrosentrifugilla (1 min ja 17000 x g), jonka jälkeen pelletti lyysattiin. Lyysauksen jälkeen lysaatti kirkastettiin sentrifugoimailla (10 min ja 17000 x g) ja supernatantti ladattiin plasmidin sitovaan kolumniin. Kolumnista eristettiin lopulta plasmidi MilliQ®-vedellä. Tämän jälkeen miniprep-näytteistä mitattiin konsentraatio NanoDropilla. lentiCRISPRv2 gRNA1- ja gRNA2-plasmideista tehtyjen minipreppien konsentraatiot Hgf- sekä Met-geenneille ovat näkyvissä taulukossa 6. Kaikkien näytteiden konsentraatiot ovat näkyvissä liitteessä 4.

Taulukko 6 NanoDropilla mitatut plasmidikonsentraatiot lentiCRISPRv2 gRNA1 (2 eristystä) ja gRNA2 (2 eristystä) Hgf- ja Met-geeneille.

Näyte	C (ng/μl)
lentiCRISPRv2 gRNA1, Hgf (1)	625,9
lentiCRISPRv2 gRNA1, Hgf (2)	587,4
lentiCRISPRv2 gRNA2, Hgf (1)	621,8
lentiCRISPRv2 gRNA2, Hgf (2)	620,3
lentiCRISPRv2 gRNA1, Met (1)	581,8
lentiCRISPRv2 gRNA1, Met (2)	324,2
lentiCRISPRv2 gRNA2, Met (1)	642,2
lentiCRISPRv2 gRNA2, Met (2)	642,1

Taulukosta 6 nähdään, että jokaisesta näytteestä inokuloitiin kaksi pesäkettä (näytteet 1 ja 2). Konsentraatiomittauksen jälkeen näytteet valmisteltiin sekvensointiin. Näytteet sekvensoitiin FIMM:n sekvensointiyksikön toimesta.

Sekvensoinnilla varmistettiin gRNA:n ligoituminen vektoriin suunnitellusti. Sekvenointitulokset tarkistettiin käyttäen Clustal Omega -sivuston Multiple Sequence Alignment -työkalua. Työkaluun syötettiin sekvenointialukkeen (LKO primer) sekvenssi, lentiCRISPRv2-plasmidin sekvenssi, näytteen sekvenssi (esimerkiksi lentiCRISPRv2 gRNA1, Hgf) sekä gRNA:n (assembly) sekvenssi. Tämän jälkeen tarkistettiin, linjautuvatko sekvenssit keskenään suunnitelmien mukaisesti. Kuvassa 9 näkyvissä lentiCRISPRv2 gRNA1, Hgf (1) näytteen sekvenointitulokset, jotka linjautuivat odotetulla tavalla.

lentiCRISPRv2	TTTAAATTATGTTTAAATGGACTATCATATGCTTACCGTAAGTGAAAGTATTGCA	2820
LKO	-----GACTATCATATGCTTACCGT-----	20
lentiCRISPRv2+gRNA	-----	0
gRNA1	-----	0
lentiCRISPRv2	AACTGCGCTAAAAATAATTTTAAATCTTTAGCTTCTGCTCTTTGTACGTC	4740
LKO	YYTTGGCTTTATATATCTTGT---GGAGGGACGAAACCCGACGGTATCCATCACTAAGA	20
lentiCRISPRv2+gRNA	CACCGACGGTATCCATCACTAAGA	67
gRNA1	-----	24
lentiCRISPRv2	TGTTTAGAGCTAGAAAATAGCAAGTTAAAATAAGGCTAGTCGTTATCAACTGAAAAG	4800
LKO	GGTTTTASAGCTAGAAATAGCAAGTTAAAATAAGGCTAGTCGTTATCAACTGAAAAG	20
lentiCRISPRv2+gRNA	G-----	127
gRNA1	-----	25
lentiCRISPRv2	TGGCACCGAGTCGGTCTTTTGAAATCGCTAGCTAGGTCTTGAAGGAGTGGGAATTG	4860
LKO	TGGCACCGAGTCGGTCTTTTGAAATCGCTAGCTAGGTCTTGAAGGAGTGGGAATTG	20
lentiCRISPRv2+gRNA	-----	187
gRNA1	-----	25
lentiCRISPRv2	GCTCCGGTGCCCGTCAGTGGCAGAGCGCACATGCCAACAGTCCCCGAGAAGTTGGGG	4920
LKO	-----	20
lentiCRISPRv2+gRNA	GCTCCGGTGCCCGTCAGTGGCAGAGCGCACATGCCAACAGTCCCCGAGAAGTTGGGG	247
gRNA1	-----	25

Kuva 9 LentiCRISPRv2 gRNA1, Hgf (1) näytteen sekvenointitulokset Clustal Omega -sivuston Multiple sequence alignment -työkalussa

Kuvasta 9 nähdään, että ensin lentiCRISPRv2 Puro -plasmidin kanssa linjautuu LKO-sekvenointialuke. Tämän jälkeen linjautuu myös lentiCRISPRv2 gRNA1, Hgf (1) sekvenssi ja lopuksi nähdään, että myös gRNA1 linjautuu täydellisesti edellä mainitun sekvenssin kanssa. Kaikki sekvenointitulokset käytiin vastavalla tavalla läpi. Saatujen sekvenointitulosten perusteella odotetulla tavalla linjautuneet miniprep- ja glyserol stock -näytteet säilytettiin ja linjautumattomat (Ezh2, gRNA2) hävitettiin. Sekvenointitulokset linjautumisen suhteen näkyvissä liitteessä 4 ja näytteiden kaikki sekvenssit liitteessä 5. Lentivirusvektoreiden

valmistuksesta tehtiin kuluihin ja työtunteihin pohjaavat laskelmat, jotka tulevat määrittelemään GBU:n uuden palvelun hinnan (liite 6).

## 5 PCR-alukkeiden testaus

PCR-alukkeiden testaamisella selvitettiin alukkeiden toimivuutta. Tarkoituksena oli saada etu- ja taka-alukkeella monistettua aina tietyn kokoinen sekvenssi siitä kohdasta kohteen genomista, johon genomieditointi CRISPR-Cas9-menetelmää tullaan käyttämään. Esimerkiksi 500 emäsparin (bp) päähän gRNA1:stä suunniteltujen etu- ja taka-alukkeiden (FWD ja REV primer) avulla pyrittiin monistamaan 1000 emäsparin pituinen sekvenssi. Etu- ja taka-aluke, jotka oli suunniteltu 150 bp:n päähän gRNA1:stä, pyrittiin monistamaan 300 emäsparin pituinen sekvenssin gRNA1:n ympäriltä. Kyseiset sekvenssit sekvensoimalla on mahdollista päästää selville siitä, onko genomieditointi onnistunut vai ei. Testauksen yhtenä pyrkimyksenä oli tuoda esille, kumpi edellä mainituista alukepareista toimii paremmin.

Viimeiseksi oli tarkoitus saada vielä eristettyä 150 emäsparin päähän suunnitelun etualukkeen ja gRNA1:n kanssa limittivän taka-alukkeen (REVoverlap) kanssa eristettyä 150 emäsparin pituinen sekvenssi. Tämä monistus ei luonnollisesti onnistu, jos genomieditointi gRNA1:n kohdalla on onnistunut. Kyseisen alukeparin toimiessa tästä saisi suoraan kvantitatiivista dataa kvantitatiivista PCR:ää (qPCR) hyödyttämällä genomieditoinnin onnistumisesta/epäonnistumisesta. Templaatti-DNA:na käytettiin valmiiksi eristettyä hiiren genomista DNA:ta.

PCR-alukkeita testattiin käyttäen DyNAzyme II Polymerase -protokollaa [22, s.1]. PCR-reaktioon pipetoidut komponentit näkyvät taulukossa 7. Protokollan

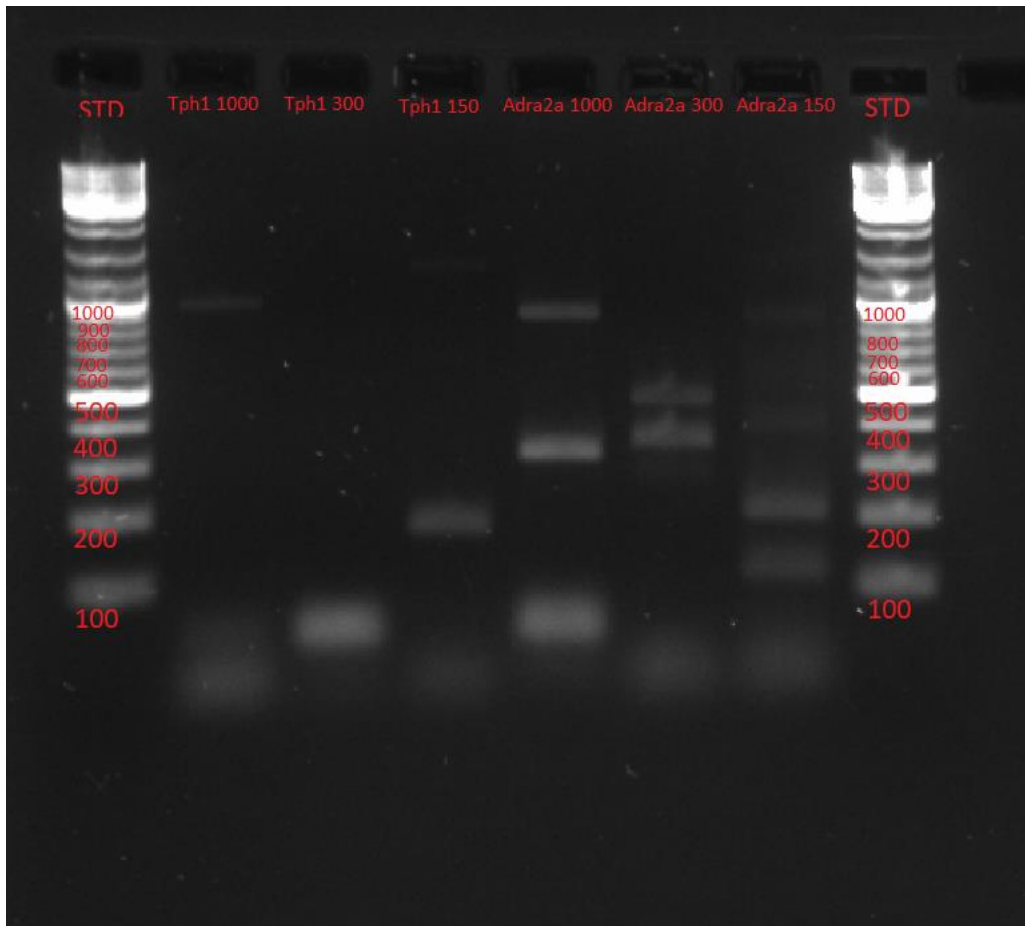
toimivuuden testaamiseksi käytettiin valmiiksi tehtyjä alukenäytteitä Tph1- ja Adra2-geeneille (*Mus musculus*).

Taulukko 7 PCR-reaktioon pipetoidut komponentit

Komponentti	Reaktiotila-vuus ( $\mu\text{l}$ )	Loppukonsentraatio
<b>ddH<sub>2</sub>O</b>	32	
<b>10X Optimize DyNAzyme buffer</b>	5	1X (1,5 mM MgCl <sub>2</sub> )
<b>10 mM dNTP (deoksinukleotidi) Mix</b>	1	200 $\mu\text{M}$
<b>Etualuke (FWD primer)</b>	5	5 $\mu\text{M}$
<b>Taka-aluke (REV primer)</b>	5	5 $\mu\text{M}$
<b>Templaatti-DNA</b>	1,5	99
<b>DyNAzyme II DNA Polymerase</b>	0,5	0,5 U/50 $\mu\text{l}$

PCR-ajon suorittamiseen käytettiin GBU:n työohjeen mukaista PCR-ajo-ohjelmaa: aluksi 2 min 94 °C:ssa, jonka jälkeen 30 sykliä: 30 s 94 °C:ssa, 30 s 50–51 °C:ssa ja 40 s 72 °C:ssa. Syklien jälkeen 10 min 72 °C:ssa ja jäähdytys 4 °C:seen.

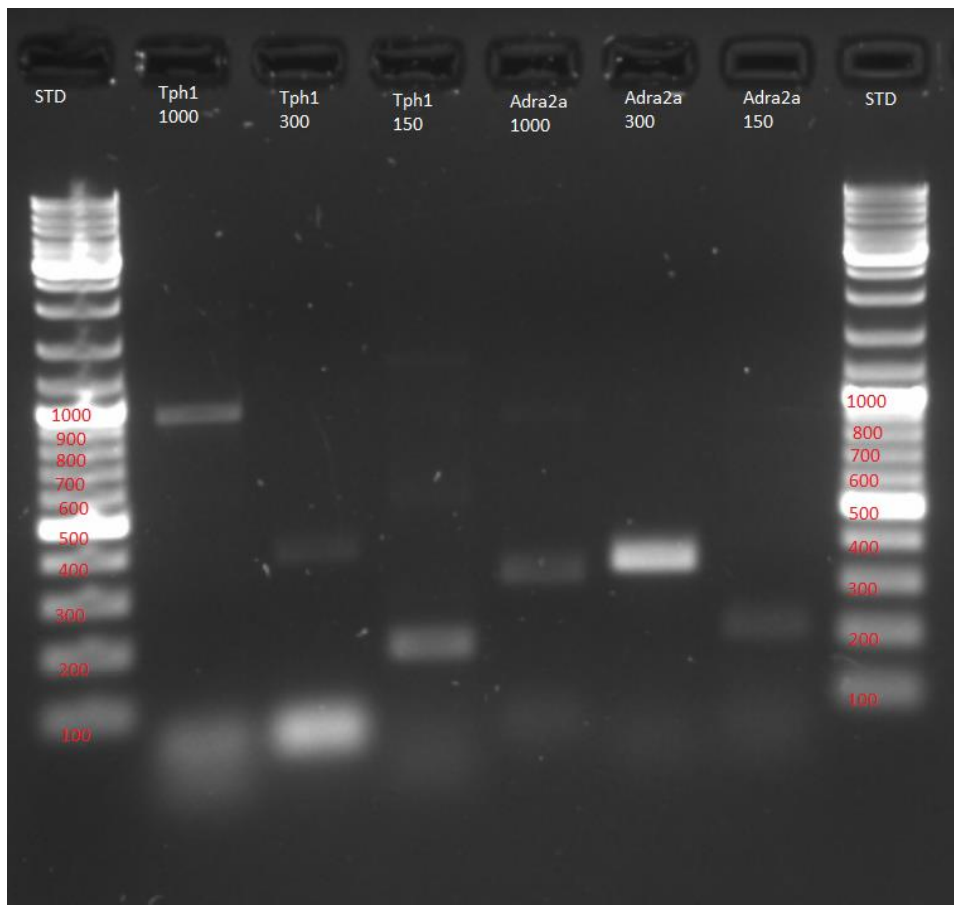
Annealing-lämpötilat ( $51\text{ }^{\circ}\text{C}$  Tph1-alukkeille ja  $50\text{ }^{\circ}\text{C}$  Adra2a-alukkeille) valittiin laskemalla lämpötilaa  $5\text{ }^{\circ}\text{C}$  alimmasta sulamislämpötilasta alukeparia kohden. Ensimmäisen ajon tulokset ovat nähtävissä kuvassa 10.



Kuva 10 Tph1- ja Adra2a-geenien PCR-alukkeiden (150, 500 ja OL-etu- ja taka-aluke) testaus.

Kuvasta 10 nähdään, että sekä Tph1- että Adra2a-geenin kohdalla on onnistuttu monistamaan 1000 emäsparin pituinen sekvenssi 500 emäsparin päähän gRNA:sta suunniteltujen etu- ja taka-alukkeen avulla. Tph1-geenin kohdalla myös 150 emäsparin pituinen sekvenssi näyttää olevan geelillä oikeassa kohdassa ja puolestaan Adra2a:n kohdalta löytyy oikeasta kohdasta 300 emäsparin pituisen sekvenssi. Geelikuvan nähdään kuitenkin myös sisältävän paljon PCR-

sivutuotteita, eli alukedimeerejä (primer dimer). Alukedimeereistä pyrittiin pääsemään eroon muuttamalla seuraavaan PCR-ajon annealing-lämpötiloja. Lämpötila toisessa PCR-ajossa oli kolme astetta alhaisempi kuin alin sulamislämpötila ( $T_m$ ) per alukeperi. Näin ollen Tph1-näytteille sekä Adra2a 1000 -näytteelle saatiani annealing-lämpötilaksi 53 °C ja Adra2a 300- sekä 150-näytteelle 52 °C.

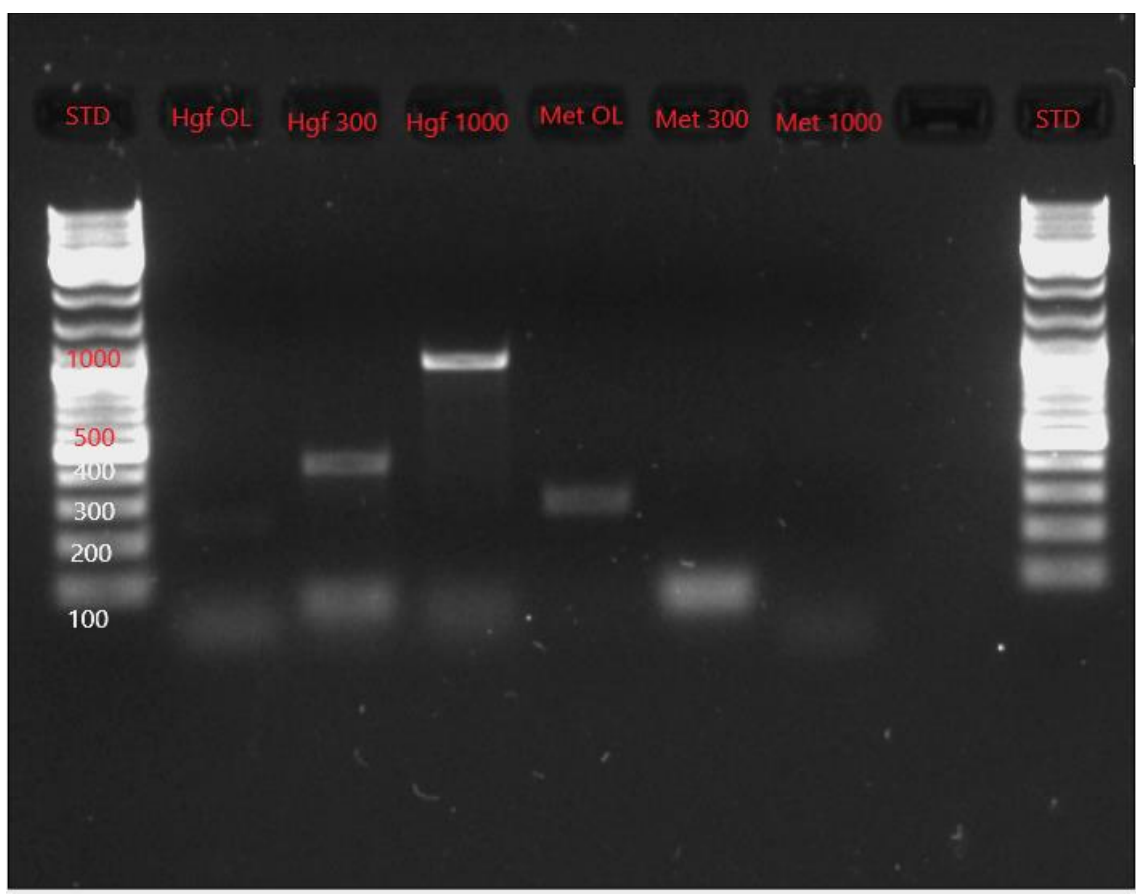


Kuva 11 Tph1- ja Adra2a-geenien PCR-alukkeiden toinen geeliajo. Annealing-lämpötila 53 °C kaikille Thph1-näytteille sekä Adra2a 1000-näytteelle ja 52 °C Adra2a 300 sekä 150-näytteelle.

Toinen PCR-ajo näyttää onnistuneen Tph1-näytteiden kohdalla paremmin kuin ensimmäinen (kuva 11). Bandit näyttävät olevan oikeissa kohdissa kaikkien näytteiden kohdalla. Adra2a-näytteistä vain 1000-bandit näyttää olevan väärässä kohdassa ja etenkin noin 300-bandit on hyvin vahva. Alukkeita ei ole suunniteltu täsmälleens esimerkiksi 500 tai 150 emäsparin päähän gRNA:sta (ks. kpl 3), joten ne eivät myöskään ole täysin oikeassa kohtaa edellä olevissa geelikuvissa. Bandeja

ei kuitenkaan tässä vaiheessa vielä eristetty ja sekvensoitu, joten täyttää varmuutta alukkeiden tai protokollan toimivuudesta ei vielä saatu.

Yksi PCR-ajo tehtiin vielä projektiin suunnitelluilla alukenäytteillä. Annealing-lämpötilaa 52 °C käytettiin Hgf(OL)-, Hgf(300)-, Met(300)- ja Met(1000)-alukepareille. Hgf(1000)- ja Met(150)-alukepareille käytettiin 53 °C annealing-lämpötilaa. Käytetty lämpötila oli kolme astetta alhaisempi kuin alin sulamislämpötila per alukepari. Kuvassa 12 on esitetty Hgf- ja Met-geenien alukenäytteiden PCR-ajon geelikuva.



Kuva 12 Geelijokuva Hgf- ja Met-geenien PCR-alukkeiden (150, 500, OL-etuja taka-aluke) testauksesta.

Kuvasta 12 nähdään, että Hgf-geenien PCR-alukkeet näyttävät toimivan odotettulla tavalla. 150 etualukkeella ja OL-taka-alukkeella on saatu monistettua noin 200 emäsparin pituinen bandi (etualuke suunniteltu 178 emäsparin päähän gRNA1:stä, liite 2). 150 etu- ja taka-alukkeella on puolestaan onnistuttu monistaan noin 400 emäsparin pituinen bandi (etualuke 178 ja taka-aluke 171 emäsparia gRNA1:stä, liite 2). Vahvin noin 1000 emäsparin pituinen sekvenssi saatiaan monistettua 500:n etu- ja taka-alukkeella. Bandit eivät ole täysin oikeassa kohdassa, mikä todennäköisesti johtuu siitä, että alukkeita ei ole suunniteltu täsmälleen esimerkiksi 150 tai 500 emäsparin etäisyydelle gRNA1:stä (liite 2).

Met-geenille suunnitellut alukkeet eivät toimineet ensimmäisessä ajossa odotusten mukaisesti. Ainoastaan OL-taka-alukkeen sekä 150 etualukkeen avulla eristetty bandi on oikeassa kohdassa geelikuvassa. Hgf- ja Met-alukkeet sisälsivät molemmat epäpuhtauksia, eli alukedimeerejä (primer dimer). Alukedimeerien vähentämiseen auttaa mahdollisesti annealing-lämpötilan säätäminen. Mitään edellä mainituista näytteistä ei eristetty geeliltä ja sekvensoitu ajanpuutteen vuoksi, joten täyttä varmuutta ei alukkeiden toimivuudesta saatu.

## 6 Yhteenveto

Opinnäytetyön tarkoituksesta oli edistää uuden CRISPR/Cas9-menetelmään pohjaavan palvelun viemistä GBU:n palveluportfolioon. Palvelun validointiprosessia ei päästy käytettävissä olevassa ajassa tekemään loppuun asti. Kaikille tutkimusryhmän intressissä oleville geeneille (STK11, STING1, ULK1, Ezh2, Met, Hgf, IL11, Axl ja Nrg1) saatiiin kuitenkin suunniteltua gRNA:t sekä tuotettua lentivirusvektorit (lentiCRISPRv2 Puro vektoriin). Ainoastaan Ezh2 gRNA2-konstrukt ei onnistunut (sekvensoinnin analysointitulokset, liite 8). Kaikille geeneille suunniteltiin myös etu- ja taka-alukkeet sekvensointia varten ja niitä vastaavat oligot tilattiin.

Tämän opinnäytetyön pohjalta luotiin GBU:lle uusi protokolla gRNA ja sekvensointialukkeiden suunnittelulle. Lentivirusvektoreiden tuotolle laskettiin myös kustannusarvio, joka tulee määrittämään tarjottavan palvelun hinnan. Protokollan luomisessa ja hinta-arvion laskennassa käytettiin GBU:n sisäistä ohjeistusta.

Projektiin seuraavassa vaiheessa tuotetaan lentivirusvektorin sisältäviä lentiviruk-sia ja niillä infektoidaan soluja (*Homo sapiens* ja *Mus musculus*). Tämän jälkeen suunnitelluilla etu- ja taka-alukkeella monistetaan infektoidun solun genomista mutatoinnin kohteena oleva kohta geenistä. Eristetystä kohdasta pystytään esimerkiksi sekvensoinnin avulla selvittämään, onko haluttu mutaatio ja geenin inaktivaatio saatu aikaiseksi esimerkiksi villityyppiin vertaamalla. Tätä kautta on myös mahdollista selvittää, millä todennäköisyydellä infektoidussa solussa tapahtuu haluttu mutaatio. Validointiprosessin loppuun saattamisen jälkeen GBU:lla on tarjottavana yksi palvelu lisää eri tutkimusryhmien käyttöön.

## Lähteet

- 1 Genome Biology Unit. Verkkaineisto. <<https://www2.helsinki.fi/en/researchgroups/genome-biology-unit>>. Luettu 24.2.2022
- 2 Haft, D. H., Selengut, J., Mogodin, E. F. & Nelson, K. E. 2005. A guild of 45 CRISPR-associated (Cas) protein families and multiple CRISPR/Cas subtypes exist in prokaryotic genomes. *PLoS computational biology*. 1 (6), e60–e60.
- 3 Hryhorowicz, M., Lipinski, D., Zeyland, J. & Slomski, R. 2016. CRISPR/Cas9 Immune System as a Tool for Genome Engineering. *Archivum Immunologiae et Therapiae Experimentalis*. 65 (3), 233–240
- 4 CRISPR Guide. Verkkaineisto. Addgene. <<https://www.addgene.org/guides/crispr/>>. Luettu 3.12.2021
- 5 Jayavaradhan, R., Pillis, D. M., Goodman, M., Zhang, F., Zhang, Y., Andreassen, P. R. & Malik, P. 2019. CRISPR-Cas9 fusion to dominant-negative 53BP1 enhances HDR and inhibits NHEJ specifically at Cas9 target sites. *Nature communications*. 10 (1), 2866–13.
- 6 Zimmermann, M. & de Lange, T. 2013. 53BP1: pro choice in DNA repair. *Trends in cell biology*. 24 (2), 108–117.
- 7 Hgf (Mus musculus). Verkkaineisto. UniProt. <[https://www.uniprot.org/uniprot/Q08048#family\\_and\\_domains](https://www.uniprot.org/uniprot/Q08048#family_and_domains)>. Luettu 20.12.2021
- 8 Kuba, K., Matsumoto, K., Ohnishi, K., Shiratsuchi, T., Tanaka, M. & Nakamura, T. 2000. Kringle 1–4 of Hepatocyte Growth Factor Inhibits Proliferation and Migration of Human Microvascular Endothelial Cells. *Biochemical and biophysical research communications*. 279 (3), 846–852.
- 9 STK11 (Homo sapiens). Verkkaineisto. UniProt. <[https://www.uniprot.org/uniprot/Q15831#family\\_and\\_domains](https://www.uniprot.org/uniprot/Q15831#family_and_domains)>. Luettu 26.1.2022
- 10 ULK1 (Homo sapiens). Verkkaineisto. UniProt. <[https://www.uniprot.org/uniprot/O75385#family\\_and\\_domains](https://www.uniprot.org/uniprot/O75385#family_and_domains)>. Luettu 26.1.2022
- 11 STING1 (Homo sapiens). Verkkaineisto. Uniprot. <<https://www.uniprot.org/uniprot/Q86WV6>>. Luettu 26.1.2022
- 12 Ezh2 (Mus musculus). Verkkaineisto. Uniprot. <[https://www.uniprot.org/uniprot/Q61188#family\\_and\\_domains](https://www.uniprot.org/uniprot/Q61188#family_and_domains)>. Luettu 26.1.2022

- 13 Il11 (Mus musculus). Verkkoaineisto. Uniprot. <[https://www.uniprot.org/uniprot/Q64385#family\\_and\\_domains](https://www.uniprot.org/uniprot/Q64385#family_and_domains)>. Luettu 26.1.2022
- 14 Met (Mus musculus). Verkkoaineisto. Uniprot. <[https://www.uniprot.org/uniprot/P16056#family\\_and\\_domains](https://www.uniprot.org/uniprot/P16056#family_and_domains)>. Luettu 26.1.2022
- 15 Axl (Mus musculus). Verkkoaineisto. Uniprot. <[https://www.uniprot.org/uniprot/Q00993#family\\_and\\_domains](https://www.uniprot.org/uniprot/Q00993#family_and_domains)>. Luettu 26.1.2022
- 16 Nrg1 (Mus musculus). Verkkoaineisto. Uniprot. <[https://www.uniprot.org/uniprot/Q6DR98#family\\_and\\_domains](https://www.uniprot.org/uniprot/Q6DR98#family_and_domains)>. Luettu 26.1.2022
- 17 Thornton, B. & Basu, C. 2011. Real-time PCR (qPCR) primer design using free online software. *Biochemistry and molecular biology education.* 39 (2), 145–154.
- 18 lentiCRISPRv2 puro. Verkkoaineisto. Addgene. <<https://www.addgene.org/98290/>>. Luettu 3.1.2022
- 19 lentiGuide-Puro. Verkkoaineisto. Addgene. <<https://www.addgene.org/52963/>>. Luettu 3.1.2022
- 20 MACHEREY-NAGEL. 2021. User manual. PCR clean-up and Gel extraction.
- 21 MACHEREY-NAGEL. 2021. User manual. Plasmid DNA purification.
- 22 Thermo Scientific. 2014. DyNAzyme II DNA Polymerase

## Geenien gRNA1 ja gRNA2 Off-target-listat

STK11

gRNA1_Exon5									
Sequence	PAM	Score	Gene	Chromos.	Strand	Position	Mismatches	On-target	
AGGCCCTGGCAATCTCGGG	CGG	100	ENSG00000118046	chr19	-1	1220650	0	true	
GCCTCGTGGCAATCTCGGG	AAG	1.3255188679245282		chr11	1	6683449	4	false	
GTTCCCTGGCAATCTCGGG	AAG	0.839975543478261		chr7	-1	148245536	4	false	
AGGGTGTGACCATCTCGGG	GGG	0.711137753303965	ENSG00000181392	chr19	1	36008272	4	false	
CGCCCGCTGCCATCTCGGG	CAG	0.5594163291469195	ENSG00000244968	chr5	-1	38557207	4	false	
AGGAAGCTGGCAATCTAGGG	GAG	0.4614665948275863		chr1	1	158417152	4	false	
AGGGGTAGGCAATCTGGG	AGG	0.39703125		chr2	1	152637434	4	false	
AGGTGGTTGTAATCTGGG	GAG	0.3903677884615384		chr4	-1	124515198	4	false	
AGGGCGTGGGAATCTGGG	AGG	0.3787150186567164		chr17	1	40219718	4	false	
AGGAGGTGAGAAATCTAGGG	TAG	0.33226589084715635		chr15	1	40255201	4	false	
TGCCCGTGGCAATCTGCC	AGG	0.3319602499999999	ENSG00000174938	chr16	1	29873707	4	false	
AGGCTGTGGCCATCTGGG	CAG	0.3291750000000005		chr9	-1	129866097	4	false	
AGGCAGTTGTCATCTGGG	CAG	0.297367875		chr7	-1	3844537	4	false	
AGGCCTATGGCAATCTCTG	CAG	0.27139553086419743		chr2	1	126405803	3	false	
CTGCCCTGGCAATCTCAGG	AGG	0.2413949999999999		chr12	1	75564565	4	false	
ATCCCGTTAGCAATCTCAGG	TAG	0.21807700130890405		chr5	-1	155573809	4	false	
AGGACCTTGGAAATCTAGGG	AGG	0.23377482154187812		chr17	-1	74685676	4	false	
GGGCTGTGGCAATCCGGG	AAG	0.21911426701570688	ENSG00000274279	chr15	-1	22404462	4	false	
GGGCTGTGGCAATCCGGG	AAG	0.21911426701570688	ENSG00000258916	chr15	1	20595925	4	false	
AGTCATAGGAATCTCAGG	TAG	0.21807700130890405		chr2	-1	150495536	4	false	
AGGAGGTGAGAAATCTCAGG	AAG	0.20504166666666657		chr2	1	133945876	4	false	
AGGCCCTCCACTCTCGGG	AAG	0.19476235199805497		chr2	1	25281117	4	false	
GGGCCCTTGGCAGTCTGG	AGG	0.18350330624999997	ENSG00000160360	chr9	-1	136359271	4	false	
GGGCCCTTGGCAATCTGGT	TGG	0.1686358215725806		chr1	1	27841375	4	false	
AGGCCGGAGGCATTCTAGGG	TGG	0.16861989375000003		chr2	-1	65562942	4	false	
TGGCCTTGGAAATCTCGGG	AAG	0.16784355039267013		chr16	-1	31874849	4	false	
AGGGCGTGTGCAATCTCTGG	CAG	0.16060884213197965	ENSG00000127948	chr7	-1	75980360	4	false	
AGGTCTTGGCAATGCCGGG	CAG	0.15446631393298063	ENSG00000227232	chr1	1	16975	3	false	
AGGTCTTGGCAATGCCGGG	CAG	0.15446631393298063	ENSG00000234769	chr16	1	16658	3	false	
AGGTCTTGGCAATGCCGGG	CAG	0.15446631393298063	ENSG00000146556	chr2	-1	113596462	3	false	
gRNA2_Exon6									
Sequence	PAM	Score	Gene	Chromosom	Strand	Position	Mismatches	On-target	
TTCGAAGGGGTACAGACCGG	TGG	100	ENSG00000118046	chr19	-1	1221230	0	true	
ACCAAGGGAACAGACCGG	AGG	0.894654977355654		chr8	-1	47764876	4	false	
TTAGAAGGGAACAGATCCG	GGG	0.7712885260115606		chr20	1	61742174	3	false	
TCTGAAGGGATACAGACCGG	TGG	0.6881348815607735		chr2	-1	170535861	4	false	
TATGAAAGAGTACAGACCGG	CAG	0.623771947500001		chr3	1	108764178	4	false	
TTGAAGGGTAAAGACCGG	CGG	0.48487649044585984		chr12	-1	97936129	3	false	
CACGAAGGGGTGCAGACCCCT	GGG	0.48403758278145703	ENSG00000167139	chr15	-1	73881645	4	false	
TTCTGAGGGGGACAGACCCA	CAG	0.46581197033898303		chr17	-1	34604649	4	false	
TTGGAAGAGGGACAGACCCCT	GGG	0.4592906027542373		chr7	1	6521767	4	false	
ATCCAAGGAGTACAGACCGAG	TAG	0.41057279191616763	ENSG00000135919	chr2	1	223975228	4	false	

TTCCAAGGGGACAGACCG	GGG	0.3295312499999994	chr15	1	77646584	4	false	
ATGGAAGGGTAAAGAGCCG	TAG	0.3096825809911243	chr12	1	23233561	4	false	
TTCCAGGGAGCACAGACCG	GGG	0.3083870233386075	chr1	1	19824247	4	false	
TTCCAAGGGACAGACCG	TGG	0.29720816143134704	chr2	-1	239529852	4	false	
TCAAAGGGCTAACAGACCT	TGG	0.289341303811476	chr2	-1	193132	4	false	
TTTGAGGGGTACAGAGCCA	TAG	0.2119132299864131	chr4	1	125548547	4	false	
TTCTATGGGGTAGAGACCC	AGG	0.19875552910714284	chr1	-1	18752098	4	false	
TGCTAAGGGGTACACACCG	CAG	0.18679891304347826	ENSG00000136383	chr15	-1	84869945	4	false
TCCAAGGGGCACAGCCCC	GAG	0.18185895721925135	chr1	1	8351368	4	false	
TGGAAAGGGCACAGCCCC	AGG	0.1812514500000004	chr3	-1	14791870	4	false	
TTTGAAGGGAAAAGACCC	AGG	0.17575948043610334	chr2	1	225498397	4	false	
TTTGAAGGGTACAGAACTG	AAG	0.1721619092696006	chr5	-1	86488891	4	false	
CTGGAAGGGTAGAGACACG	TGG	0.16345989662576682	chr7	-1	44573107	4	false	
TTAGAAGTGTGAGACACG	AAG	0.14937305427135683	chr5	1	11902438	4	false	
TCAAAGGTGAAAGACCA	TAG	0.141897892379678	chr11	-1	77336798	4	false	
TTAGAAAGGGCACAGCCCC	GGG	0.11508556263693469	chr10	-1	97722372	4	false	
TCGCAGGGATCCGGACCCG	GAG	0.10595952852422909	ENSG00000150672	chr11	1	83633256	4	false
TCAAAGGGTAGAGACACAC	GGG	0.10231496980932203	ENSG00000147485	chr8	-1	51408183	4	false
TTCGTAGGAGTAAAGACCG	GGG	0.08296788957286431	chr21	1	29991855	4	false	
TTGGAAGGGTTACGACTCT	GGG	0.0826024457999998	chr3	1	18658208	4	false	
TCAAAGGGTAGAGACTCT	GAG	0.06295133337988827	chr1	1	76905218	4	false	
TCAAAGGGTCCAGCTCCG	GAG	0.05832517839195982	chr1	-1	26539861	4	false	
TCAAAGGGGACAGGCCG	GGG	0.057904875	chr12	-1	98639316	4	false	
TCGAAGAGGTAGAGCCCT	CGG	0.0477705228608697	ENSG00000105472	chr19	-1	50725241	4	false
TTGGAAGGGTACTGAGCCC	AAG	0.047472442210805106	chr7	-1	40080651	4	false	
TTCTAAGGGTATGGACAG	AGG	0.033527822700777206	chr16	-1	83046173	4	false	
TCGAAAGGGCACAGCCACC	TGG	0.012244542759911894	chr9	-1	135117580	4	false	
TCGAAGGGTACTGCCCT	TAG	0.01081952995500002	ENSG00000085872	chr19	-1	16518494	4	false
TCGAAGGGTCTCACCG	AAG	0.0055392686153846	ENSG00000231185	chr5	1	142375629	4	false

## ULK1

gRNA1_Exon1								
Sequence	PAM	Score	Gene	Chromos.	Strand	Position	Mismatches	On-target
AGACCAACCGCGAACGGCGCG	TGG	100	ENSG00000177169	chr12	-1	131895076	0	true
GGATCACGCCAACGGCGCG	GAG	0.9111463133640552		chr10	-1	132794026	4	false
CGAGCACAGCGAGGCCGCG	GAG	0.8306872037914692		chr1	1	20213118	4	false
ATGCTACCGCGCAGCGCG	CGG	0.7819961538461537	ENSG00000122873	chr10	-1	58269150	4	false
AGAACACAGGGAAGGCCCT	GGG	0.7395692229729731		chr8	1	144538100	4	false
CGCCCCACCGAGAACGGCGAG	TGG	0.6251933753843533		chr9	1	135219864	4	false
ACACCACTGGAAAGGCCGAG	GAG	0.5773936801675977	ENSG00000143774	chr1	-1	228145894	4	false
AGAGCAAGGCCAACGGCGCG	CAG	0.5603398599585062	ENSG00000125651	chr19	-1	6381579	4	false
GCCCCAGCGCGAGGCCGCG	CGG	0.5594163291469195		chr19	-1	54159514	4	false
ACCCCGCCGGAGGCCGCG	CAG	0.4774282910958904		chrX	-1	40098188	4	false
AGCCTAGCGCGAACGCCCG	CAG	0.46886411516497467	ENSG00000279746	chr12	-1	131662925	4	false
AGCCTAGCGCGAACGCCCG	CAG	0.46886411516497467	ENSG00000279746	chr12	1	131297890	4	false
AGACCATGGTGGAGGCCGCG	TGG	0.4392649873505976	ENSG00000161904	chr6	-1	33778919	4	false
CGATCACCCCGAACGGCGCTG	GGG	0.41057279191616763	ENSG00000168418	chr16	1	84237133	4	false
AGCCCTCCGTGAAGGCCCG	GGG	0.3904363223073187		chr12	-1	124307656	4	false
AGAGCCCCGTGAAAGGCCCG	CAG	0.38404094613693474	ENSG00000057935	chr2	1	42494868	4	false
TGAGCACCGAGAACGGCGCG	CGG	0.3760749999999999	ENSG00000165066	chr8	1	41646489	4	false
TGAAACCCCGAGGGCGCT	AAG	0.3757599264705883		chr12	1	89354323	4	false
AGCCGGCCCGAGGCCGCTG	CGG	0.3579778124999994		chr4	1	30718086	4	false
AGAGCACACCGAGGCCGCG	GGG	0.33909987437185934		chr3	1	72590887	4	false
AGACCAAGGGGAAGGCCGCG	AAG	0.3377532017045454	ENSG00000175866	chr17	-1	81109040	4	false
AGACCAAGGGGAAGGCCGCTG	TAG	0.3377532017045454		chr4	-1	26082183	4	false
ATTCAGCGCGAACGCCGCG	CGG	0.3230979550251257	ENSG00000163975	chr3	1	197003320	4	false
AGAGCAACTCGGGGGCGCG	GGG	0.3041767937219731		chr14	-1	23548849	4	false
AGTCCACCGCGACGGCGTCG	GGG	0.2870730036363636	ENSG00000136156	chr13	-1	48233456	3	false
AGACCAAAGGCCAACGGCGCT	TGG	0.28016156669776127		chr16	-1	19067438	4	false
GGACGCCCGCGAGGCCGCG	CGG	0.23339295580110492		chr4	-1	3292382	4	false
AGCCACCCCGAACGGCGCG	CAG	0.23278794403077405		chr1	1	245210194	4	false
AGTCCAGCGCGAGGCCGCG	GGG	0.20771847104329608		chr1	-1	143451098	4	false
AGTCAGCGCGAGGCCGCG	GGG	0.20771847104329608		chr2	-1	91686331	4	false

AGTCCAGCGCGGAGGC CGGG	GGG	0.20771847104329608		chr2	-1	89612071	4	false
TCAACCACCGGAAGGACGCCG	GGG	0.20641801675977656	ENSG000000179954	chr19	1	55493895	4	false
AGGCCAACGTGAAGGGCG	CGG	0.18907952879328366	ENSG000000271654	chr8	-1	18387369	4	false
ACTCCCCCGGAAGTGC CG	TAG	0.1874480807692308	ENSG000000260230	chr9	1	109166948	4	false
AGACCACAGAGAACGC CA	GGG	0.18062976391625615		chr13	-1	99926515	4	false
AGACCATCTGGAGCGCT G	CAG	0.16617457523863635	ENSG000000275074	chr8	-1	22108248	4	false
AGACCACCGGAAGGTG CAG	TGG	0.14837180281690143		chr8	-1	6898232	3	false
AGAGCACCTCGAAGCCG CTG	TAG	0.10041309221311473	ENSG000000110057	chr11	1	67996642	4	false
AGACCAGCGCTGAAGACCC G	GGG	0.09799842937500002		chr10	1	22229288	4	false
AGACCCCAAGCAAGGAGCG	GAG	0.0939480051369863		chr16	-1	867919	4	false
AGCCCAGAGAACGTGG CG	GGG	0.0918566399387838	ENSG000000275183	chr19	1	54463279	4	false
AGACTCCCGCGAGGGCG	GGG	0.08811167391304349		chr11	-1	10304578	4	false
AGACCAGCTCCAAGTC CGCG	AGG	0.08628859107654184	ENSG000000184209	chr12	-1	123465955	4	false
AGACCAAGGGAAAGGAGCT G	CGG	0.08587824456521741	ENSG000000126934	chr19	-1	4094941	4	false
AGACCACCTCGAGAGCG AG	GGG	0.083957569935381		chr16	1	24933800	4	false
AGACTAGCGCAAGCG CG	CGG	0.08071136165158373	ENSG000000078795	chr5	1	137889447	4	false
AGACCCCGGAAAGGGCCC	CGG	0.07533079930357146	ENSG000000186187	chr16	-1	74999710	4	false
AGACCAAGCAGAGCG CG	GAG	0.0687366984069039		chr1	-1	66930158	4	false
AGACCCAGAAAGGAGCC	AGG	0.06074821597500001		chr1	1	235637964	4	false
AGACCAAGCGGAGGGCCG	CAG	0.05204802914798208		chr6	-1	165827125	4	false

## gRNA2\_Exon2

Sequence	PAM	Score	Gene	Chromosome	Strand	Position	Mismatches	On-target
GCAGCGCTCTGAGACTTGGCG	AGG		100 ENSG000000177169	chr12	-1	131895651	0	true
GCATCTCTGGACTTGGCG	CGG	0.9286353711790393	ENSG000000130309	chr19	-1	17581342	3	false
GAATGCTCTGAGACTTGGTG	TAG	0.6199930939226518		chr6	-1	70114173	4	false
ACAGTGGCTGAGACTTGGCA	GGG	0.6075683757485031		chr2	1	235033636	4	false
GAGGCCGCTGGACTTGGCG	GGG	0.5970911191143499		chr18	1	79873814	4	false
TGAGCCTCTGAGACTTGGCT	GAG	0.5513897622699386		chr1	1	40306065	4	false
AAAGCCTCTGGAGACTTGGCG	TGG	0.5512435195852533	ENSG000000110651	chr11	-1	2393704	4	false
GCAGTGTCTTAACTGGTG	GAG	0.5246368972081217		chr3	-1	105644001	4	false
GCACCCCTCTGGAGACTTGGCG	CAG	0.4688079833776595		chr9	1	134166493	4	false
AAAGCGACTGAGACTTGGTG	AGG	0.4589545284431138		chr8	-1	30442339	4	false

GCAGTGTATGAAACTTGGCT	TAG	0.3908538770053476		chr12	-1	82012529	4	false
GAGGCCCTCTGAGACTTGGAG	AAG	0.37820254766949146		chr11	1	125768613	4	false
GATGCTCTGAGACTTGGAG	AAG	0.37820254766949146		chr12	-1	125436875	4	false
CCAGAGCTCTGAGACTTGGAG	AAG	0.37746306818181813		chr6	1	47002752	4	false
CCAGAGCTCTGAGCTTGGCT	GGG	0.37091112903226		chr7	-1	131928345	4	false
GCTGCGGCCGCGACTTGGCG	AGG	0.3491650482947961	ENSG000000169926	chr15	1	31326907	4	false
GGACCGGCTGAGACCTGGCG	TGG	0.324425	ENSG000000205899	chr17	1	1271385	4	false
ACAGCTCTGTGACTTGGCG	TGG	0.30982282511645964		chr7	-1	43251189	4	false
GCAGACTCTAAAGACTTTGCA	GAG	0.2910266182665746		chr10	-1	7379515	4	false
GCAGCCTCTGAGACTTGGCG	TGG	0.2909298121387283		chr20	-1	25042381	3	false
TCAGCGCCGGAGACTTGGGG	AAG	0.2706956255419075	ENSG000000116062	chr2	-1	47783269	4	false
TCAGCAGCTGAGACTTGGTG	AAG	0.26497411874999993		chr9	1	1618619	4	false
GCACCCCTCTGAGACTTGGCA	AAG	0.249826920542373		chr7	-1	101935814	4	false
GGAGCGACTGAGACTTGGCG	CAG	0.24881279438694273		chr17	1	60151935	4	false
GCTGCTGCTGAGACTTGGAG	CAG	0.2444988459375		chr8	1	19641412	4	false
GCAGTGTCTGAGACTTGGTC	AGG	0.24349376536016948		chr3	1	98735950	4	false
CCAGCGCTGAGACTTGGCT	GGG	0.2400282226313608	ENSG00000068354	chrX	-1	48560259	4	false
GCACCCCTCCGAGCTTGGCG	TGG	0.22650610124999998		chr7	1	1936142	4	false
ACAGCCTCTGTGACTTGGGG	AGG	0.22563024419910174		chr2	-1	199306185	4	false
TCAGCGCTGAGACTTGGTA	GAG	0.2174226830357143		chr2	1	200854219	4	false
GCAGGCTCTGAGACCTTGGCA	GAG	0.21018015349740932	ENSG000000249175	chr5	-1	94792209	4	false
CCAGGGCTGAGCTTGGCG	TGG	0.19972337837837836		chr11	1	121621413	4	false
GCATCGCTGAGACCTTGGCG	TAG	0.1940727359461326		chr10	1	124726412	4	false
GCAGCATGTGAGCTTGGCA	AAG	0.18210585127617804		chr4	1	71188082	4	false
GCAACAGCTGAGACCTTGGCG	GAG	0.18180507891705072		chr5	-1	176830197	4	false
CCAGGGCTCTGAGACTTGGTG	TAG	0.17509972499999996	ENSG000000180806	chr12	-1	54002491	4	false
GAAGCGCTGAGCTTGGTG	GGG	0.17346056525		chrX	1	153494168	4	false
CCAGCCTCTGAGACTTGGTG	TGG	0.1686358215725806		chr10	1	112926778	4	false
GCACCGCTGAGACCTTGGAG	GAG	0.16861989374999997		chr1	1	30656365	4	false
GCAGATTCTGAGACTTGGGA	CAG	0.16752134522928994		chr15	1	100852178	4	false
GCAGTGTCTGGCTTGGCA	GGG	0.16705578092277487		chr12	-1	51875332	4	false
TTAGCATCTGAGAGCTTGGCG	TAG	0.16137766959799		chr1	1	229877490	4	false
GCAGCCTCTGAGAGCTTGGCG	CGG	0.1578421274509804	ENSG00000075303	chr7	-1	87876226	3	false

GCAGGGCTGAGCTTGGTG	AGG	0.15694059374999997		chr12	-1	121086237	4	false
GCCGCGTTGACACTCGCG	AGG	0.14937305427135683		chr5	-1	6370019	4	false
GCATCTTCTGAGGCTTGGAG	AAG	0.14516208304558006		chr16	-1	66271580	4	false
GCAGCCTCTGGGAATTGGCG	GGG	0.14337541855203617		chr18	1	2846425	3	false
GCAGCTCTGAGGCCCTGGCC	TGG	0.12569446887053573		chr7	1	47577482	4	false
GCAGCCACTGAGGCTTGGCC	TGG	0.12569446887053573	ENSG00000244005	chr1	-1	22174042	4	false
GCAGCATCTGAACTTGGCC	AGG	0.12332505338253767		chr20	1	35698947	4	false

## STING1

gRNA1_Exon5								
Sequence	PAM	Score	Gene	Chromos.	Strand	Position	Mismatches	On-target
CATATTACATCGGATATCTG	CGG	100	ENSG00000184584	chr5	-1	139480809	0	false
TATATTTCATCTGATATCTG	TAG	1.0803187817258884		chr10	-1	7234709	3	false
ATTCTTACATGGGATATCTG	GGG	0.8946549773755654		chr9	1	97395676	4	false
CATTATAATCGGATATCTC	TAG	0.811782786885246		chr5	1	104126764	4	false
CTTCCTTAAATCTGATATCTG	GGG	0.807718894092166		chr3	-1	148884193	4	false
CATCTTACATTGTATATCTG	AAG	0.6386408450704224		chr10	-1	114660269	3	false
AATGTTGCACTAGGATATCTG	TGG	0.6166297089041096		chr4	-1	62117534	4	false
AATATTTTATAGGATATCTG	GAG	0.60556908632287		chrX	1	126074815	4	false
CAAATTACATCACATATCTG	GAG	0.5800046400000001		chr15	-1	95937277	3	false
CAAATTCAATTGGATATCTG	CAG	0.5666013598404255		chr2	-1	153404991	4	false
TATTTTTCATCAGATATCTG	TGG	0.5620320422535211		chr21	-1	36197292	4	false
AAAATCCATCAGATATCTG	AGG	0.5594163291469195		chr8	1	36744883	4	false
CATATGTCATCAGATATCTG	TGG	0.5432818312236287		chr8	1	74797876	3	false
AATATGAAATAGGATATCTG	AAG	0.5412662613122171		chr15	-1	21266333	4	false
AATATGAAATAGGATATCTG	AAG	0.5412662613122171		chr2	-1	164974992	4	false
TATCTTACATTGGATATCTA	TGG	0.5251510748407643		chr14	1	57906696	4	false
CACATGAGATGGGATATCTG	CAG	0.5062024289163088		chr4	1	34389827	4	false
CAGAACACATGGGATATCTG	AAG	0.5018943231382978		chr3	-1	132603941	4	false
CATATCCATATGATATCTG	AGG	0.48210879183673466	ENSG00000215009	chr12	-1	7318052	3	false
CATTTTATTCAGATATCTG	AGG	0.4557150000000004		chr4	1	20412602	4	false
TATATTACACAGGATATCTC	TGG	0.4493211240754438		chr12	-1	106603006	4	false
CTTATTCCATCGGATATCTG	AGG	0.4300662813102121	ENSG00000198792	chr22	-1	38230687	3	false
CACATTACTACAGATATCTG	TAG	0.4246804303958515		chr17	-1	46102217	4	false
CATACTAGATCAGATATCTT	CAG	0.3908538770053476		chr5	1	127865667	4	false
CAGATTTCAGCGCATATCTG	AAG	0.3904621776107877		chr4	-1	118763576	4	false
CCTATGAGATCGCATATCTG	TAG	0.38795625		chr14	1	98016250	4	false
AATATTATATAGTATATCTG	TAG	0.3696480978260869		chr1	1	148497347	4	false
CATTTTACATCTGATATCTG	GAG	0.35302658959537564		chr15	-1	36058150	3	false
CATATTCCATCAAATATCTG	CAG	0.34752077468354436		chr20	1	24621149	3	false
AATATCACTGGGATATCTG	AAG	0.333733901969178		chr4	-1	65827964	4	false

TATATTATCATATATCTG	TAG	0.33088500000000004	chr9	1	10027212	4	false	
GATATTTCATACGATACTCG	AAG	0.314884449052132	chrX	1	124858768	4	false	
TATATAACATGGATATCTT	TGG	0.30982282511645964	chr2	-1	665041	4	false	
CATTTGCATCTGATATCTG	AGG	0.3081968473040255	chrX	-1	40806336	4	false	
CATAATTATAGCAGATACTCG	AAG	0.27378804350220265	chr1	-1	51270848	4	false	
TATATTAGATTGGAAATCTG	CAG	0.27173653846153845	ENSG00000239557	chr3	-1	52374004	4	false
TATATAAATGGAGATCTG	GAG	0.27173653846153845	chrX	1	134249030	4	false	
CATCTTACTATGATATCTG	AGG	0.255092827789695	chr3	1	188540887	4	false	
CAAATTAGATGGACATCTG	CAG	0.2523999239130434	chr15	-1	71328810	4	false	
CATATTATCTAGGATATCTT	AAG	0.24103429261363632	chr4	1	57634269	4	false	
CATGTTTCACTAGTATATCTG	GGG	0.2343552364069507	chr13	-1	111392444	4	false	
AATATTATATCGGATATATT	GAG	0.1928279801324503	chr13	1	53374092	4	false	
CATATTAAGTTGATATCTG	GGG	0.18626287836155372	chr2	-1	173454077	4	false	
CATTTTCAGCGGATTTCTG	AGG	0.18620584456521747	chr12	1	42609464	4	false	
CATAGTACATAGGATAACTT	CAG	0.17345768698770492	chr10	-1	34400674	4	false	
CAAATTACATTATATCTG	AAG	0.1664546668284753	chrX	-1	51665838	4	false	
TATATTACCTTGGACATCTG	TAG	0.16434543083756342	chr3	-1	165299781	4	false	
CATATGCTCTGATATCTT	TAG	0.15174761961828362	chr11	1	133137576	4	false	
CAGATTAAATCCGATTCTG	AGG	0.14937305427135683	chr4	-1	113324737	4	false	
CATATAAATACATATCTG	AAG	0.1488001615612648	chr5	-1	98456108	4	false	

## gRNA2\_Exon4

Sequence	PAM	Score	Gene	Chromos.	Strand	Position	Mismatches	On-target
CCAGTCACTCACAGGTACCC	AGG	1.9579142857142857	chr3	1	71197491	3	false	
GCTGCCACTCACAGGGACCG	AGG	1.601960784313726	chr11	-1	77165364	2	false	
CCTCACACTAACAGGTACCG	TAG	1.4327783842794761	chr18	1	23882049	4	false	
GAGATCCCTCACAGGTACCG	TGG	0.9482699110671937	chr8	-1	30442802	4	false	
GCTGGCACTCTAAGGTACCG	AAG	0.7551877729257642	chr3	-1	37358826	3	false	
TCTGTCACTCATAGGTACAG	CAG	0.696127659574468	chr9	-1	109924739	3	false	
GGCCTCACTCACAGGTACTG	CAG	0.6113131906077346	ENSG00000153902	chr19	1	35133698	4	false
GATGTCCTTCCCAGGTACCG	AAG	0.5897026473799127	chr16	-1	51286092	4	false	
GGTATCACACACAGGTACCA	GGG	0.5435201721556888	chr17	-1	34443698	4	false	

GCAATGACTCACAGGTACCT	AAG	0.4950740771648045	chr6	1	31481022	4	false	
GCAGGAACCTCACAGGTACCA	CAG	0.48960364537292816	chr7	1	30544634	4	false	
GCATTCACTCTCAGGTACCA	CAG	0.4810321697485207	chr3	1	29202418	4	false	
TCTGTCCTTCACTAGGTACTG	TGG	0.43797374999999994	chr8	-1	500876	4	false	
CTGTCACACTCAGGTCCCG	GGG	0.43006620762711856	chr11	1	2882114	4	false	
GATGCCACACACAGGTACCG	GAG	0.3918037499999999	chr19	1	16371345	4	false	
ACTGTGACTGACAGGTACAG	AAG	0.3699931869452663	chr5	1	138195892	4	false	
GCTTGCCCCACAGGTACCG	GGG	0.3555098519021739	chr2	-1	240461368	4	false	
GCTGTCAGGGACAGGTCCCG	AGG	0.337096232259826	chr16	-1	9155135	4	false	
GCTATCACGTACAGGTACAG	CAG	0.3271967326748704	chr1	1	84665786	4	false	
GCTGTCACTTACAGATACCA	CAG	0.3179867063414635	chr1	-1	21469409	3	false	
TCAGTCACTCACCGGTGCCG	AAG	0.3096825809911243	ENSG00000187244	chr19	-1	44819486	4	false
ACTGTCACACCCAGGTACCA	TGG	0.3016536955464072	chr10	1	111031072	4	false	
GCTTGTGACCCCCAGGTACCA	TGG	0.30007956608606556	chr11	1	115812479	4	false	
GCGGTCACTTACGGGTACCA	CAG	0.29496139039258484	chr3	1	36635670	4	false	
ACGGTCACTCGCAGGTACCG	CAG	0.28241505	ENSG00000160789	chr1	1	156138667	4	false
GCTGCTACTCTCAGGTACCT	GAG	0.26962959375	chr8	-1	84208879	4	false	
CCTATCACTCACAGCTACCC	TGG	0.267201845637584	chr3	-1	20939800	4	false	
GTTGTCACTCACAGGTTCGG	AAG	0.26184375	chr9	1	126401369	4	false	
TCTGTCCTCACAGGTTCGG	AGG	0.25748289175977657	chr19	-1	2763004	4	false	
GCAGTGTCCTCACAGGTACAG	AGG	0.2444988459375	chr1	-1	172092532	4	false	
CCTGTCACTCACAGGAACAG	GAG	0.2433617021276596	chr16	1	19851550	3	false	
GGTGTCACTTCACTAGGTACT	CGG	0.219579166167665	ENSG00000167123	chr9	1	128434413	4	false
CTGTGACCCACAGGGACCG	TGG	0.21911426701570688	chr7	-1	4789078	4	false	
GCAGTGACTCACAGGTCCCC	AGG	0.2119132299864131	chr1	1	229024836	4	false	
GCAGTGACTCACAGATACCC	CAG	0.20898550454306364	chr19	1	43352415	4	false	
TCTTTCACTCACAGGTAACT	TAG	0.20361555944055942	chr7	-1	21291314	4	false	
CTGTGCACTCCACAGGTTC	AGG	0.19963997936320751	chr18	1	48667823	4	false	
CTGTGACTCACAGGTACTT	GGG	0.19524901616379306	chr4	-1	1715143	4	false	
CTGTGCACTCACAGGTACCG	GGG	0.1806661568627451	chr6	-1	157228426	3	false	
TTTGTCACTCACAGGGACCA	AAG	0.17868304195804202	chr12	1	111066498	4	false	
GCTGTCCTGCACTCACAGGTACCG	AGG	0.16954450500000004	ENSG00000198597	chr19	-1	30548594	4	false
GCTTGCACCTCCACAGGCACCG	GGG	0.1691921617910451	chr19	1	5316904	4	false	

GCGGTCACTCAGAGGTCCCC	TGG	0.16037902616618502	chr20	1	63547614	4	false
GTTGTCACACACAAGTCGG	AGG	0.15807052488772455	chr16	-1	17228706	4	false
GCTGTCACTCATAGATACCA	CAG	0.1575709031674208	chr1	-1	152019351	3	false
ACTGTCACCCACAAGATACTT	GAG	0.15299238254716982	chrX	1	126579140	4	false
GCTGTCGTAACGGGCCG	AGG	0.15246241215025688	chr16	-1	55016624	4	false
GCTTCTCACACAGTAACG	AGG	0.14791309758883245	chr2	-1	3466847	4	false
GAAGTCACTCACATGTACCC	AAG	0.1408064058870968	chrX	1	145098402	4	false
GTTGGCACTACAAGTACCC	AAG	0.13921308962264153	chr15	1	60136233	4	false

## Ezh2

gRNA1_Exon3		Sequence	PAM	Score	Gene	Chromos.	Strand	Position	Mismatches	On-target
CTGAAGCTCTAACCAAGAG	AGG	3.350283227848102	ENSG00000102317	chrX	1	48576005	2	false		
CTGAAACCTTAAACCAAGAG	AGG	3.31685590909091		chr2	1	130288968	2	false		
CTGAGACCTTAAACGAAGAG	AGG	2.314545454545455		chr12	-1	5312292	2	false		
TTGACATCTTAAACCAAGAG	AGG	1.8251758087201129		chr3	1	168053317	3	false		
CTGAAATCTAACCAAGAG	GGG	1.5264134099616862		chr11	-1	43109495	3	false		
GTAAAACCTAAACCAAGAG	AGG	1.463858653846154		chrY	1	16375110	4	false		
GTAAAACCTAAACCAAGAG	AGG	1.463858653846154		chrY	-1	16210234	4	false		
TTCAAACATTTAACCAAGAG	TGG	1.463858653846154		chr4	1	37030949	4	false		
GTGTACCTGAAACCAAGAG	AAG	1.4327783842794761		chr1	-1	199720942	4	false		
CTTGAACCTAAACCAAGAG	CAG	1.3766500531914896		chr3	-1	96942767	4	false		
CGGAAATCTAACCAAGAG	TGG	1.279297078014186	ENSG00000106462	chr7	-1	148846542	3	false		
ATGAACCCCTAACCAAGAG	CAG	1.0593431372549018		chr5	-1	142841930	3	false		
TAGAAATTAAACCAAGAG	GAG	1.0442864806866952		chr9	-1	71306419	4	false		
ATAAAATTTAACCAAGAG	TAG	1.02090335106383		chr7	1	41654397	4	false		
CTGAGAGCTTCAACCAAGAG	AGG	1.0129725738396624		chr2	1	167988947	3	false		
ATGGAATCTAACCAAGAG	GAG	0.995984750000002		chr1	1	20793659	4	false		
CTGAAAAAATAAACCAAGAG	AGG	0.9825213135068154		chr13	1	92063580	3	false		
GCGAAACTATAACCAAGAG	TAG	0.9674166666666668		chr3	-1	60050379	4	false		
CTGTTATTTAACCAAGAG	TGG	0.9467655642023346		chr9	1	30974266	4	false		
ATTAACACGTAACCAAGAG	CAG	0.9454686674008809		chr2	-1	19236395	4	false		
CTTTAAACTAAACCAAGAG	AGG	0.9323173704113926		chr1	1	61400042	4	false		
GTGCAACCGAACCAAGAG	GAG	0.9071172794117647	ENSG00000255874	chr13	1	110867313	4	false		
TTGTATCCCTAACCAAGAG	AGG	0.874468199339207		chr10	-1	67513843	4	false		
CTGAAACAGTAAACCAAGAT	AGG	0.853783597883598		chr11	1	129858349	3	false		
CAAATACCTTAAACCAAGAT	AAG	0.8466847543352602		chr14	1	68715815	4	false		
CCTGAACTTAAACCAAGAA	TGG	0.8370083571428572		chr14	-1	60625497	4	false		
CACAAACCTGAAACCAAGAT	CAG	0.8276369445552147		chr6	1	25818586	4	false		
CTTAATCTCAACCAAGAG	CAG	0.8189339803870291		chr15	1	92115995	4	false		
CTGAAAACCTAACGAAAGAG	TAG	0.7214824626865673		chr4	1	185241686	2	false		
ATGAGACCTAACCAACGGAG	TGG	0.7057033868715085		chr16	1	3279796	4	false		

CCAAAACCTGAAACCAGGAG	CAG	0.6881348815607735		chr18	1	62950717	4	false
CCAAAACCTCAAACCAAGAG	AGG	0.6881348815607735		chr2	-1	240935170	4	false
ATGTAACCTTAAAGCCAAGAG	TGG	0.6725304878048782		chr10	-1	94023524	4	false
CTGAAACTGAAACCAAGGG	AAG	0.6639898333333334		chrY	1	13027624	3	false
TAGAACCTTAAACCAAGGG	TGG	0.6486632947976878		chr1	-1	185288953	4	false
TTCAAAACCTCAACCAAGAG	TGG	0.6136005509792627		chr8	-1	39453245	4	false
CTGAAGCCTCAAGCCAAGAG	AGG	0.5963796746724893		chr11	1	3291500	3	false
CTGAAGCCTCAAGCCAAGAG	AGG	0.5963796746724893		chr11	1	3219501	3	false
ATGAAAACCTAAACCAAGAA	TAG	0.566353146477273		chrX	-1	113729094	4	false
CTAGATGCTTAAACCAAGAG	CAG	0.5647740620136187		chr3	1	113595860	4	false
CTGCTGACTTAAACCAAGAG	AAG	0.5555012971698113		chr2	1	196428901	4	false
CAAAACCTTAAACCAAGAC	CGG	0.5424067793181819		chr20	1	7799205	4	false
CAGAAAATTTAAACCAAAAG	GAG	0.5400195329087049		chr1	-1	208223941	3	false
CTGACCTCTAAACCAAGAG	CAG	0.5358830991847826		chrX	1	95845530	4	false
GTGAAACCTTAAACCAAGAA	AGG	0.5321714285714286		chr17	-1	52008873	3	false
CAGAAAACCTGAAACCAAGAG	TGG	0.5275378002183405		chr5	1	15369063	4	false
CTGAAAAAGGAAACCAAGAG	AGG	0.516690579268868		chr11	-1	85461239	4	false
CTGAAATTAAACCAAGAG	AAG	0.516690579268868		chr4	1	38415175	4	false
CTGAAAGAGCAAACCAAGAG	TGG	0.516690579268868		chr9	1	96563059	4	false
GTGAAGCTTATACCAAGAG	GGG	0.49321569767441853		chr8	-1	19719656	4	false

gRNA2_Exon3								
Sequence	PAM	Score	Gene	Chromos.	Strand	Position	Mismatches	On-target
TTAAATCATCTTAAAGGA	TGG	1.2441624365482233		chr2	-1	155523513	3	false
AAAATTGTTCTAGTAAGGA	AAG	1.0180700836820085		chr4	-1	23584926	4	false
AAAATCCCCCTGTTAAGGA	GAG	0.9664345177664975		chr11	-1	128609389	3	false
GTAATACCTCTAGTAAGGA	GAG	0.8655873493975903		chr3	1	94196701	4	false
TAATAATCCTTAATAAAGGA	GAG	0.8155616197183098		chr20	1	34180536	2	false
TCAAAAGCCTCTAGTAAGGC	AAG	0.8100503355704697		chr15	-1	75773621	3	false
AAAACCTCATCTAAATAAGGA	GGG	0.6660326086956522		chr5	1	167377095	4	false
TTAGATCATCTAAATAAGGA	GAG	0.6534063981042654		chr11	-1	65001633	4	false
TCATTTCCCTAATAAAGGA	GGG	0.6353398617511521		chrX	-1	152247433	4	false
TGGACTCCTAATAAAGGA	GAG	0.6322725		chr2	1	136417570	4	false

TACAATCATATAGTAAGGA	AGG	0.6322457541243656		chr1	1	14071136	4	false
AAACATTCTCAGTAAGGA	GGG	0.6166297089041096		chr2	1	88103214	4	false
TATGATCATCTAGTAAGGA	CGG	0.6113131906077346		chr22	-1	33101228	4	false
TACCATGCTCAAGTAAGGA	AGG	0.5764126387987013		chr14	-1	22649585	4	false
TATCATCCTTAAAGTAAGGA	GAG	0.5757430519067795		chr8	1	136873107	4	false
AAAAATTCTTAAGTAAGGA	AGG	0.56791571900685		chrX	-1	79170341	4	false
GAAAATGCTATAGTAAGGC	AAG	0.566353146477273		chr3	1	116688713	4	false
TAATATCATTATTAAGGA	CAG	0.5593705671806168		chr16	-1	47154010	4	false
AGAAAAGCCTCAAGTAAGGA	AAG	0.5512435195852533	ENSG00000177570	chr8	1	118190639	4	false
GAAAATCCTTAAAGTAAGGA	GAG	0.547563829787234		chr20	-1	8815311	3	false
GAAAATACTGTTAAGTAAGGA	CAG	0.517631510915493		chr18	-1	32074998	4	false
TCTAATCCTCAAGTAAGGC	CAG	0.5049343899363354		chr11	-1	35629228	4	false
TACAGGCCCTCAAGTAAGGA	TGG	0.5018943231382978		chr10	1	101309709	4	false
CAAAGTCTTAAAGTAAGGA	CAG	0.4986153846153846		chr17	1	33982942	4	false
TTAAATTATCTAGTAAGGA	CAG	0.4853767810880831		chr14	-1	41379405	4	false
TAATGTCCTAAGTAAGGGT	CAG	0.4658119703398303		chr7	1	84367124	4	false
GAAGATCCTGTAGTAGGGG	GGG	0.4652511904761905	ENSG00000112902	chr5	1	9040683	4	false
GAAAATGCTCTAGTAGGGG	GGG	0.45091797979798		chr8	1	127988840	3	false
CAACATGCTCTAGTAAGCA	CAG	0.4482187499999994		chr14	1	47682511	4	false
TAATCTCTGGGTAAGTAAGGA	CAG	0.432345		chr3	1	152998817	4	false
TAACATACTATAGTAAGGA	GAG	0.4292396963619404		chr11	1	41700905	4	false
TAAAATCAAGCAGTAAGGA	AAG	0.4198583770047169		chr5	1	143060092	4	false
TAAGAGCTTATGTTAAGGA	AGG	0.398629005612245		chr13	-1	79354023	4	false
TAAAATTGTTAGTAAGGA	AAG	0.39039447497171953		chr14	1	27129185	4	false
GAGAATCCTCTCGGTAAGGA	AGG	0.3891002500000004		chr4	1	4340960	4	false
TAAGATACTTTACTAAGGA	AGG	0.3854460982500001		chrX	1	147917241	4	false
AAATATCCTCAGTAAGGA	GAG	0.38209451687116547		chr3	1	176698076	4	false
TCAGATCCTCTAGTAAGGG	AAG	0.37876932466887418		chr18	-1	42874739	4	false
TAATCTCTCAAGTAATGGA	AAG	0.36773777173913036		chr11	-1	28742350	4	false
TGAAATCTGTAAGTAATGGA	AAG	0.36325441952720205		chr4	1	29210999	4	false
GTAAATCCTCTGTTAAGGTA	A GG	0.3516664012738853		chr2	-1	82013226	4	false
CTAAATCCTCTTAAGGA	GAG	0.35145816062176166		chr2	-1	233237072	4	false
TAAATTCTACTAGTAAGGTA	GAG	0.3445510364321608		chr7	1	108028988	4	false

TAATATCTTCAACTAAGGGG	GAG	0.34007624999999997	chr6	1	134431707	4	false
CAAAACTCTCTGGTAAGGGG	AAG	0.33376156278801844	chr13	-1	94965469	4	false
AAAAATCATCTTGAAAGCA	AAG	0.32669600591715975	chr9	-1	11373494	4	false
TAAAATCATTAGTAAAGTG	TGG	0.3167922413793102	chr15	-1	33014881	4	false
TTAAATCCTTTAAAGGGC	TAG	0.3096459562500001	chr8	1	107076298	4	false
GAAAATTCCCTAGTAAAGGA	AGG	0.30938965489864867	chr14	-1	95803202	4	false
AAATATCCTGTAGTAGGGG	AAG	0.3083840163934427	chr20	1	8587059	4	false

II11

gRNA1_Exon2								
Sequence	PAM	Score	Gene	Chromos.	Strand	Position	Mismatches	
CAGTTCTAGTCGTTGCCCT	TGG	1.002692848020434	chr4	1	186192190	3	false	
CGGGGAGAGTTGTTGCCCT	GAG	0.863400655021834	ENSG00000260063	chr1	1	26693954	4	false
CAGACACAGTCGCTGCCCT	AAG	0.7574809954751132	ENSG00000126243	chr19	1	35939545	3	false
CATCTAGAGTCGTTGCCCT	TGG	0.741790707070707	ENSG00000111785	chr12	-1	106842676	3	false
CAGAAAGGGCGTTGCCCA	GGG	0.7163366819371728	chr3	1	52289907	4	false	
CAGACACAGCCCTGCCCT	TGG	0.46521313006329124	chr5	-1	55495382	4	false	
CATATAGTTCCCTGCCCT	TGG	0.46110795917030567	chrX	-1	65739215	4	false	
CACAGAGAGTATTGCCCT	TGG	0.43797140753424646	chr6	-1	64243199	4	false	
CAAATAGTGTATTGCCCT	CGG	0.4118081117142857	chr9	1	128397656	4	false	
CAGTTAGAGCGTTGCCCT	TGG	0.38124550053191486	chr8	-1	74091769	4	false	
CATAAAATGTTGCCCT	TGG	0.3491650482947961	chr2	1	76467090	4	false	
CAAATTGAGGCCTGCCCT	GGG	0.34905834399971203	ENSG00000153815	chr16	1	81697781	4	false
GAGAAAGAGTACTGCCCT	GAG	0.34086143216080406	chr4	1	134562575	4	false	
CAGATGGGACGCTGCCCT	TAG	0.32142743449267785	chr13	1	60396251	4	false	
CACATGGAATGGTTGCCCT	GAG	0.3119675168303571	chr18	-1	13245145	4	false	
CATAAAAGACTGTTGCCCT	TAG	0.3110780699999999	chr12	1	92065963	4	false	
CAGAGATAATCTTGCCCT	GGG	0.3060440839958159	chr12	-1	106271755	4	false	
CAGATGAAGGGTTGCCCT	TAG	0.30219287298004516	chr4	1	819797	4	false	
CAGATACCCCTTGCCCT	CAG	0.2891088382411068	chr1	1	206857789	4	false	
CAAATAGAGTTGCCCT	AGG	0.26254665452261305	chr12	-1	83479820	4	false	
TAGATATAGTCATTGCCCT	CAG	0.25748289175977657	chr3	-1	64288572	4	false	
CAGCCAGAGTGGTTGCCCT	GAG	0.2559836956521739	chr11	-1	61628257	4	false	
GAGTTAGAGTCCTTGCCCT	TAG	0.2539118918918919	chr4	1	21303264	4	false	
AAAATAGAGTCCTTGCCCT	TGG	0.25309326885245903	chr11	1	31288515	4	false	
CAGATACTATCGGTGCCCT	TGG	0.23293288125	chr19	1	30303836	4	false	
AATATAGAGTAGTTGCCCT	TAG	0.22880439970059868	chr15	1	58890703	4	false	
AAGATAAAAGCTTGCCCT	AAG	0.22580562799401196	chr14	1	76886969	4	false	
AAGATAGAGTTGCACCT	GAG	0.2002774632352941	chr4	-1	126982651	4	false	
CAGACTGAGTCGTTGCTCA	TGG	0.20001424584537575	ENSG00000255874	chr13	1	110869882	4	false
CAGACATAGCTTGCCCT	TGG	0.19743214594240832	ENSG00000279184	chr22	-1	35174014	4	false

CAGAGAGAGGCCCTCCCCCT	TGG	0.19575917511312219	ENSG00000206262	chr3	1	138952263	4	false
CAGACAGAGGCCCTCCCCCT	AAG	0.19575917511312219		chr9	-1	76964984	4	false
GAGAGAGAGTTGGCCCT	GGG	0.18583401639344263		chr18	1	12190230	4	false
GAGAGAGAGTTGGCCCT	GGG	0.18583401639344263		chr18	-1	10639383	4	false
CAGAGAGGCCCTCCCCCT	GGG	0.18471293969849248		chr12	-1	113940302	4	false
CAGATAGTACCTTCCCCCT	CAG	0.18101580627615063		chr14	1	65625357	4	false
CAGATACAGCCGCGCCCG	GAG	0.17992278690699634	ENSG00000244005	chr20	-1	35698541	4	false
CAGAGAGAGGGTGCACACT	CGG	0.17410437987804872		chr7	1	47188779	4	false
AAAATAGAGTCTTGGCCCT	TAG	0.16793919661016954		chr10	1	74011923	4	false
CGGATTGAGTCATCCCCCT	GAG	0.1457389153846154		chr12	1	124681580	4	false
CAGATCCGTGTTGCCACT	TGG	0.1367428311611374	ENSG00000139266	chr12	-1	57758232	4	false
AAAGATAGAGATGTGCCCT	CAG	0.13235486021341464	ENSG00000182179	chr3	-1	49809347	4	false
AAAGATAGAGTCTGTGCCCT	TAG	0.12209656499999996		chr10	1	114647368	4	false
CAGATACAGTTTGTCTCT	AAG	0.1147068963127802		chr10	1	10453391	4	false
CAGCTAGAGGCATGCCCT	CAG	0.10883625780504299		chrY	-1	5001050	4	false
CAGCTAGAGGCATGCCCT	CAG	0.10883625780504299		chrX	-1	91780129	4	false
CAGATAGTGTCTTCCCCCT	GGG	0.10817594813278006		chr7	-1	144950363	4	false
AAAGATAAAGTCGCTGCCACT	AAG	0.1079310749999999		chr2	-1	208096698	4	false
AAAGATAGTAATTGCCACT	AGG	0.10533930662983422		chr3	-1	17413130	4	false
CAAATAAAGTCCTTGCCCT	GAG	0.10305755034213201		chr5	-1	166633888	4	false

**gRNA2\_Exon4**

Sequence	PAM	Score	Gene	Chromosor	Strand	Position	Mismatches	On-target
GCAGACATTGTACATGCCGT	GAG	3.8365384615384612		chr7	-1	155429745	2	false
GCATGCAGTTTACATGCCGG	AGG	1.3502314814814813		chr7	-1	91201663	4	false
GGAAACCAATGTACATGCCGT	CAG	0.8790310650887576		chr5	-1	139020736	4	false
TCAGCCATTTCATGCCAG	AAG	0.7672393957315435	ENSG00000097033	chr1	-1	86728471	3	false
GCAGGCAATAAACATGCCGG	GGG	0.7432610969387754		chr7	-1	156071620	4	false
TAAGCCATTTCATGCCAG	AGG	0.6419470108695652	ENSG00000120885	chr8	1	27599410	4	false
ACAGGCTTTGGACATGCCGG	AGG	0.6110493495475113	ENSG00000160957	chr8	-1	144512856	4	false
ACAACCATAGAACATGCCGG	GGG	0.5618890988730292		chr10	1	109244985	4	false
GCAGTCAGTCTACATGCCAG	TAG	0.5246368972081217		chrX	-1	40646382	4	false
GCTGCAAATGTACATGCCGA	AAG	0.4950740771648045		chr22	-1	47030794	4	false

GCTTCCAGTGTACAGGCCGG	GAG	0.45921146341463426		chr16	1	11093462	4	false
ACAGCCATTCTCCATGCCGT	CAG	0.4030873693113774		chr12	-1	64261467	4	false
AGAGACATTGTACATGCTGG	AAG	0.3944915254237288		chr12	-1	3928824	4	false
TGAGCCATTGACATGCCGT	GGG	0.39170695754716967		chr10	-1	118512619	4	false
CCAGCACATTGACATGCCGT	TGG	0.37746306818181813	ENSG00000092203	chr14	1	21487629	4	false
GCAGTCAGTGGACATGCTGG	AGG	0.36773777173913036		chr20	1	57671272	4	false
GCAGGAATGGAACATGCCGG	CAG	0.3007725289351851		chr10	1	76034527	4	false
GCAGCCACCATACATGCCAG	AAG	0.2910090756048387		chr4	1	10093831	4	false
AGAGCCATTGTAGATGCCGT	GGG	0.280184879032258		chr19	1	33347643	4	false
ACAGCCACTGCACAGGCCGG	TGG	0.27173653846153845		chr10	1	15345587	4	false
ACAGCCACTGCACAGGCCGG	TGG	0.27173653846153845		chr10	1	15343698	4	false
GTTGCCAGTGTACCTGCCGG	TGG	0.2578232142857143	ENSG00000239809	chr17	1	62381869	4	false
TCAGCCATGGAAATGCCGG	TAG	0.22369369602272723		chr3	-1	24683730	4	false
CGGGCCACCGTACATGCCGG	CAG	0.21795747124352324	ENSG00000104825	chr19	-1	38907499	4	false
GCAGCCCCCTGGACATGCCGT	GAG	0.20549855298913036	ENSG00000137106	chr9	-1	37429939	4	false
GCTGCCATGGAAACATGCCAG	AAG	0.20281721118749987		chr16	-1	75195648	4	false
ACAGCCATGGTCTATGCCGG	GAG	0.20021739456521737		chr9	-1	1891955	4	false
TCAGCCACTGTCCATGCAGG	TGG	0.19630799999999995		chr6	1	43877242	4	false
ACAGCCATTTCATGCCGT	AGG	0.1767594515530723		chr6	1	47812200	4	false
GCAGCCCTTGTAAATGCCGT	TGG	0.16523450512817797		chr2	-1	19028837	4	false
GCAGCCACTTACATGCCAG	TGG	0.16005111154708515		chr2	-1	95043262	4	false
GCAGCCAGTGTACCTGCCGT	CAG	0.15089086294416243		chr1	1	228062261	3	false
ACAGCCAGTGTACATGCAAG	CAG	0.14009474522292986		chr6	-1	161858300	4	false
GTAGGCATTGTACATGCAAG	AGG	0.14009474522292986		chr5	1	57768758	4	false
GCAGCCCTTGGACATGCCAG	CAG	0.12435808845170451		chr11	-1	79601195	4	false
TGAGCCATTGTACAGGCCGG	AGG	0.11919171974522291		chr21	1	43478808	4	false
TGAGCCATTGTACAGGCCGG	AGG	0.11919171974522291		chr21	-1	6059756	4	false
GCAGCAATGGCACATGCCGT	TAG	0.11341198634159474		chr2	1	182753423	4	false
GAAGCCAATGTACTTGGCCGG	GGG	0.11167366803278689		chr13	1	100525761	4	false
GCTACCATTGTACAAGCAGG	AAG	0.10665385317919075		chr16	1	81701499	4	false
CCAGCCACTGTACCTGCCAG	AGG	0.101336931818182		chr5	-1	6657419	4	false
GCAGCCATTCCAAATGCCAG	AAG	0.09779195940735129		chr7	-1	8670126	4	false
GCAGCCATGCCACATGCCAG	TGG	0.09522901354421394		chr1	1	34946448	4	false

GCAGGCCATTCTCATGACAG	CAG	0.08858467896210406		chr13	1	48520275	4	false
GCAGACATGGTACATACCGT	CAG	0.08625454930939229		chr12	-1	103755719	4	false
GGAGCCATTGAACATGTAGG	CAG	0.08429297669491524		chr12	-1	5740740	4	false
GGAGCCATTGAAGATGCAGG	GGG	0.08106682499999998		chr18	-1	55149436	4	false
TCAGCCATTGTCATGTGGG	GAG	0.07645232080924855		chr9	1	133247248	4	false
GCAGCCATTGACATGGGG	CAG	0.0763562681992337	ENSG00000162761	chr1	-1	165202336	3	false
GCAGCCAGTGTTCATGCTGA	CAG	0.071271523880597		chr1	-1	108029269	4	false

Hgf

gRNA1_Exon5								
Sequence	PAM	Score	Gene	Chromos.	Strand	Position	Mismatches	On-target
ACAGTATCTACTAAAGAG	TGG	4.030448591549296	ENSG00000019991	chr7	-1	81757240	2	false
AGTTGATCCCTACTAAAGAG	AGG	2.602415384615385		chr2	-1	153356458	3	false
GAGGTATCCATCACTAAAGAT	TGG	1.9857142857142858		chr11	-1	92928238	3	false
ACTTTATCATAACTAAAGAG	AGG	1.4424300469483569		chr3	1	60014713	3	false
CAGGAAACCACACTAAAGAG	GAG	1.0013117283950617		chr1	-1	25254232	4	false
AGGGTATGCATCACCAAGAG	TGG	0.9377532228360957		chr8	-1	93425393	3	false
AGGGGATCCATCACTAAAAG	AAG	0.7906581740976644		chr13	-1	36133824	3	false
ATGCCATCCATACTAAAGAG	CAG	0.7859865470852018		chr2	1	9601633	4	false
ACTGCATCATCAGTAGGAG	AGG	0.6935182692307693		chr6	-1	121482818	4	false
ACGGCATCCATGACTACGAG	AGG	0.6347407407407407		chr2	1	170158722	3	false
AGTCTATCCATCTTAAGAG	GGG	0.6264451036866361		chr20	-1	32521288	4	false
ACATTAACCATGACTAAAGAG	AAG	0.524608202		chr3	-1	96900234	4	false
ACTCTCTCAGCACTAAAGAG	TAG	0.5062024289163088		chr18	1	75386302	4	false
CCTCTATCATACAAAGAG	CAG	0.4730570351758795		chr10	-1	114519694	4	false
AGGATACCCATCACTAAGGG	AGG	0.4330248940677966		chrX	1	149009590	4	false
TCCGTATCCACACTAACGGG	AAG	0.38142525815217376		chrX	1	133368449	4	false
AGGGGCTTCCATCACTAACGGG	AAG	0.3750582182320433		chr1	1	47413163	4	false
ATGGAATCCATAACTATGAG	CGG	0.3728225138121547	ENSG00000164941	chr8	1	94875965	4	false
ACAGTGCCTCATCACTAAAGAG	GAG	0.3590476786875		chr2	-1	58420956	4	false
ACGATAACTAACACTAAAGAG	AAG	0.3452326557269874		chr11	1	36507044	4	false
CCGGCATCCATCACAAAGAC	CAG	0.2636627483443709		chr10	1	21287147	4	false
AGGGTAACATCACTAACGGG	CAG	0.2616220291550279		chr1	-1	58149469	4	false
ACAGTATACAGCACAAAGAG	AAG	0.2523999239130434		chr15	-1	50738716	4	false
ACTGTAGGCATCACTAAAGAG	TAG	0.2436414940414508		chr14	-1	61408355	4	false
ACAACATCCATCAGTAAGAG	TAG	0.24118945852534568		chr12	-1	66375717	4	false
ACATTATCCATGACCAAGAG	GGG	0.23510694517766498		chr12	-1	123702453	4	false
TAGGTATCCATCGCCAAGAG	AGG	0.20641801675977656		chr1	1	108015817	4	false
ACCATATCCATCACAAATGAG	AAG	0.20247633938547488		chr1	1	177683235	4	false
ACTGCATCCATCACCAAGAG	AAG	0.20023903176795582		chr1	1	30028735	4	false
AGAGTATCCATGACTAAATAG	TGG	0.1980873999999999		chr8	-1	138461159	4	false

ACTGTTCCATAGCTAAGAG	AGG	0.1899693894612676	chrX	1	14319460	4	false	
AGGGGCTCATCACTCAGAG	TGG	0.18628831658291461	chr8	1	12651042	4	false	
ACAGTCCCACAAAGAG	AAG	0.18435724310545026	chr2	1	2456369	4	false	
ACTGCTGCATCACTTAGAG	GAG	0.1800609642857143	chr13	1	52154604	4	false	
ACCTAACCATCAATAAGAG	AGG	0.1678259663732395	chr3	-1	168472474	4	false	
ACAGCATCCATCACTTAGAA	TAG	0.15648417111801247	chr5	1	149939505	4	false	
ACTGCATCAATCATTAAGAG	AAG	0.15155728311611374	chr12	-1	24758990	4	false	
ATGGTATCCATCTTAGAC	CAG	0.13097123354289944	ENSG00000232409	chr2	1	208516989	4	false
AACGTATCCATCACTTAGGG	CAG	0.12121912261146499	ENSG00000061455	chr5	-1	123189155	4	false
AAGGGATCATCACTGAGGG	AAG	0.1198858695652174	chr17	1	62746518	4	false	
ACGGTTCCAGTAGCTAGGAG	GGG	0.1044165474798387	chr5	-1	109652943	4	false	
ACTGTTCCACCACTGAGAG	TAG	0.1029775052855301	chr6	-1	73178519	4	false	
ACGGTATCTCTAAATAAGAG	AAG	0.09817474683673473	chr3	-1	102253292	4	false	
AAGGAATCCATCACAGAG	AGG	0.09072762430939228	chr2	-1	219952166	4	false	
ACGGTTCCCTCACAAAGGG	CAG	0.08506462651332487	chr13	-1	71621789	4	false	
AGGGTATCAGAACCTAGAG	GGG	0.08407915326633168	chr1	-1	63895946	4	false	
ACTGTATCCCTACCGAGAG	GGG	0.07569870203147211	chr10	1	4212740	4	false	
ACTGTATCCATCCAATGAG	AGG	0.07119869775761423	chr4	1	54375373	4	false	
ACAGTGTCCATCAATAGGAG	AAG	0.06589651272466217	chr8	-1	53379909	4	false	
ACGCTCTCCATCATTATGAG	GAG	0.0647327233115185	chr20	-1	49205226	4	false	

**gRNA2\_Intron(Exon5)**

Sequence	PAM	Score	Gene	Chromos.	Strand	Position	Mismatches	On-target
TTCTAACTAAGGTTGACAG	GAG	1.6099119549929672	chr3	1	156146143	3	false	
GTTTCAACCGAGTTGACAG	TGG	1.0180700836820085	chr10	-1	132937700	4	false	
TTTCAACACAGCTTGACCAA	GAG	0.8276254777070065	chr20	-1	21221570	3	false	
TGACAGCACAGGTTGACAG	CAG	0.8205166505791508	chr7	1	139873211	4	false	
AGTCAACACAGTTGACCAAG	GAG	0.8152325581395349	chr7	-1	86211539	4	false	
TTGAACGGCTTTGACAG	TGG	0.761920371338912	ENSG00000119929	chr10	1	99747330	4	false
TTTAACCTGGTTTACCAAG	TGG	0.6826393013100438	ENSG00000213959	chr20	-1	38615354	3	false
TTTACCTCAGGGTGACAG	CGG	0.6475349344978166	chr19	-1	45137203	3	false	
TATTAACACAGTGTGACAG	GGG	0.6121279187817259	chr12	1	131526734	3	false	
CTTCAAAACATGTTGACAG	AAG	0.6110493495475113	chrX	1	149145586	4	false	

TTAGAAAACAGGTTGACCAT	GGG	0.5652170841101696	chr3	1	60162509	4	false	
TATTATCTAAGGGTGACCAG	GAG	0.5510024843096233	chr16	-1	13845536	4	false	
TTTGACTACTGGTTGACCAG	TAG	0.5489005024038461	chrX	-1	15394932	4	false	
TTATTACAAAAGTTGACCAG	AAG	0.5201522710152837	chr3	-1	162698671	4	false	
CTTTTACACAAGTTGACCAC	AGG	0.5185454009433962	chr5	1	140302090	4	false	
TTGTTCCACAGGTTGACCAA	AAG	0.48960364537292816	chr1	-1	106057353	4	false	
TTGAAAGACAGGGTGTGACCA	AGG	0.4239545902397261	chr7	1	42077160	4	false	
CTTTAACACTTCTTGACCAG	GAG	0.41286955126728103	chr15	-1	38186289	4	false	
TTTCGCACAGGGTGTGACCA	GAG	0.40477820121951225	chr20	1	55656228	4	false	
TTCAACACAAAGTTGAACAG	GGG	0.4013690624999993	chr11	1	56582727	4	false	
TATTAACGTGAGGCTGACCA	AGG	0.3881926555299539	ENSG00000126351	chr17	1	40090105	4	false
GTTTATAAAAGTTGACCA	AGG	0.3827403937499996	chr4	1	76978471	4	false	
TGTTAACACTAGTTGACCA	AAG	0.36325441952720205	chr12	1	22934196	4	false	
TCCTAACACAGGGTGTGACCA	AAG	0.3610598152070065	chr6	-1	149421528	4	false	
TTGTGACACAGATTGAACAG	AGG	0.3558025000000005	chr4	-1	162763821	4	false	
TTTATACACAGTTGAACAG	CAG	0.3496418393782384	chr16	-1	35406474	4	false	
TTCTAACAGATGTTGACCA	AGG	0.3491650482947961	chr5	-1	27863408	4	false	
TTTGACACAGGGTGTGACCA	TAG	0.3466312500000006	chr20	1	56927232	4	false	
TGTTGATAACAGGTTACCA	AAG	0.3212286945812808	chr3	1	20691305	4	false	
TTATGACACAGAAATGACCA	GAG	0.3169752845971564	chrX	1	151120579	4	false	
TTTAAACACAGGGTGTGACCA	AAG	0.3144021138211383	chr12	-1	74744119	3	false	
TTTTAACACAGGATGAACAG	AAG	0.3143915634146342	chr1	-1	169320838	3	false	
AGTTAACAGAGGTTACCA	AGG	0.3119530748663102	chr9	-1	113257369	4	false	
TTTCACGCGAGGTGTGACCA	AGG	0.3107636148648649	chr12	1	124995442	4	false	
TTGGAACCCAGGTTGGCCAG	AAG	0.3036037688442214	chr10	-1	50627980	4	false	
TTTTAAGAGGTGTTGACCA	TAG	0.2934064360848215	chr7	-1	54424428	4	false	
TTTAAAAACAAATTGACCA	CAG	0.29013702510917	chr4	-1	149823777	4	false	
TTATAACAAAGGGTGTGACCA	TGG	0.28858284703891707	chr11	-1	66646685	3	false	
TGAAACACAGGATGATCA	AGG	0.2859910174180328	chr11	1	41586681	4	false	
TTTAATACAGGGTGAAC	AAG	0.2775636111111111	chr3	-1	90099798	3	false	
ACTTAATACAGGTTGACTG	GAG	0.27566748554913295	chr1	1	207838092	4	false	
TTTAAACCCAGGATGAACAG	CAG	0.2694389276649746	chr10	1	128962791	4	false	
TTTCACTCAGGATGATCA	AGG	0.26147521551724134	chr7	1	108684024	4	false	
TTTGAAAACATGTTGACCA	TGG	0.261261979428392	chr1	1	185295863	4	false	
TTTAACAAAGGATGATCA	AAG	0.2608873235294118	chr14	-1	26868279	3	false	
TTTTAACACAGATTGAACAG	AGG	0.25748289175977657	chr4	1	181039190	4	false	
TTTTAGCCCCATCTTGACCA	AGG	0.24219326388888884	chr6	1	31316790	4	false	
GTTTATCACAGGTTGATCA	TGG	0.23065496822033899	chr1	1	89838794	4	false	
TCTTAACCAAGGTTGACAAG	TAG	0.22814478609625663	chr6	1	133404443	4	false	
TTCTAACACAGGATGACCA	AGG	0.22641406458750002	chr13	1	40010731	4	false	

Met

gRNA1_Exon18		PAM	Score	Gene	Chromos.	Strand	Position	Mismatches	On-target
CTTCATGGTCCATAGGGC	CAG	1.4424300469483569			chr9	1	130683455	3	false
TGCCATGCTCTATAGGC	AGG	0.7952131773399015			chr14	1	102554249	4	false
CTCTTGTTCATATAGGC	AGG	0.6823694029850746			chr15	-1	85112984	4	false
TTACATGATTACATAGGC	TGG	0.6696482142857143			chr13	1	70849495	4	false
TGCCCTGCTCATATAGGC	CAG	0.6562499999999999			chr2	-1	147684302	4	false
CTCAATGCTCATATAAGGT	TGG	0.6476337579617835			chr10	-1	19329843	3	false
ATGAATGCTCACATAGGGC	TGG	0.6442587085308057			chr13	1	93757824	4	false
TTCAATCTCATATAGGGC	AAG	0.5973124853395062			chr8	1	8409922	4	false
CTTATTCTTATATAGGGC	TGG	0.5764126387987013			chr3	-1	62533059	4	false
CTCCCTGGCATATAGGGC	AGG	0.5449661748927038			chr19	1	5035210	4	false
CTCCATGCTAAATAAGGGC	AAG	0.480015672413793			chr1	-1	208414277	3	false
CTACATTTCTATATAGGC	CAG	0.46415191300251263			chr1	-1	175249600	4	false
ATGCATCCTCACATAGGGC	CAG	0.45290758664634156			chr6	-1	45462995	4	false
CTGCGCTGACATACAGGGC	AAG	0.42710059285714286			chr1	1	165530954	4	false
TTCCATTCTGATATAGGGT	TAG	0.34547530617331285			chr4	1	101070078	4	false
TTTCATACTCTATAAGGGC	TGG	0.3331424510362695			chr5	-1	4243036	4	false
CTGTATGCTCATATAGGC	GAG	0.3015691874999995			chr9	-1	9398954	4	false
CTCCCTACTTTATATAGGG	TGG	0.3011362294451872			chrX	-1	28418235	4	false
CTGCGTGTATTATAGGGC	AAG	0.3005828358208956			chr1	1	65340397	4	false
CTCCGTGCTGGAGATAGGGC	TGG	0.29988213151595744	ENSG00000173452		chr7	-1	19772639	4	false
CTCTTGTTCATATAGGC	AAG	0.29601449275362324			chr14	1	40268584	4	false
CTTCCTGCTCATAAAGGGC	CAG	0.2805782041463415	ENSG00000066084		chr12	1	50747952	4	false
CTCTATGCTCATACAGC	AGG	0.2762504816955684			chr14	1	65986630	3	false
CTGCAGGGTCTATAAGGC	GAG	0.27250575			chr5	1	149619069	4	false
CTCCATGATTCTATAAGGC	TAG	0.27140101522842636			chr13	-1	86007561	3	false
TTCCAACCTCAATAGGGC	TGG	0.26999732479265404			chr9	-1	18868614	4	false
CTCCTGCTCCCATAGGGC	TAG	0.2681233580472103			chr11	-1	72738503	4	false
ATCCATTCTCATATAAGGG	CAG	0.2469593494103774			chrX	-1	3595757	4	false
GTTCAGGCTCATATAGTC	AAG	0.2353260296610169			chrX	1	112057499	4	false
TTCCATGCTCATTAAGGC	CAG	0.23140870488322718			chr8	-1	139116427	3	false

CTGCAAGCTCTACAGGC	TGG	0.2129860654166665		chr11	1	64659156	4	false
CTCAGGAATCATATAGTC	GGG	0.2023523025914634		chr5	-1	36488302	4	false
CTCAATTTCATATGGGC	AGG	0.19834514218009486		chr4	1	114539892	4	false
CTCCTCTCCATATGGGC	AGG	0.18096060950704235		chr18	-1	67477158	4	false
ATCCATGCTACATATAGGG	AGG	0.17301148403225805		chr11	-1	25751620	4	false
CTCCCTGCTCTATAGGC	TGG	0.1729964249999995		chr1	-1	41740881	4	false
CTCAATGCTTAAATAGGT	AGG	0.17247380625000003		chr2	1	166472695	4	false
CTCCATGTTCTATAGGC	AGG	0.17056885758998436		chr1	-1	148172600	3	false
CTCCATGTTCTATAAGGC	CAG	0.16354535207423582	ENSG00000237382	chr17	-1	18312814	4	false
CCCCATGCTCTGATAGGA	AAG	0.16163259557142856		chr20	1	43348966	4	false
CTCCATGTTAAATATAGTC	TGG	0.1605111154708515		chr1	1	90793683	4	false
CTCCAAGCTCTATAGGC	TGG	0.1581422977703975		chr5	1	139061993	4	false
CTCCCTGCTCTTATAGTC	TAG	0.15586178275862067		chr1	-1	216749067	4	false
CTAAATGCTCTGATTGGC	TAG	0.15562951727748695		chr3	-1	117477317	4	false
CACCATGAATCATTAGGC	TGG	0.15370921208530808		chr16	1	13483260	4	false
TTCCATGCTGATATATGAC	AGG	0.14532328125		chr3	-1	31598225	4	false
CCCCATGCTCATGAAGGC	AAG	0.1397252302025783	ENSG00000259581	chr15	1	76259889	3	false
CCCCATGCTCATGAAGGC	AAG	0.1397252302025783	ENSG00000092445	chr15	-1	41572501	3	false
CCCCATGCTCATGACATCC	CAG	0.1397252302025783		chr1	1	143553027	3	false
CTCCAGGCTGCAAGATAAGC	TAG	0.13885514265184862		chr17	1	34445795	4	false

gRNA2_Intron(Exon18)		PAM	Score	Gene	Chromos.	Strand	Position	Mismatches	On-target
TCCCTCTCTTAAACATCCAT	CAG	2.73849765258216			chr8	1	103369933	3	false
TCCCTCTCTGAAACATCCCT	GGG	1.414893617021276	ENSG00000111713		chr12	-1	21604561	3	false
GCAATCTCTTAAACATCCAC	AGG	0.7889170875000002			chr2	1	160920578	4	false
GCTGCTTGTGACATCCAT	GGG	0.7587662337662339			chr9	1	12185084	4	false
TCCATCTATGAAACATGCAT	GGG	0.7577693370165746	ENSG00000197885		chr3	1	23891856	4	false
CCCCCTGCTGATATCATCAT	GGG	0.6725304878048782			chr4	1	121781828	4	false
ACCATCTGTTAACATCCCT	CAG	0.664016272189349			chr8	-1	69962896	4	false
GACATCTGTTAACATCCCT	GAG	0.6412499999999998			chr5	-1	96924026	4	false
GTCATCTCTAACATCCCT	GGG	0.6044062499999999			chr11	1	7948203	4	false
GCAGCCTCTAACATCCCTT	GGG	0.5693101686452514			chr8	1	101129510	4	false

CACGTTCTGAAACATCCAT	CAG	0.5512435195852533	chr2	1	237743932	4	false	
ACCGTCTTCGAACATCCAT	TGG	0.5417316423766815	chr21	-1	23753786	4	false	
GCCTCATCTGTAAACATCCAA	GGG	0.480623161764706	ENSG00000107201	chr9	1	32456138	4	false
GCTGACTCTGTAAACATCCAA	AAG	0.4754060624999995		chrX	1	100373979	4	false
GCATTCACTGTAAACATTCA	GAG	0.47367297788461543		chr11	1	3608209	4	false
TCCCTCTCTGTGACATCCAG	GAG	0.47154629032258066	ENSG00000235820	chr20	-1	5535659	4	false
GACTTCTCTGTGACATCCAC	AAG	0.4539731366459627		chr17	-1	37723561	4	false
GCCTTCTCTGTAACTCCAC	AAG	0.4508203821656052		chr13	1	20668487	3	false
TCCCTTCTCTGTAACTCCAT	TGG	0.44853800675675676		chr5	1	40377453	4	false
GTCCTCACTGTATCATCCAT	GGG	0.4420861795774648		chr9	1	74871149	4	false
TCCCTCTCTGTAAACATACAT	AAG	0.4349812499999993		chr7	1	115446052	4	false
GCAATCTCTGTACATCCAG	AGG	0.4313544640718566		chr2	1	21251636	4	false
GCTGGCTCTGTGACATCCAG	TGG	0.4264285180473374		chr6	-1	41534652	4	false
GCAATCACTGTAAACATCCCT	TAG	0.41296377356557373		chr15	-1	95076672	4	false
GCCTTCTGAGTAACATACAT	CAG	0.4087925304878049		chr14	-1	38874879	4	false
GTCATTTCTGTACCATCAT	TGG	0.38795625		chr3	1	147666164	4	false
ACTGTCCTTTAACATCAAT	TGG	0.37519823343195263		chr2	1	83681549	4	false
GACCTCTCTGTATCATCCAA	CAG	0.3615803066037736		chr5	1	168860994	4	false
CCCTTCTCTGTCTTACATCAT	CAG	0.3434219543147208		chr14	1	21892798	4	false
GCTCTCTCTGTACCATCCAG	AAG	0.3435538847727274		chr3	1	119364032	4	false
GCAGTCACAGTAACATCCAA	AGG	0.34148900556012574		chr19	1	16621532	4	false
GCCAGCTCTCTAACATCTAT	TGG	0.33669541884816745		chr14	-1	98943402	4	false
GGAGTCTCTGTGCCATCCAT	CAG	0.33274519925373136		chr9	-1	120482198	4	false
GCAGTCTCTGTAAACACCCAT	GAG	0.32934579005524867		chr2	1	105954705	3	false
TCTGTTTTGTAAACAGCCAT	CAG	0.32657918918927	ENSG00000226921	chr13	1	113878520	4	false
GCTGCCTCTGTCTTCCATCCAT	TGG	0.3169752845971564		chr15	1	98609312	4	false
ACCGTCTATGTATCATCCAT	GGG	0.29653334497206707		chr4	1	181237271	4	false
TCCATTCTCTGTAACTCCAT	AAG	0.29321002538071067		chr1	1	67669386	4	false
GCAGTCTCTGTACAGCCAT	CAG	0.2919605922651934		chr8	1	96408367	3	false
GCCGCTCTAAACATCAAT	TGG	0.2871102895927601		chr17	-1	51945251	3	false
TCTGTCCTGTAAACATACTT	TAG	0.2859017428691275	ENSG00000172667	chr3	-1	179021655	4	false
GCAGTTCTGTAAAATCCAT	CGG	0.285748972927242		chrX	-1	146285664	3	false
CCAGTCTCTGTAAACCTCCAT	AAG	0.28241505	ENSG00000158023	chr12	1	121953829	4	false

GCCATATCTGTAAAGATCCAT	TAG	0.27849674796747975	chr16	1	84994785	3	false
GCCCTCTCTGTAAAATCCAA	AGG	0.2506426751592357	chr5	-1	173248911	3	false
GCAGTCAGTGTAAACATCTAT	AGG	0.2436414940414508	chr3	-1	43635421	4	false
GCCCTCTCTGTAAACTCCAC	AGG	0.22750328571428574	chr5	1	51510878	4	false
GCCCTTATTTAAACATCCAT	TAG	0.22121190610859728	chr7	1	111436272	4	false
GCCATCACTGTGTATCCAT	GAG	0.20963286549773755	chr11	1	134343911	4	false
GCCATCCCTGTGTATCCAT	TGG	0.20963286549773755	chr3	1	101817496	4	false

Ax1

gRNA1_Exon17									
Sequence	PAM	Score	Gene	Chromos.	Strand	Position	Mismatches	On-target	
TTCATGGCAGACATGCCAG	TGG	1.0954971830985916	ENSG00000167601	chr19	1	41253643	2	false	
ATGAGGGCTGACATTGCCAG	GAG	0.9211218347639482		chr10	-1	96479295	4	false	
TTCATGGGTGACATTGCCAT	GAG	0.853783597883598		chr8	1	28744355	3	false	
TCCATGGAAAACATTGCCAG	AGG	0.8530762500000001		chr2	-1	13230637	4	false	
TCTCTGGCGCTATTGCCAG	AAG	0.8513130458515282		chr6	-1	122734299	4	false	
TGCAGGGCCCGCATTGCCAG	TAG	0.8239772341628957		chr1	1	116417685	4	false	
TTAATGGTTACATTGCCAG	CAG	0.8201921074170124		chr11	1	123325045	4	false	
TCCATGGGCAACATTGCCAA	AGG	0.7908688222543354		chrX	-1	150842200	4	false	
TTCAGGGACTCATTGCCAG	TGG	0.7432610969387754		chr22	-1	19674860	4	false	
GCCATGGCCCACATTGCCAG	AGG	0.7301786488439308		chr9	1	12928949	4	false	
TTTCTGGCCAAATTGCCAG	GAG	0.7267957952054795		chr4	1	124199988	4	false	
TTCATGGTGACATTGCCG	CAG	0.6187538071065989	ENSG00000259581	chr15	-1	76259796	3	false	
TTCATGGTGGACATTGCCG	CGG	0.6187538071065989	ENSG00000092445	chr15	1	41573046	3	false	
TGCCCTGGCCACCTTGCCAG	GGG	0.6134160326086957	ENSG00000265222	chr17	-1	32510660	4	false	
TTATTGCGACATTGCCAG	CAG	0.6032362455246915		chr1	1	108679764	4	false	
CTCTCTGGCTGATTGCCAG	AGG	0.5618890988372092		chr14	1	66272921	4	false	
TTCTCTGGACTATTGCCAG	GAG	0.5593705671806168		chr2	1	80191136	4	false	
TTCAAGGTCTACCTTGCCAG	AGG	0.5449661748927038		chr21	-1	39652335	4	false	
TGCTCTGGCTGACATTGCCAA	AAG	0.5435201721556888		chr17	-1	81037500	4	false	
TCCCCTGGCTGACATTGCCAC	AGG	0.5435201721556888		chr19	-1	57932992	4	false	
TTCACCTCCACATTGCCAG	GAG	0.5358830991847826		chr7	-1	9963051	4	false	
ATCAGTGGCGACATTGCCAC	AAG	0.5318137943786984		chr8	1	76537958	4	false	
TTCAGGGTTGCCATTGCCAG	AGG	0.4890937499999999		chr1	1	55931196	4	false	
TTCTCTGGCTCACCATTGCCAG	TAG	0.46166999961099575		chr1	1	168093089	4	false	
ATCATGGCCTCATTGCCAA	CAG	0.4493211240754438		chr11	-1	131725136	4	false	
TTCAAAGCTTACATTGCCAT	TGG	0.4426539319852942	ENSG00000107611	chr10	-1	16904059	4	false	
TTGATTGCCAAATTGCCAG	AGG	0.4318242550930494	ENSG00000238189	chr13	-1	43459279	4	false	
CTCATGGCTTACATTGCCAG	TGG	0.41273836213235293	ENSG00000100796	chr14	1	91473244	4	false	
TTCTCTGGCCACATAGCCAG	AGG	0.4089882558139535		chr17	1	20555942	4	false	
TGCAATGGCAACATTGACAG	TGG	0.39990711771373055		chr8	-1	52877687	4	false	
gRNA2_Intron(Exon17)									
Sequence	PAM	Score	Gene	Chromos.	Strand	Position	Mismatches	On-target	
GCTCGGGAGGGCCGAAGCA	GGG	2.1743377659574468	ENSG00000130307	chr19	1	17259705	2	false	
GCTCGGGAGGGCCCAAGGA	CGG	1.3800936507936508	ENSG00000261221	chr19	1	55615040	2	false	
GGTCTGCAGGGCCCCGAAGGA	GGG	0.7859865470852018		chr5	-1	14417025	4	false	
GCTGGGAAGGGCGCGAAGGA	CAG	0.7574809954751132	ENSG00000269883	chr14	1	77141307	3	false	
GCTCTCGGGCGCGGAAGGA	GGG	0.61275		chr14	-1	52951152	4	false	
GAGGCTGAGGCGCCGAAGGA	GGG	0.5829194134036145		chr1	-1	39408861	4	false	
CCTGAGCAGGTGCCGAAGGG	CGG	0.5185454009433962		chr9	1	136743367	4	false	
CTTGAGCAGGCCACCTAAGGA	CAG	0.4896153846153846		chr9	-1	123412165	4	false	
GCTGGGCAGGCACCTAAGGA	AAG	0.40736		chr22	1	19764723	3	false	
GCAGTGCAGGGCCGAGGGA	CAG	0.3971217708333333		chr2	-1	127653047	4	false	

GCTTAGCAGGGGACGAAGGA	GGG	0.3493934075342465	chr1	-1	7515709	4	false
GCTCCGCAGCTGCCGAGGA	AAG	0.34199074618902436	chr22	1	37930512	4	false
GAGGGCGAGGCTGCCGAGGA	AGG	0.33274519925373136 ENSG00000135333	chr6	-1	93419250	4	false
GCTTCAAAGGCGCCGAAGGC	CGG	0.3282656194852941	chr17	-1	81397508	4	false
GCTGCACAGGCCACGAAGGA	GAG	0.3185871877729258	chr14	-1	93774601	3	false
GCTGGGGAGGGCCGAAGGG	TGG	0.3011362294451872 ENSG00000140398	chr15	-1	75355530	4	false
GCTAGGGGGGCCGTAGGA	GAG	0.2960144927536324 ENSG00000080644	chr15	1	78621266	4	false
TCTGCTCAGACGCCAAGGA	AAG	0.2756432506476684	chr11	-1	4637337	4	false
CCTCCGCCGCCGCCGAAGGA	GGG	0.2667399497487438 ENSG00000096872	chr9	-1	26956501	4	false
GCTGGGCCTGCCCAAGGA	TGG	0.261592937219731	chr2	1	110584176	4	false
GCTGGGCCTGCCCAAGGA	TGG	0.261592937219731	chr2	-1	109787315	4	false
CCTGGGCAGGTCCAAAGGA	AAG	0.25119625668449197 ENSG00000100226	chr22	1	38732612	4	false
GCTGTGATGTTCCAGAGGA	AGG	0.24868882374476983	chr7	1	25525831	4	false
GCTGGGCAGGAGCAGAAGGA	GAG	0.2458849765258216	chr17	1	74388189	3	false
GCTGCACAGGCACAAAGGA	AGG	0.23719635680751178	chr20	1	39168034	3	false
GCCGCGCGGGGCCCAAGGG	CGG	0.2322822008875404 ENSG00000149596	chr20	-1	44160140	4	false
TCTGCACAGGCTCCGAGGG	CAG	0.2306549682203899	chr2	-1	10860794	4	false
GCTTGCGAGGTCTTAAGGA	TGG	0.2291400000000004	chr8	-1	25179929	4	false
GCTTCGCTGCCGAGAAGGA	AAG	0.22121190610859728	chr17	1	68053515	4	false
GCAGCGCAGGCCAGAGGG	AGG	0.20706664932562627	chrX	1	48004109	3	false
GCTGCCCGGCCGACGGG	AAG	0.1890845056352459	chr17	1	4950140	4	false
GCTGTGCAAGGGCCGAGGG	CGG	0.17345768698770492	chr2	-1	219510935	4	false
GCGGGGCAGGAGCCGGAGGA	CAG	0.17195650384615385 ENSG00000187122	chr10	1	97060747	4	false
GCTGAGCACGGCGAGGAAGGA	CAG	0.1714549295774648	chrX	1	153554854	3	false
GGGGCGCAGGGCCCGAGGA	GAG	0.16243299344262296	chr1	1	116570645	4	false
TGTGCCAGGCCTGAAGGA	TGG	0.16137766959799 ENSG00000132199	chr18	-1	688589	4	false
GCTGAGCCGGGCCAGGA	AAG	0.15966021126760566 ENSG00000242802	chr7	1	4792698	4	false
GCACCGCAGGCCGAGTGA	CGG	0.156841823964497	chr4	-1	150254186	4	false
GCTTCCCAGGGGCCAAGGA	CAG	0.1533881249999996	chr17	1	78130101	4	false
GCTGGGGAGGCCAAAGGG	CGG	0.1519124593575419	chr14	1	95875675	4	false
CCTGTGCAGGTGCAGAAGGA	CAG	0.15107740384615384	chr1	-1	223505062	4	false
TCTGCGCTGGGCCAGAAGGA	AGG	0.14656763059701494	chr4	1	146235759	4	false
GGTGGGCAGGTGCAGAAGGA	GGG	0.14656763059701494	chr2	-1	19727928	4	false

GGTGGGCAGGGGCAGAAGGA	GGG	0.14656763059701494	chr9	-1	17406852	4	false
AATGCGCAGGCCGGCGGA	GGG	0.1465271739130435	chr5	1	177312530	4	false
GCTCCAGAGGCCCAAGGA	GGG	0.1449886300251256 ENSG00000233101	chr17	1	48601659	4	false
ACTGCGCCGCCGCCGGGA	AGG	0.13636343930635844	chr6	1	107028187	4	false
TCTGGCGAGGGCGCGATGGG	TGG	0.13579226054447854	chr1	-1	207823670	4	false
CCTGGCGAGGTGCCAAAGGG	CAG	0.135559856595092	chr8	1	98948776	4	false
GCTGTGCAAGGCCCAAGGC	CAG	0.13292780778688526 ENSG00000006451	chr7	-1	39624395	4	false

## Nrg1

gRNA1_Exon2	Sequence	PAM	Score	Gene	Chromos.	Strand	Position	Mismatches	On-target
CTGCCATCTCATAAAGTGT	CAG	8.611956521739131			chr22	-1	16624295	2	false
AAACCATCTAAATAAAGTGT	TGG	2.7001586854460093			chrX	1	31035921	3	false
AAGCGATCTCATAAAGTGT	GGG	1.9857142857142858			chr14	-1	58565855	3	false
CTGGCATCTCATAAAGTGT	CAG	1.8730496453900711			chr13	1	19512968	3	false
CAACCATCAGATAAAAGTGT	GGG	1.5345273004366813			chr2	-1	58924974	3	false
GGGGCATGTCTCATAAAGTGT	TGG	1.4905857740585773	ENSG00000272746	chr18	1	13526322	4	false	
CATAA			1022683397685		chr12	1	100538815	4	false
GAAC			1022683397685	ENSG00000213064	chr1	1	168251389	4	false
CTGTCATCAGATAAAAGTGT	AGG	0.8831406112334801			chr1	1	39925645	4	false
CACCCATCTCAAAAGTGT	GGG	0.859852880536913			chr1	-1	170504310	3	false
TAGGCATTTAAAGTGT	AAG	0.8549247359154928			chr2	-1	3380827	4	false
CAAGCTTATCATAAAGTGT	CAG	0.846668575697211			chrY	-1	6133675	4	false
CAAGCTTATCATAAAGTGT	CAG	0.846668575697211			chrX	-1	93017408	4	false
CATCTATCATATAAAAGTGT	CAG	0.8411331825			chr10	1	90917352	4	false
GAGCAATTTCAGAAAAGTGT	TGG	0.8228873239436619			chr2	1	52592531	4	false
CAGGCATCTGAAAGTGT	AGG	0.7825248868778281			chr5	-1	14744685	3	false
CCAACATCTCAGAAAAGTGT	CAG	0.774982735426009			chr2	-1	159750932	4	false
CCCCCATCTTACAAAGTGT	TGG	0.754352033886256			chr2	1	176112922	4	false
CAGGAATATCATAAAGAGTG	AAG	0.6823694029850746			chr4	1	180561888	4	false
CAGTAATTCTATAAAAGAGTG	AGG	0.6823694029850746			chrX	1	130748679	4	false
CTGGCATCTCATAAATTGTG	CAG	0.6296724470134877			chr22	-1	43288312	3	false
CACTGATTTCATCAAAGTGT	AAG	0.61275			chr3	-1	124777449	4	false
CACTGATTTCATCAAAGTGT	CAG	0.61275			chr2	-1	218365039	4	false
CAGCCATCTCTAAACTGTG	CAG	0.6045800000000001			chrX	1	109533656	2	false
CACTCATCTCAGAAAAGTGT	AGG	0.5948727272727273			chr8	1	26437849	3	false
CACCCAAACATCTAAAGTGT	AAG	0.5934672375			chr6	1	142119466	4	false
CTGCCATTAAATAAAAGTGT	CAG	0.5773936801675977			chr4	-1	185437203	4	false
CATTCATCTTATAAAAGTGGG	GAG	0.5757430519067795			chr6	1	127000344	4	false
CATCCAGGTCTATAAAAGTGT	TGG	0.5527260988259669			chr1	-1	5041172	4	false
CAGCTAAATCTAAAGTGT	AAG	0.5467283653846153			chr3	-1	183594763	4	false

TATCCATCTCTAAAGTGT	GGG	0.5244802366935484			chr11	1	95850865	4	false
CTTCCCTCTCTAAAGTGT	TGG	0.5242007375			chr4	-1	138876063	4	false
AAACCATTTCTATGTGT	TGG	0.492870942408377			chr9	-1	22338850	4	false
GAGACATCTCTAAAGTGT	GAG	0.4745250000000003			chr9	1	3272679	4	false
AAGGCATCTCAGAAAAGTGT	AAG	0.47154629032258066			chr4	1	180528865	4	false
AAGCAATCTCAGAAAAGTGT	TAG	0.4655393312101911			chr14	-1	70909773	4	false
CAGGCATCAGGTAAGTGT	TGG	0.46166999961099575			chr6	1	17914658	4	false
CAGCCTCTCATCAAAGTGT	TGG	0.4422663602620088	ENSG00000124198		chr20	1	49023084	3	false
AACCCATCTCTAAAGAGTG	AGG	0.43384979588150285			chr11	1	28968401	4	false
CAGCAAGCTTATAAAAGTGT	CAG	0.41679796603260877			chr17	1	27500158	4	false
AAGCCAGCTGATAAAAGTGT	CAG	0.41280946875			chr14	-1	93642870	4	false
ATGCCATTCTATAAAAGTGT	AGG	0.4083333333333332	ENSG00000118200		chr1	1	200860283	4	false
GAGC		Asiakirja tallennettiin viimeksi Juuri nyt 139423076923			chr9	-1	110319939	4	false
CAGCCATGAAATAAAAGTGT	AAG	0.39619529440165885			chr8	-1	84026349	4	false
AAGCTATCTCTAAAGTGGG	TAG	0.37746306818181813			chr12	1	55187337	4	false
CTGCCATCTCTAAAGTGT	CAG	0.36711773049645385			chr21	-1	10528814	3	false
CAGGGATCTCTAAAGTGT	GGG	0.3493934075342465			chr7	1	142327101	4	false
CAGCAGCACATCTAAAGTGT	GGG	0.3472741024372587			chr14	-1	103745130	4	false
GAACCATCTCAGCAAGTGT	AAG	0.3429835130769231			chr22	-1	20091840	4	false
TAACCATCTCAAGAAAGTGT	CAG	0.3429835130769231			chr13	-1	66499468	4	false

gRNA2_Intron(Exon2)	Sequence	PAM	Score	Gene	Chromosome	Strand	Position	Mismatches	On-target
AAATATTAAGCAACACCAGG	AGG	1.6271314553990606			chr3	-1	182912250	3	false
ATGTATTAAGGTACACCAGG	GGG	1.4987199999999998			chr7	-1	130301621	3	false
AGCTCCTGAGGAACACCAGG	GAG	1.4680715197956575			chr11	1	18743893	3	false
TGGTATTGAAGAACACCAGG	GGG	1.463858653846154			chr10	-1	69800299	4	false
AGCTTATTGTTGAACACCAGG	CAG	1.3248933085501855			chr7	-1	131640986	3	false
ACTTATTAAGAACACCATG	GAG	1.320181208053691	ENSG00000181830		chr11	-1	45805966	3	false
AGCAAGAAAGAACACCAGG	CAG	1.002692848020434			chr7	1	1485708	3	false
AGAAATACAGGAACACCAGG	AAG	0.9635031626506027			chr6	-1	40710387	4	false
CTCTGTTAGGAAACACCAGG	TAG	0.9422889610389611			chr7	-1	67456422	4	false
TCCTATTTAGGAAACACCAGT	AAG	0.9343160377358491			chr12	1	83540848	4	false

AAATAATGAGGAACACCAGG	AAG	0.8745424382716048		chr11	1	75827065	4	false
AGGTATAAAGGAACACCAAG	AGG	0.8557380955414011		chr6	-1	161450125	3	false
ATTTTTAAGGAACACCACT	GAG	0.8466847543352602	ENSG00000160172	chr11	-1	67797064	4	false
ATTTTTAAGGAACACCACT	GAG	0.8466847543352602		chr11	-1	3414235	4	false
AGGTCTTGAAGAACACCAAG	AAG	0.84394237012987		chrX	1	151978614	4	false
TTCATTAAATGCACACCAAG	GAG	0.7952131773399015		chr15	1	45983463	4	false
AGTAATTAATGAACACCAAG	TGG	0.7889170875000002		chr2	-1	137796631	4	false
AGCTATTAGAAAACACCACT	GAG	0.775531746031746		chr6	1	55452943	3	false
AACTTTCAGGAACACAAGG	AAG	0.7256944444444444		chr15	-1	89608175	4	false
GTCATAAAAGAACACCAAGG	GAG	0.6281018895348837	ENSG00000140396	chr8	1	70110438	4	false
AGGTGTTAGGAGCACCAAGG	CAG	0.6207241438356165		chr6	-1	99629761	4	false
AGATCTTAGGAACACCATG	TGG	0.6046321721311474		chr5	-1	163622679	4	false
AGCTATTAAATACACCAAGG	TAG	0.5921037100371745		chr10	-1	27223016	3	false
AGAAAAGAAGGAACACCAAGG	AAG	0.5647740620136187		chr12	1	6631116	4	false
TGATATTATGGAACACCACT	AGG	0.5628749596698113		chr15	1	99273149	4	false
AGCCATCAGTGAACACCAAGG	GGG	0.558869402063266		chr19	-1	11204005	4	false
AGCTCTGAGAGAACACCAAGG	AAG	0.54550974128486		chr7	-1	149755678	4	false
GGGTAGTAAAGGAACACCAAGA	GAG	0.5370803625000001		chr15	-1	41036380	4	false
AGCAGATAAGTAACACCAAGG	GAG	0.4963478993759327		chr12	1	67060981	4	false
AGGAATAAGGAACACCAAGG	AAG	0.4950740771648045		chr5	1	130745737	4	false
TGCAATTAAAGGGACACCACT	GAG	0.4715462903258066		chr10	-1	76784457	4	false
AAATGTTAAGGAACCCCAGG	CAG	0.46373571428571425		chr10	1	69807397	4	false
AGTTTTCAGGAACCTCCAGG	CAG	0.4547746376811595	ENSG00000078403	chr10	1	21673369	4	false
GGCTCTCAAGGACCACCAAGG	TAG	0.4505471590909014		chr3	1	107207926	4	false
TGCTATTAAATAACACCAAGA	AGG	0.4493211240754438		chr7	-1	71861398	4	false
AGCTAGTAAAGGCCACACCAAGG	CGG	0.4414662025316454	ENSG00000065923	chrX	1	46613336	3	false
ACTTATAAAGGAACACCATG	AAG	0.4318421175		chr7	-1	136080192	4	false
AGCTTAACTGAACCTCCAGG	AGG	0.4030135375527426	ENSG00000008853	chr8	1	22998948	3	false
TGCTAGTCAGGACCACCAAGG	GAG	0.3990937499999997		chr12	1	128259673	4	false
AGATATAAAAGGATACCAAGG	AAG	0.3904621776107877		chr6	1	109397786	4	false
AGATATTAAATACACCAAGG	AGG	0.3857571830927948		chr2	-1	12151713	4	false
AGCCATTAGAGAACACTAGG	AAG	0.37649792057926834		chr19	-1	41641039	4	false
AGCTGCTAAAGAACACTAGG	GGG	0.3728007233231708		chr5	1	90793382	4	false
AGCTTCAAAGAACACCAAG	GAG	0.36200214951923076		chr8	1	101137189	4	false
AGCTTGTCAAGGATCACCAGG	AAG	0.3579853809012875		chr1	1	27121017	4	false
GGCTCTTAAGGGACACCAAG	GGG	0.3387216257668711		chr10	-1	118542356	4	false
TTCTATTGAGGAACACCACT	TAG	0.33483606557377055		chr8	1	127859380	4	false
AACAATTAAAGGGTCACCAAG	AAG	0.3341449507389162		chrX	-1	36407178	4	false
AACAATTAAAGGGTCACCAAG	CAG	0.3341449507389162		chrX	1	35416858	4	false
AGCTAGGGAGAACACCAAGG	CAG	0.3229262975543478		chr11	-1	104522328	4	false

## PCR- ja sekvenointialukkeet

Aluke	Tm (°C)	GC-%	Pi-tuus	Etäisyys gRNA1:stä	Sekvenssi
<b>STK11, FWDpri- mer (150 bp)</b>	59,98	54,55	22	200	CAGGGCATTGTGCACAAGGACA
<b>STK11, REVpri- mer (150 bp)</b>	58,99	54,17	24	175	CATAAAGTAAGCACCCCTAGCGG
<b>STK11, FWDpri- mer (500 bp)</b>	60,63	59,09	22	531	GCCTGTGGCCCACAGGAAAATG
<b>STK11, REVpri- mer (500 bp)</b>	60,05	59,09	22	494	GGTCAGTCAAGGTGGTTGACGC
<b>STK11, REVpri- mer (OL)</b>	56	66,67	18		CGGAGAAGGTGTCCAGGCC
<b>ULK1, FWDpri- mer (150 bp)</b>	59,86	76,47	17	113	GAGTCCCCCGCGCCTTG
<b>ULK1, REVpri- mer (150 bp)</b>	56,8	54,55	22	188	CGGGAGTCTGAACTGGAAAGTC
<b>ULK1, FWDpri- mer (500 bp)</b>	59,33	57,14	21	393	GCCGCGGCTCTTTGTTCTC
<b>ULK1, REVpri- mer (500 bp)</b>	59,85	57,14	21	509	GGCGACCTCCAAATCGTGCTT

<b>ULK1, REVprimer (OL)</b>	57,8	66,6	18		GTGGCGGCCCTTGAAGAC
<b>STING1, FWDprimer (150 bp)</b>	57,46	52,17	23	159	GGCAAAAGAGGGATCAAGTCAGG
<b>STING1, REVprimer (150 bp)</b>	58,51	54,55	22	148	gcaacatcctcatgcctggg
<b>STING1, FWDprimer (500 bp)</b>	56,33	57,14	21	563	CTCCTTGAAACCTCTCTGGCTG
<b>STING1, REVprimer (500 bp)</b>	57,33	54,55	22	498	cctgtaatcccagcactttggg
<b>STING1, REVprimer (OL)</b>	56,19	57,89	19	overlap 6 emästä	GCAGGATCAGCCGCAGATA
<b>Ezh2, FWDprimer (150 bp)</b>	56,42	52,17	23	111	GGTCATGGTACTTCTGGTGAGTC
<b>Ezh2, REVprimer (150 bp)</b>	54,09	50	22	151	GAGAGACATCCTGAAGTCTGTG
<b>Ezh2, FWDprimer (500 bp)</b>	56,57	60	20	386	GGATTACTCAGCCTGCTGGG

<b>Ezh2, REVprimer (500 bp)</b>	55,91	52,17	23	529	GGTGAAGATCTCCCTCACAC
<b>Ezh2, REVprimer (OL)</b>	57,48	60	20	overlap 6 emästä	CTCCGCTGTTCCACTCTTG
<b>II11, FWDprimer (150 bp)</b>	55,46	54,55	22	147	CCCTAGCTTACCTCACTCAGAC
<b>II11, REVprimer (150 bp)</b>	56,52	54,55	22	149	GCCCAAGAGAGAGAAGTGAUTG
<b>II11, FWDprimer (500 bp)</b>	55,44	57,14	21	406	CCTGAGACTCAAGACCTCCAG
<b>II11, REVprimer (500 bp)</b>	56,33	54,55	22	487	GCTCTGGCTCCAGAGTCTTAG
<b>II11, REVprimer (OL)</b>	59,35	76,47	17	overlap 4 emästä	CAGCTGGTGGCCCAGGG
<b>Hgf, FWDprimer (150 bp)</b>	55,1	45,83	24	178	CTAGGAGAAGCTTAAGCCAGAAC
<b>Hgf, REVprimer (150 bp)</b>	56,4	57,89	19	171	CATGCAAGTTGGGCCTCG
<b>Hgf, FWDprimer (500 bp)</b>	55,94	47,83	23	330	CAATCAAGTCACCAGGCTTACC

<b>Hgf, REVprimer (500 bp)</b>	56,83	57,14	23	573	GAGACCACTGGTCAACCTGTG
<b>Hgf, REVprimer (OL)</b>	55,44	47,62	21		CTGGCATTGATGCCACTCTT
<b>Met, FWDpri- mer (150 bp)</b>	56,06	55	20	217	GGTGTCACCTGCTGGTTTG
<b>Met, REVprimer (150 bp)</b>	56,85	52,38	21	169	CAAGAGGGCAAGCAAACCAAC
<b>Met, FWDpri- mer (500 bp)</b>	55,72	54,55	22	443	CTTCTCCCACCCCCACATATAC
<b>Met, REVprimer (500 bp)</b>	56,93	52,38	21	557	GCTTTTATGAGAGCCGCACG
<b>Met, REVprimer (OL)</b>	54,64	43,48	23	overlap 4 emästä	CGAATGAAATTTCGCAGATCTCC
<b>Axl, FWDprimer (150 bp)</b>	56,02	54,55	22	164	GCCCCAATCAGAGAGGAGTAGG
<b>Axl, REVprimer (150 bp)</b>	57,13	57,14	21	145	CCTCCCAAAGGCTCCAGTTTC
<b>Axl, FWDprimer (500 bp)</b>	57,19	52,38	21	517	GAACAATTAGCAGCTGCGCAG

<b>Axl, REVprimer (500 bp)</b>	57,02	57,14	21	579	CATCTCCTTGCTGGCCTCTC
<b>Axl, REVprimer (OL)</b>	56,12	57,14	21		CAGGTACTCCATACCACTGGC
<b>Nrg1, FWDpri- mer (150 bp)</b>	56,35	60	20	106	CTCTTGAGCCGTGCTAGAGG
<b>Nrg1, REVpri- mer (150 bp)</b>	56,84	47,83	23	152	GGAAAAAAAGCCAGGGGTTCATG
<b>Nrg1, FWDpri- mer (500 bp)</b>	56,65	57,14	21	510	GCCTCAGGAGTGGGTATTGG
<b>Nrg1, REVpri- mer (500 bp)</b>	57,23	57,14	21	550	CCTTGCAGGTAAGCACTGAGG
<b>Nrg1, REVpri- mer (OL)</b>	55,82	52,38	21		GTTTTCTCCTTCTCCGCACAC

## Designing gRNA:s and PCR primers with Benchling

### 1. Creating a folder and importing the sequence

1. Create project folder by choosing “+” next to “Projects” (or use an already existing project).
2. Name the project and choose parameters in “manage collaborators” as you will. Then create project.
3. Import the sequence of the gene by choosing “+” on the left panel. Then choose “DNA Sequence” and “New DNA sequence”. There are couple of ways how you can import the sequence. For example, you can import the sequence in with file format (convert file) or by searching from external databases. If you choose to use “Search External Databases” you can find the gene for example with genes name or ensemble ID. Save the sequence to folder of choice.

### 2. Designing gRNA1

1. Open the sequence of the gene with left mouse click. You can go straight to the exon of interest from linear map if you use split workspace. You can turn it on from the right down corner. Otherwise, you can also just scroll to the right exon.
2. Open the split workspace on the right down corner if it isn't already activated. Activate the exon of interest with left mouse click.
3. Choose the CRISPR tool from the right and click “DESIGN AND ANALYZE GUIDES” with left mouse click. Check the guide parameters (length: 20, genome: CRCh38(hg38, Homo Sapiens)/CRCm38\_Eensemblerelease\_102(Mus musculus) and PAM: NGG (SpCas9, 3' side)) and click “Finish” from the down right corner. Check that the target is correct and click “+” (create) with left mouse click.
4. Wait until the program has calculated the “Off-Target Score”. Then you can arrange them in the order of magnitude by clicking On-Target / Off-Target Score with left mouse click. Choose the “Guide Sequence” which has the highest combination of On-Target and Off-Target scores and save it to the folder of choice.
5. Assemble the gRNA1 with “Assemble” tool by activating the guide sequence on CRISPR tool. You can use bookmarked plasmids, plasmids from Benchling folders or upload a whole new plasmid. Then choose next. Assemble the gRNA1 to the folder of choice.

### 3. Designing gRNA2

1. Calculate a 500 base pair difference upstream and downstream from the gRNA1.
2. Activate an area around the spot which is 500 base pairs upstream from gRNA1 (for example 400-600 bp). Check the On-Target / Off Target scores with CRISPR tool as shown in *designing gRNA1*.
3. Activate an area around the spot which is 500 base pairs downstream from gRNA1 (for example 400-600 bp). Check the On-Target / Off Target scores with CRISPR tool as shown in *designing gRNA1*.
4. Choose the guide sequence which has the highest On-Target / Off Target score combination upstream **or** downstream.
5. Save the guide sequence to the folder of choice and assemble it as shown in *designing gRNA1*.

### 4. Designing PCR primers

1. Calculate a 500/150 base pair difference upstream and downstream from gRNA1.
2. Find a sequence 500/150 base pairs (bp) upstream (forward primer) and downstream (reverse primer) from gRNA1 which suits the following requirements (parameters can be seen in the bar below when the sequence is activated with left mouse button):
  - primer melting temperature 55-65 °C
  - GC content 45-55%
  - G/C base at the beginning and end of the primer
  - length 18-24 bases
  - maximum 1 °C melting temperature difference between forward and reverse primer.

3. Activate the chosen sequence and create a primer by clicking right mouse button and choose "Create Primer". Then choose "Forward" if you are designing the primer 500/150 bp upstream and "Reverse" if you are designing the primer 500/150 bp downstream from gRNA1. Depending on the gene sequence the requirement might have to be altered. Make sure that the difference is maximum 1 °C between forward and reverse primer which are used together. Save the primer to a folder of choice.
4. Create a reverse primer (same requirements as above) which overlaps 5 bases with gRNA1 at the 3' end. Overlap primer is used with 150 bp forward primer.

**Näytteen nukleotidipitoisuus ja sekvenointitulokset**

Näyte	c (ng/μl)	Sekvenoinnin analysointi
lentiGuide Puro gRNA1, STK11 (1)	439,7	OK
lentiGuide Puro gRNA1, STK11 (2)	512,9	OK
lentiGuide Puro gRNA2, STK11 (1)	442,6	OK
lentiGuide Puro gRNA2, STK11 (2)	437,4	OK
lentiCRISPRv2 gRNA1, STK11 (1)	614	OK
lentiCRISPRv2 gRNA1, STK11 (2)	435,7	OK
lentiCRISPRv2 gRNA2, STK11 (1)	505,7	OK
lentiCRISPRv2 gRNA2, STK11 (2)	364,1	OK
lentiCRISPRv2 gRNA1, ULK1 (1)	241,3	Ei linjaudu
lentiCRISPRv2 gRNA1, ULK1 (2)	440,9	OK
lentiCRISPRv2 gRNA2, ULK1 (1)	618,7	OK

lentiCRISPRv2 gRNA2, ULK1 (2)	223,9	OK
lentiCRISPRv2 gRNA1, STING1 (1)	225,4	OK
lentiCRISPRv2 gRNA1, STING1 (2)	511,4	OK
lentiCRISPRv2 gRNA2, STING1 (1)	63,1	Ei linjaudu
lentiCRISPRv2 gRNA2, STING1 (2)	152,7	OK
lentiCRISPRv2 CRISPR19-IEA (1)	534,9	OK
lentiCRISPRv2 CRISPR19-IEA (2)	590,2	OK
lentiCRISPRv2 gRNA1, Met (1)	581,8	OK
lentiCRISPRv2 gRNA1, Met (2)	324,2	Ei linjaudu
lentiCRISPRv2 gRNA2, Met (1)	642,2	OK
lentiCRISPRv2 gRNA2, Met (2)	642,1	Ei linjaudu
lentiCRISPRv2 gRNA1, Hgf (1)	625,9	OK
lentiCRISPRv2 gRNA1, Hgf (2)	587,4	OK

lentiCRISPRv2 gRNA2, Hgf (1)	621,8	Ei linjaudu
lentiCRISPRv2 gRNA2, Hgf (2)	620,3	OK
lentiCRISPRv2 gRNA1, Ezh2 (1)	751,4	Ei linjaudu
lentiCRISPRv2 gRNA1, Ezh2 (2)	744,4	OK
lentiCRISPRv2 gRNA2, Ezh2 (1)	674	Ei linjaudu
lentiCRISPRv2 gRNA2, Ezh2 (2)	636,1	Ei linjaudu
lentiCRISPRv2 gRNA1, Il11 (1)	640,3	OK
lentiCRISPRv2 gRNA1, Il11 (2)	536,8	OK
lentiCRISPRv2 gRNA2, Il11 (1)	646,7	OK
lentiCRISPRv2 gRNA2, Il11 (2)	601,4	OK
lentiCRISPRv2 gRNA1, Axl (1)	664,5	OK
lentiCRISPRv2 gRNA1, Axl (2)	551,2	OK
lentiCRISPRv2 gRNA2, Axl (1)	644,9	OK

lentiCRISPRv2 gRNA2, Axl (2)	728,6	Ei linjaudu
lentiCRISPRv2 gRNA1, Nrg1 (1)	698,2	OK
lentiCRISPRv2 gRNA1, Nrg1 (2)	336,3	Ei linjaudu
lentiCRISPRv2 gRNA2, Nrg1 (1)	583,9	OK
lentiCRISPRv2 gRNA2, Nrg1 (2)	593,7	OK

## Konstruktien sekvenssit

### STK11

lentiGuide Puro gRNA1, STK11 (1)

TTYSGATTCTTGCTTATATATCTTGTGGAAGGACGAACACCGAGGCCGTTGG-  
CAATCTCGGGGTTTAGAGCTAGAAATAGCAAGTTAAAATAAGGCTAGTCGTTATCAACTTGAAAAAG  
TGGCACCGAGTCGGTGTCTTTAAGCTTGGCGTAACTAGATCTTGAGACAAATGGCAG-  
TATT CATCCACAATTAAAAGAAAAGGGGGGATTGGGGGTACAGTGCAGGGAAAGAATAGTAGA  
CATAA TAGCAACAGACATACAAACTAAAGAATTACAAAACAATTACAAAATT-  
CAAATTTCCGGTTTATTACAGGGACAGCAGAGATCCACTTGGGCCGGCTCGAGGGGCCCG  
GTGCAAAGATGGATAAAAGTTAAACAGAGAGGAATCTTGAGCTAATGGACCTT-  
CTAGGTCTTGAAGGAGTGGGAATTGGCTCCGGTGCCTCGAGTCAGGGCAGAGCGCACATGCCAC  
AGTCCCCGAGAAAGTGGGGGGAGGGGTGGCAATTGATCCGGTGCCTAGAGAAGGTGG-  
CGCGGGGTAACACTGGAAAGTGTGCTGTACTGGCTCCGCCCTTCCCAGGGTGGGGAGAA  
CCGTATATAAGTGCAGTAGTCGCCGTGAACGTTCTTCGCAACGGGTTGCCGC-  
CAGAACACAGGTAAAGTGCCTGTGTGGTCCCGCGGGCCTGGACTCTTACGGTTATGGGCCCTG  
CGTGCCTTGAATTACTCCACCTGGCTGCAGTAGTGTGATTCTTGATCCGAGCTT-  
CGGGTGGAAAGTGGTGGGARAGTTGAGGCTTGCCTTAAGAGGCCCTCGCCTCTGCTGATGAGC  
TGCTGGGCCCTGGCGCCGKGCGAATYTRGTGRGCACTCGCGCCTGGAAAY

lentiGuide Pur gRNA1, STK11 (2)

AYCGAATTCTTGCTTATATATCTTGTGGAAGGACGAACACCGAGGCCGTTGG-  
CAATCTCGGGGTTTAGAGCTAGAAATAGCAAGTTAAAATAAGGCTAGTCGTTATCAACTTGAAAAAG  
TGGCACCGAGTCGGTGTCTTTAAGCTTGGCGTAACTAGATCTTGAGACAAATGGCAG-  
TATT CATCCACAATTAAAAGAAAAGGGGGGATTGGGGGTACAGTGCAGGGAAAGAATAGTAGA  
CATAA TAGCAACAGACATACAAACTAAAGAATTACAAAACAATTACAAAATT-  
CAAATTTCCGGTTTATTACAGGGACAGCAGAGATCCACTTGGGCCGGCTCGAGGGGCCCG  
GTGCAAAGATGGATAAAAGTTAAACAGAGAGGAATCTTGAGCTAATGGACCTT-  
CTAGGTCTTGAAGGAGTGGGAATTGGCTCCGGTGCCTCGAGTCAGGGCAGAGCGCACATGCCAC  
AGTCCCCGAGAAAGTGGGGGGAGGGGTGGCAATTGATCCGGTGCCTAGAGAAGGTGG-  
CGCGGGGTAACACTGGAAAGTGTGCTGTACTGGCTCCGCCCTTCCCAGGGTGGGGAGAA  
CCGTATATAAGTGCAGTAGTCGCCGTGAACGTTCTTCGCAACGGGTTGCCGC-  
CAGAACACAGGTAAAGTGCCTGTGTGGTCCCGCGGGCCTGGCCTCTTACGGTTATGGGCCCTG  
GCGTGCCTTGAATTACTCCACCTGGCTGCAGTAGTGTGATTCTTGATCCGAGCTT-  
CGGGTGGAAAGTGGTGGGAGAGTTGAGGCTTGCCTTAAGAGGCCCTCGCCTCGTGTGAGTGAGG  
CTGCTGGCGCTGGGCAGCGCGTGCATCTGTGCACCTCGCGCTGWYCGCTGCTTCGA-  
WAAGYCTYTAGC

lentiGuide Puro gRNA2, STK11 (1)

AYSATTCTTGCTTTAWATATCTTGTGGAAGGACGAACACCGTTGAGGGG-  
TACAGACCCGGTTTAGAGCTAGRAATAGCAAGTTAAAATAAGGCTAGTCGTTATCAACTTGAAAAA  
GTGGCACCGAGTCGGTGTCTTTAAGCTTGGCGTAACTAGATCTTGAGACAAATGGCAG-  
TATT CATCCACAATTAAAAGAAAAGGGGGGATTGGGGGTACAGTGCAGGGAAAGAATAGTAGA  
CATAA TAGCAACAGACATACAAACTAAAGAATTACAAAACAATTACAAAATT-  
CAAATTTCCGGTTTATTACAGGGACAGCAGAGATCCACTTGGGCCGGCTCGAGGGGCCCG  
GTGCAAAGATGGATAAAAGTTAAACAGAGAGGAATCTTGAGCTAATGGACCTT-  
CTAGGTCTTGAAGGAGTGGGAATTGGCTCCGGTGCCTCGAGTCAGGGCAGAGCGCACATGCCAC  
AGTCCCCGAGAAAGTGGGGGGAGGGGTGGCAATTGATCCGGTGCCTAGAGAAGGTGG-  
CGCGGGGTAACACTGGAAAGTGTGCTGTACTGGCTCCGCCCTTCCCAGGGTGGGGAGAA

CCGTATATAAGTCAGTAGTCGCCGTGAACGTTCTTTCGCAACGGGTTGCCGC-  
 CAGAACACAGTAAGTCCGTGTTGGTCCCGCGGGCTGCCCTTACGGTTATGCCCTGCG  
 TGCCTGATTACTTCACCTGGCTCAGTACGTGATTCTTGATCCGAGCTT-  
 CGGTTGGAAAGTGGTGGGARAGTCGAGTCTTGCCTTAAGAGCCTTCGCTGCTGATGAGCT  
 GCTGGCGCTGGCGCGKGRCGATCTRKGMAMCTTCCCCKGWYTCGCKKGCTTTS

## lentiGuide Puro gRNA2, STK11 (2)

AATSGKATTCTGGCTTATATATCTTGTGAAAGGACGAACACCGTTCGAAGGGG-  
 TACAGACCCGGTTTAGAGCTAGAAATAGCAAGTTAAAATAAGGCTAGTCGTTATCAACTTGAAAAG  
 TGGCACCGAGTCGGTCTTTTAAGCTTGGCTAAGTACAGTCTTGAGACAATGGCAG-  
 TATTCTACCCACAATTAAAAGAAAAGGGGGGATTGGGGGTACAGTGCAGGGAAAGAATAGTAGA  
 CATAATAGCAACAGACATACAAACTAAAGAATTACAAAAACAAATTACAAAAATT-  
 CAAAATTTCGGGTTTATTACAGGGACAGCAGAGATCCACTTGGCCGGCTCGAGGGGGCCCG  
 GTGCAAAGATGGATAAAAGTTAAACAGAGAGGAATCTTGAGCTATGGACCTT-  
 CTAGGTCTTGAAGGAGTGGGAATTGGCTCCGGTGCAGTGGCAGAGCGCACATGCCAC  
 AGTCCCCGAGAAGTGGGGGGAGGGTCGGCAATTGATCCGGTGCCTAGAGAAGGTGG-  
 CGCGGGGTAAGTGGAAAGTGTGCTGTAAGGGCTCCGCTTTCCGAGGGTGGGGAGAA  
 CCGTATATAAGTCAGTAGTCGCCGTGAACTTCTTCCGCAACGGGTTGCCAGACA-  
 CAGGTAAGTGCCTGTTGGTCCCGGGCCTGGCCTTACGGGTATGCCCTGCGTGCCT  
 GAATTACTTCCACCTGGCTCAGTACGTGATTCTGATCCGAGCTT-  
 CGGGTTGGAAAGTGGTGGARAGTCGAGTCTGCCCTAAGGAGCCTTCGCGCTGCTGAGTGA  
 GGCTGCTGGCGCTGGGGCCGCGTGMAATYTAGGKGAMCTCSCCGCCCTGGTTYYCST

## lentiCRISPRv2 gRNA1, STK11 (1)

ATTCGAWTCTGGCTTATATATCTTGTGAAAGGACGAACACCGAGGCCGTTGG-  
 CAATCTCGGGGTTAGAGCTAGAAATAGCAAGTTAAAATAAGGCTAGTCGTTATCAACTTGAAAAG  
 GTGGCACCGAGTCGGTCTTTGAATTGCTAGCTAGGTCTGAAAGGAGTGGAAATTGG-  
 CTCCGGTGCCGTCACTGGGAGAGCGCACATGCCACAGTCCCAGAGAAGTGGGGGGAGGGG  
 TCGGCAATTGATCCGGTGCCTAGAGAAGGTGGCGGGTAAACTGGAAAGTGTGCTG-  
 TACTGGCTCCGCCTTTCCGAGGGTGGGGAGAACCGTATATAAGTCAGTAGTCGCCGTGAACG  
 TTCTTTTCGCAACGGTTGCGCCAGAACACAGGACCGGTTAGAGCCTGACCACCAT-  
 GGACAAGAAGTACAGCATGGCCTGGACATCGGCACCAACTCTGTTGGCTGGCGGTGATCACC  
 CGAGTACAAGGTGCCAGCAAGAAATTCAAGGTGCTGGCAACACCGACCGGACAGCAT-  
 CAAGAAGAACCTGATCGGAGCCCTGCTGTCAGCGGGCAAACAGCCGAGGCCACCGGCTGAA  
 GAGAACCGCCAGAAGAAGATAACCAAGACGGAAGAACCGGATCTGCTATCTGCAAGA-  
 GATCTTCAGCAACGAGATGGCCAAGTGGACGACAGCTTCTCCACAGACTGGAAGAGTCCTCCTGG  
 TGGAAAGAGGATAAGAAGCACGAGCGGACCCATCTCGGCAACATCGTGACGAGTGG-  
 CCTACACGAGAGTACCCCCACCATCTACCACCTGAGAAAGAACTGTGACAGCACCGACAGGCGACTG  
 CGCTGATCTATGCCCTGACCACATGATCAGTCCGGTACTCCTGAATCGAACG

## lentiCRISPRv2 gRNA1, STK11 (2)

ATCGAWTTCTGCCTTATATATCTTGTGAAAGGACGAACACCGAGGCCGTTGG-  
 CAATCTCGGGGTTAGAGCTAGAAATAGCAAGTTAAAATAAGGCTAGTCGTTATCAACTTGAAAAG  
 TGGCACCGAGTCGGTCTTTGAATTGCTAGCTAGGTCTGAAAGGAGTGGAAATTGG-  
 CTCCGGTGCCGTCACTGGGAGAGCGCACATGCCACAGTCCCAGAGAAGTGGGGGGAGGGG  
 TCGGCAATTGATCCGGTGCCTAGAGAAGGTGGCGGGTAAACTGGAAAGTGTGCTG-  
 TACTGGCTCCGCCTTTCCGAGGGTGGGGAGAACCGTATATAAGTCAGTAGTCGCCGTGAACG  
 TTCTTTTCGCAACGGTTGCGCCAGAACACAGGACCGGTTAGAGCCTGACCACCAT-  
 GGACAAGAAGTACAGCATGGCCTGGACATCGGCACCAACTCTGTTGGCTGGCGGTGATCACC  
 CGAGTACAAGGTGCCAGCAAGAAATTCAAGGTGCTGGCAACACCGACCGGACAGCAT-  
 CAAGAAGAACCTGATCGGAGCCCTGCTGTCAGCGGGCAAACAGCCGAGGCCACCGGCTGAA  
 GAGAACCGCCAGAAGAAGATAACCAAGACGGAAGAACCGGATCTGCTATCTGCAAGA-  
 GATCTTCAGCAACGAGATGGCCAAGTGGACGACAGCTTCTCCACAGACTGGAAGAGTCCTCCTGG  
 TGGAAAGAGATAAGAAGCACGAGCGGACCCATCTCGGCAACATCGTGACGAGTGGCCTAC-  
 CACGAGAGTACCCCCACCATCTACCACCTGAGAAAGAACTGGTGACAGCACGACAGCGACTGCGCT  
 GATYTATCTGACCTGACCACATGATCAGTCAGTCGGGCACCTGATCGAGGGGSG

### **lentiCRISPRv2 gRNA2, STK11 (1)**

ATYSAATTCTTGCTTATATATCTTGTGGAAGGACGAAACACCGTTGAAGGGG-  
TACAGACCCGGTTTAGAGCTAGAAATAGCAAGTAAAATAAGGCTAGTCGTTATCAACTGAAAAAG  
TGGCACCGAGTCGGTGCTTTTGATTAGCTAGCTAGGCTTGAAAGGAGTGGGAATTGG-  
CTCCGGTGCCCCGTCACTGGGCAGAGCGCACATGCCAACAGTCCCCGAGAAGTTGGGGGGAGGGG  
TCGGCAATTGATCCGGTGCTAGAGAAGGTGGCGGGGTAACACTGGGAAAGTGATGTCGTG-  
TAECTGGCTCCGCCCTTCCCAGGGTGGGGGAGAACCGTATATAAGTGCAGTAGTCGCCGTGAACG  
TTCTTTTCGCAACGGGTTGCCGCCAGAACACAGGACCGGTTCTAGAGCCTGCCACCAT-  
GGACAAGAAGTACAGCATGGCCTGGACATGGCACCAACTCTGTGGCTGGCCGTGATCACCAGA  
CGAGTACAAGGTGCCAGCAAGAAATTCAAGGTGCTGGCAACACCGACCGGACAGCAT-  
CAAGAAGAACCTGATCGGAGGCCCTGCTTGCACAGCGGGAAACAGCCGAGGCCACCCGGCTGAA  
GAGAACGCCAGAAGAAGATACACCAGACGGAAGAACCGGATCTGCTATCTGCAAGA-  
GATCTTCAGCAACGGAGATGCCAAGTGGACGACAGCTTCTCCACAGACTGCAGAGTCCTCCTGTG  
GAAGAGGATAAGAAGCACGAGCGGCACCCCATCTCGGCACATCGTGCAGAGGTGGCCTAC-  
CAYGAGAGTACCCACATCTACACTGARAAGAAACTGTGACAGCACGACAGCGACTGCGCTGATCT  
ATCTGCTGTCAMTGTAGTCAGTCGGTCMTCTGATCGAGGGKACCTGAACYCGACAACMG

## **lentiCRISPRv2 gRNA2, STK11 (2)**

AWCSSAAWTCTGGCTTWTATATCTTGTGGAAGGACGAACACCGTCGAAGGGG-  
TACAGACCCGGTYYAKAGCTAGAAATAGCAAGTTAAAATAAGGCTAGTCCGTTATCAACTGAAAAAG  
TGGCACCGAGTCGGTGCTTTTGATTAGCCTAGCTAGGCTTGAAAGGAGTGGGAATTGG-  
CTCCGGTGCCCCGTCACTGGCAGAGCGCACATGCCACAGTCCCCGAGAAGTTGGGGGGAGGGG  
TCGGCAATTGATCCGGTGCTAGAGAAGGTGGCGGGGTAACACTGGAAAGTGTATGTCGTG-  
TACTGGCTCCGCCCTTCCCAGGGTGGGGAGAACCGTATATAAGTGCAGTAGTCGCCGTGAACG  
TTCTTTTCGCAACGGGTTGCCGCCAGAACACAGGACCGGTTCTAGAGCGCTGCCACCAT-  
GGACAAGAAGTACAGCATGGCCTGGACATGGCACCAACTCTGTGGCTGGCCGTGATCACCAGA  
CGAGTACAAGGTGCCAGCAAGAAATTCAAGGTGCTGGCAACACCGACCGGACAGCAT-  
CAAGAAGAACCTGATCGGAGCCCTGCTTCGACAGCGGGAAACAGCCGAGGCCACCCGGCTGAA  
GAGAACGCCAGAAGAAGATACACCAGACGGAAGAACCGGATCTGCTATCTGCAAGA-  
GATCTTCAGCAACGGAGATGCCAAGTGGACGACAGCTTCTCCACAGACTGGAGAGTCCTCCTGTG  
GAAGAGGGATAGAACGACGAGCGGCACCCCATCTCGGCACATCGTGGACGAGGKGGCCTAC-  
CACGAGAAGTACCCCACCATCTACCACCTGARAAAGAACTGGTACAGCACGACAAGCGACCTGCGC  
TGATCTATCTGCCCTGACCACATGATCAAGTCCGGGMCTTYCTKGATYC

ULK1

### **lentiCRISPRv2 gRNA1, ULK1 (1)**

TTCSGWWTYYTGGCTTATATATCTTGGAAGGACGAAMACCGGAGACGGTTGAAAT-  
GAGCACACAAMATACACRTGCTAAAATATTATTCATGACCTTATAAAATCAACCAAAATCTTCTTT  
TTAATAACTTAGTATCAATAATTAGAATTTCATGTTCCCTTTGCAAAC-  
TTTAATAAAAATGAGCAAAATAAAAAACGCTAGTTTAGTAACTCGCGTTGTTTCTCACCTTAAT  
AATAGCTACTCCACCACTTGTCTAAAGCGGTCAAGCTCTGCTTCAT-  
CATTGAGCATCTTCAAATGTTCTAACCTCACCAGCTGCTTAACAAAGCATTGCTTTAACAACT  
GACTTCATTAGTTAACATCTTCAAATGTTGCACCTGATTTGAAAATCCTGTTGAT-  
GTTTAACAAATTCTAATCCAGCTTCAACAGCTATTCACAAGCTTCATGATTCTTCTTTGTTAATAA  
ACAATTTCATAATACATTAAACAACATGTGATCCAGCTGCTTTTACAGCTTCAT-  
GTCTTCTAAAACTAATTCTAAATTGTTGCTTTAATGCACCAATATTTAATACCATATCAATTCTGTTG  
CACCCTTTAATTGCTTCAAGAAACTCGAATGCTTGTAGCTGTTGATGCACCTA-  
GAGGAAAACCTACAACATTGTTATTCTACATTGTCCTTTAATAATTCTTACAATAGCTTGTCA  
WATGAATTAAMACAAACTGTTGCAAAATCAAATTCAATTGCTTCATCAMATAATT-  
GTTTAATTCTCAGCTCGTAGCATCTGTTTAAWATGYGTGATCTATATTGTTAGTCATTCTTCTY  
CCTATWATTCMATTAAATTGATCCTGAAAGTTCGGTCCACTTAAC-  
TAGCGTTGAAAMCAGAATC

lentiCRISPRv2 gRNA1, ULK1 (2)

ACCGATTCTGGCTTATATATCTGTGGAAGGACGAACACCGAGACCACCGCGAAGG-CGCCGGTTYYAGAGCTAGAAATAGCAAGTAAAATAAGGCTAGTCGTTATCAACTGAAAAAGTGGCACCGAGTCGGTCTTGAATTGCTAGCTAGGTCTTGAAAGGAGTGGGAATTGG-CTCCGGTCCCCGTCACTGGGCAGAGCGCACATCGCCCACAGTCCCCGAGAAGTTGGGGGGAGGGGTCGGCAATTGATCCGGTGCCTAGAGAAAGGTGGCGGGGTAAACTGGGAAAGTGTGTCGT-TACTGGCTCCGCCTTTTCCCAGGGTGGGGGAGAACCGTATATAAGTGCAGTAGTCGCCGTGAACGTTCTTTCGCAACGGTTTGCCGCCAGAACACAGGACCGGTTCTAGAGCGCTGCCACCAT-GGACAAGAAGTACAGCATCGGCCCTGGACATCGGCACCAACTCTGTGGCTGGCGTGTACCGACGAGTACAAGGTGCCAGCAAGAAATTCAAGGTGCTGGCAACACCGACCGGACAGCAT-CAAGAAGAACCTGATCGGAGCCCTGCTGTTGACAGCGGGGAAACAGCCGAGGGCCACCCGGCTGAAAGAACCGGCCAGAACAGATAACACCAGACGGAAGAACCGGATCTGCTATCTGCAAGA-GATCTTCAGCAACGAGATGGCCRAGTGGACGACAGCTTCTTCACAGACTGGAAGAGTCCTTCCTGGTRGAGAGGATAAGAACGACGAGCGGACCCCATCTCGGCACATCGTGGACGAGTGGCCTAC-CACGAGAGTACCCCCACCATCTACCACTGAGAAAGAACTGTGACAGCACCGACAAGCGACCTGCGCTGATCTATCTGCTGACCACATGATCAGTCGGTCACGTCTGATCGAGGGCAGCTGGACCGA

lentiCRISPRv2 gRNA2, ULK1 (1)

AYSRWWTTCTTGCTTAWTATCTGTGGAAGGACGAAACACCGCAGCGTCTGAGACTTGG-CGGTTTYMKAGCTAGAAATAGCAAGTAAAATAAGGCTAGTCGTTATCAACTGAAAAAGTGGCACC GAGTCGGTCTTTTGAAATTGCTAGCTAGGTCTTGAAAGGAGTGGGAATTGG-CTCCGGTCCCCGTCACTGGGCAGAGCGCACATCGCCCACAGTCCCCGAGAAGTTGGGGGGAGGGGTCGGCAATTGATCCGGTGCCTAGAGAAAGGTGGCGGGGTAAACTGGGAAAGTGTGTCGT-TACTGGCTCCGCCTTTTCCCAGGGTGGGGGAGAACCGTATATAAGTGCAGTAGTCGCCGTGAACGTTCTTTCGCAACGGTTTGCCGCCAGAACACAGGACCGGTTCTAGAGCGCTGCCACCAT-GGACAAGAAGTACAGCATCGGCCCTGGACATCGGCACCAACTCTGTGGCTGGCGTGTACCGACGAGTACAAGGTGCCAGCAAGAAATTCAAGGTGCTGGCAACACCGACCGGACAGCAT-CAAGAAGAACCTGATCGGAGCCCTGCTGTTGACAGCGGGGAAACAGCCGAGGGCCACCCGGCTGAAAGAACCGGCCAGAACAGATAACACCAGACGGAAGAACCGGATCTGCTATCTGCAAGA-GATCTTCAGCAACGAGATGGCCAAGTGGACGACAGCTTCTTCACAGACTGGAAGAGTCCTTCCTGGTGAGAGGATAAGAACGACGAGCGGGACCCCATCTCGGCACATCGTGGACGAGTGGCCTAC-CACGAGAGTACCCCCAYCATCTACCACTGAGAAAGAAACTGGTGGAACAGCACCGACAGCCGACC TCGCCTGAATCTATCTGCCGGCCACATGATCAAGTTCGGTCAMTCTGATCGAGGGCSAC-CTGAACCGGAMAAMAAG

lentiCRISPRv2 gRNA2, ULK1 (2)

AYYGATTCTGGCTTATATATCTGTGGAAGGACGWAACACCGCAGCGTCTGAGACTTGG-CGGTTTMAGCTAGAAATAGCAAGTAAAATAAGGCTAGTCGTTATCAACTGAAAAAGTGGCACC GAGTCGGTCTTTTGAAATTGCTAGCTAGGTCTTGAAAGGAGTGGGAATTGG-CTCCGGTCCCCGTCACTGGGCAGAGCGCACATCGCCCACAGTCCCCGAGAAGTTGGGGGGAGGGGTCGGCAATTGATCCGGTGCCTAGAGAAAGGTGGCGGGGTAAACTGGGAAAGTGTGTCGT-TACTGGCTCCGCCTTTTCCCAGGGTGGGGGAGAACCGTATATAAGTGCAGTAGTCGCCGTGAACGTTCTTTCGCAACGGTTTGCCGCCAGAACACAGGACCGGTTCTAGAGCGCTGCCACCAT-GGACAAGAAGTACAGCATCGGCCCTGGACATCGGCACCAACTCTGTGGCTGGCGTGTACCGACGAGTACAAGGTGCCAGCAAGAAATTCAAGGTGCTGGCAACACCGACCGGACAGCAT-CAAGAAGAACCTGATCGGAGCCCTGCTGTTGACAGCGGGGAAACAGCCGAGGGCCACCCGGCTGAAAGAACCGGCCAGAACAGATAACACCAGACGGAAGAACCGGATCTGCTATCTGCAAGA-GATCTTCAGCAACGAGATGGCCAAGTGGACGACAGCTTCTTCACAGACTRGAAGAGTCCTTCCTGGTGAGAGGATAAGAGCACGAGCGGGACCCCATCTCGCACATCGTGGACGAGTGGCCTACACGA-GAGTACCCCCACCATCTACACTGAGAAAGAACTGTGGACMGCACGACAAGCGACTGCGCTGATCTATCTGCTGCCACATGATCAAGTTCGGGTCCACTTCCTGWTGAG

**STING1**

lentiCRISPRv2 gRNA1, STING1 (1)

CYSATTYTGGCTTTATATCTTGTGGAAGGACGAACACCGCATATTACATCGGA-TATCTGGTTTAGAGCTAGAAATAGCAAGTTAAAATAAGGCTAGTCGTTATCAACTGAAAAAGTGGC-ACCGAGTCGGTGCTTTTGAAATTGCTAGCTAGGCTTGAAGGGAGTGGGAAATTGG-CTCCGGTGCCGTCACTGGGCAGAGCGCACATGCCACAGTCCCAGAGAAGTGGGGAGGGGTCGGCAATTGATCCGGTGCCTAGAGAAGGTGGCGCGGGTAAACTGGAAAGTGTGCGT-GTACTGGCTCCGCCTTTTCCCAGGGTGGGGAGAACCGTATATAAGTGCAGTAGTCGCGTGAACGTTCTTCGCAACGGGTTGCGCCAGAACACAGGACCGGTTAGAGCCTGCGTGCACCAT-GGACAAGAAGTACAGCATGGCCTGGACATCGGCACCAACTCTGTGGCTGGCGTGTGACCGA-CGAGTACAAGGTGCCAGCAAGAAATTCAAGGTGCTGGCAACACCGACCGGACAGCAT-CAAGAAGAACCTGATCGGAGCCCTGCTGTCAGCAGCGGAAACAGCCGAGGGCACCCGGCTGAA-GAGAACCGCCAGAACAGAAGATACACCAGACGGAAGAACCGGATCTGCTATCTGCAAGA-GATCTTCAGCAACGAGATGGCAAAGTGCAGACAGCTTCTCACAGACTGGAAGAGTCCTCCTGGTGGAAAGAGGATAAGAACGACGAGCGGACCCYCATCTGGCAACATCGTGGACGAGGTGG-CTACACGAGAGTACCCCACCATCTACCMCTGAAAAGAAACTGGTGAACAGCACCGACAGCGAAGTGCCTGATCATCTGCCTGACCACATGATCAGTCGGGGCCMAC

lentiCRISPRv2 gRNA1, STING1 (2)

AYSAWTTCTGTCTTTATATCTTGTGGAAGGACGAACACCGCATATTACATCGGA-TATCTGGTTTAGAGCTAGAAATAGCAAGTTAAAATAAGGCTAGTCGTTATCAACTGAAAAAGTGGC-ACCGAGTCGGTGCTTTTGAAATTGCTAGCTAGGCTTGAAGGGAGTGGGAAATTGG-CTCCGGTGCCGTCACTGGGCAGAGCGCACATGCCACAGTCCCAGAGAAGTGGGGAGGGGTCGGCAATTGATCCGGTGCCTAGAGAAGGTGGCGCGGGTAAACTGGAAAGTGTGCGT-GTACTGGCTCCGCCTTTTCCCAGGGTGGGGAGAACCGTATATAAGTGCAGTAGTCGCGTGAACGTTCTTCGCAACGGGTTGCGCCAGAACACAGGACCGGTTAGAGCCTGCGTGCACCAT-GGACAAGAAGTACAGCATGGCCTGGACATCGGCACCAACTCTGTGGCTGGCGTGTGACCGA-CGAGTACAAGGTGCCAGCAAGAAATTCAAGGTGCTGGCAACACCGACCGGACAGCAT-CAAGAAGAACCTGATCGGAGCCCTGCTGTCAGCAGCGGAAACAGCCGAGGGCACCCGGCTGAA-GAGAACCGCCAGAACAGAAGATACACCAGACGGAAGAACCGGATCTGCTATCTGCAAGA-GATCTTCAGCAACGAGATGGCAAAGTGGACGACAGCTTCTCACAGACTGGAAGAGTCCTCCTGGTGGAAAGAGGATAAGAACGACGAGCGGACCCATCTGGCACATCGKGACGAGGTGG-CCTACACGAGAGTACCCCACATCTACCACTGGAGAAGAACTGTGACAGCACGACAGCGACCTGCGCTGGATCATCTGCCTGCCACATGATCAGTCGGTMMCTKATYSARGGGC

lentiCRISPRv2 gRNA2, STING1 (1)

NNNNN

lentiCRISPRv2 gRNA2, STING1 (2)

ATYAAATTYYTTGGCTTTATATCTTGTGGAAGGACGAACACCGCTGTCACTCACAGGTAC-CGGTTTAGAGCTAGAAATAGCAAGTTAAAATAAGGCTAGTCGTTATCAACTGAAAAAGTGGCACC-GAGTCGGTGCTTTTGAAATTGCTAGCTAGGCTTGAAGGGAGTGGGAAATTGG-CTCCGGTGCCGTCACTGGGCAGAGCGCACATGCCACAGTCCCAGAGAAGTGGGGAGGGGTCGGCAATTGATCCGGTGCCTAGAGAAGGTGGCGGGGTAACACTGGAAAGTGTGCGT-GTACTGGCTCCGCCTTTTCCCAGGGTGGGGAGAACCGTATATAAGTGCAGTAGTCGCGTGAACGTTCTTCGCAACGGGTTGCGCCAGAACACAGGACCGGTTAGAGCCTGCGTGCACCAT-GGACAAGAAGTACAGCATGGCCTGGACATCGGCACCAACTCTGTGGCTGGCGTGTGACCGA-CGAGTACAAGGTGCCAGCAAGAAATTCAAGGTGCTGGCAACACCGACCGGACAGCAT-CAAGAAGAACCTGATCGGAGCCCTGCTGTCAGCAGCGGAAACAGCCGAGGGCACCCGGCTGAA-GAGAACCGCCAGAACAGAAGATACACCAGACGGAAGAACCGGATCTGCTATCTGCAAGA-GATCTTCAGCAACGAGATGGCAAAGTGGACGACAGCTTCTCACAGACTGGAAGAGTCCTCCTGGTRGAAGAGGATAAGAACGACGAGCGGACCCATCTGGCACATCGTGGACGAGGTGG-CCTACACGAGAGTACCCMTATTCTACCACTGGAGAAGAACTGTGAMGCACGACAAGCGACTGCGCTGAATCTTWYTGGGCCCTGGCMMATGGAWTCAAGTTCCGGGGTC

**CRISPR19-IEA**

lentiCRISPRv2 CRISPR19-IEA (1)

CTCSAWTTCTGGCTTATATCTTGAGGACGAACACCGCGCGA-TAGCGCGAATATACTGTTAGAGCTAGAAATAGCAAGTAAAATAAGGCTAGTCGTTATCAACTTGAA-AAAGTGGCACCAGTCGGTGTCTTTGAATTGCTAGCTAGGTCTGAAAG-GAGTGGGAATTGGCTCCGGTCCCCGTAGTGGCAGAGCGCACATGCCAACAGTCCCAGAGAAGT-TGGGGGAGGGTGGCAATTGATCCGGTGCCTAGAGAAGGTGGCGCGGGTAAAC-TGGAAAGTGTGATGCTGTACTGGCTCCGCTTTTCCCAGGGTGGGGAGAACCGTATATAAGTG-CAGTAGTCGCCGTGACCGTCTTTGCAACGGGTTGCCGCCAGAACACAGGAC-CGGTTCTAGAGCGCTGCCACCATGGACAAGAAGTACAGCATCGGCCTGGACATCGGCACCAACTCTG-TGGGCTGGCCGTGATCACCAGACTACAAGGTGCCAGCAAGAAATTCAAGGTGCTGGG-CAACACCGACCGGCACAGCATCAAGAAGAACCTGATCGGAGGCCCTGCTGTTGACAGCGCGAAAC-AGCCGAGGCCACCCGGCTGAAGAGAACCGCCAGAACAGAAGATACACCAGACCGGAAGAACCG-GATCTGCTATCTGCAAGAGATCTTCAGCAACGAGATGGCCAAGGTGGACGACAGCTTCCACAGA-CTGGAAGAGTCCTCTGGTGGAGAGATAGAACGACGAGCGACCCATCTT-CGCAACATCGTGACGAGTGCCTACCACGAGAGTACCCACATYTACCACTGARAAAGAAACTGTG-AMAGCACCGACAGCCGACCTGCGCTGATCTGCCCCGACCATGATCAGTCGGTC-CATCTGATCGAGGCGACTKGAAACCCGAMAAMCATS

lentiCRISPRv2 CRISPR19-IEA (2)

ATCGATTTCTGGCTTATATATCTTGAGGACGAACACCGCGCGA-TAGCGCGAATATACTGTTAGAGCTAGAAATAGCAAGTAAAATAAGGCTAGTCGTTATCAACTTGAA-AAAGTGGCACCAGTCGGTGTCTTTGAATTGCTAGCTAGGTCTGAAAG-GAGTGGGAATTGGCTCCGGTCCCCGTAGTGGCAGAGCGCACATGCCAACAGTCCCAGAGAAGT-TGGGGGAGGGTGGCAATTGATCCGGTGCCTAGAGAAGGTGGCGCGGGTAAAC-TGGAAAGTGTGATGCTGTACTGGCTCCGCTTTTCCCAGGGTGGGGAGAACCGTATATAAGTG-CAGTAGTCGCCGTGACCGTCTTTGCAACGGGTTGCCGCCAGAACACAGGAC-CGGTTCTAGAGCGCTGCCACCATGGACAAGAAGTACAGCATCGGCCTGGACATCGGCACCAACTCTG-TGGGCTGGCCGTGATCACCAGACTACAAGGTGCCAGCAAGAAATTCAAGGTGCTGGG-CAACACCGACCGGCACAGCATCAAGAAGAACCTGATCGGAGGCCCTGCTGTTGACAGCGCGAAAC-AGCCGAGGCCACCCGGCTGAAGAGAACCGCCAGAACAGAAGATACACCAGACCGGAAGAACCG-GATCTGCTATCTGCAAGAGATCTTCAGCAACGAGATGGCCAAGGTGGACGACAGCTTCCACAGA-CTGGAAGAGTCCTCTGGTGGAGAGGATAAGAACGACGAGCGACCCATCTT-CGCAACATCGTGACGAGTGCCTACCACGAGAGTACCCACCATCTACCACCTGARAAAGAAACTGGKG-ACAGCAGCACAGGCAGTGCCTGATCTGCCCCGACATGAT-CAAGTCGGTCACGTCTGATCGAGGCGACTKGACCCGAMACACGGSWACGT

**Met**

lentiCRISPRv2 gRNA1, Met (1)

ATSYATTCTGTCTTATATCTTGAGGACGAACACCGCTCCATGCTTCATA-TAGGGCGTTYAGAGCTAGAAATAGCAAGTAAAATAAGGCTAGTCGTTATCAACTGAAAAGTGG-CACCGAGTCGGTGTCTTTGAATTGCTAGCTAGGTCTGAAAGGAGTGGGAATTGG-CTCCGGTGCCGTAGTGGCAGAGCGCACATGCCAACAGTCCCAGAGAAGTGGGGAGGGG-TCGGCAATTGATCCGGTGCCTAGAGAAGGTGGCGCGGGTAAACTGGAAAGTGTGCTG-TACTGGCTCCGCTTTTCCCAGGGTGGGGAGAACCGTATATAAGTCAGTAGTCGCCGTGAAAG-TTCTTTTCGCAACGGGTTGCCAGAACACAGGACCGGTTAGAGCGCTGCCACCAT-GGACAAGAAGTACAGCATGCCCTGGACATCGGCACCAACTCTGTTGGCTGGCCGTGATCACCAGA-CGAGTACAAGGTGCCAGCAAGAAATTCAAGGTGCTGGCAACACCGACCGCACAGCAT-CAAGAAGAACCTGATCGGAGCCCTGCTGTCAGCGGGCAAACAGCCGAGGCACCCGGCTGAA-GAGAACCGCCAGAACAGAAGATACACCAGACCGGAAGAACCGGATCTGCTATCTGCAAGA-GATCTTCAGCAACGAGATGGCCAAGTGGACGACAGCTTCCACAGACTGGAGAGTCCCTGGTGG-GGAGAGGATAAGAACGCMCGAGCGGCACCCCATCTCGCAACATCGTGGACGAGGTGG-CCTACACGAGAAGTACCCACCATCTACCACCTGAGAACAGAAGACTGGTGGAACACGACGACAGCGAC-TGGCGCTGATCTGCTGACCMATGATCAGTCGGTCMCCTYCTGKAMTCGAGGGG

lentiCRISPRv2 gRNA1, Met (2)

ATCGATTCTTGTCTTATATCTTGAGGACGAAACACCGCTCCATGCTTCATA-TAGGGCGTGGYCGGAGGTCGTGTCACGAACCTCCGGGACGCCCTCCGGGCCCATGACCGAGA-TCGGCGAGCAGCCGTGGGGCGGGAGTTCGCCCTGCGCACCCGGCCGGCAACTGCGTGCAC-TTCGTGGCCGAGGAGCAGGACTGACACGTGCTACCGAGATTGATTCACCGCCGCCTCTATGAAA-GGTTGGGCTTCGGAATCGTTTCCGGGACGCCGGCTGGATGATCCTCCAGCGCAGGGATCT-CATGCTGGAGTTCTCGCCCACCCCACTTGTATTGCAGCTTATAATGGTACAAATAAGCAATAG-CATCACAAATTTCACAAATAAGCATTTTCACTGCATTCTAGTTGTGGTTGTCCAAC-TCATCAATGTATCTTATCATGTGTATACCGTCGACCTCTAGCTAGAGCTTGGCGTAATCATGGTCAT-AGCTGTTCTGTGAAATTGTTATCCGTCACAATTCCACA-CAACATACGAGCCGGAAGCATAAAGTGTAAAGCCTGGGGTGCCTAATGAGTGAGCTAACACATT-AATTGCGTTGCGCTCACTGCCCGCTTCCAGTCGGAAACCTGTCGTGCCAGCTGCATTAAT-GAATCGGCCAACGCGCGGGGAGAGGGCGTTGCGTATTGGCGCTCTCCGCTTCCCGCTCACTG-ACTCGCTGCGCTCGGTGCTCGCGAGCGGTATCAGCTCMCTCAAGGCAG-TAATACGGTTATCCACAGAATCAGGGAWAACCGCAGAAAGAACATGTGGAGCAAAGCCAGCAAATGC-CAGTACCGTAAAAGCCGCGTGCCTCATAGGCTCCSCCCCTGACAGCTCCAAATCGG-MASSCTYCAAGTTCC

lentiCRISPRv2 gRNA2, Met (1)

TMYTSYCYYSKMMSSSTMWATRTCTYGTGSAMAGGACGAACACCGCCGCTCTG-TAACATCCATGTTTAKWKYTAGAAATAGCAAGTAAAATAAGGCTAGYCCGTTATCAACTTGAAAAG-TGGCACCGAGTCGGTGCTTTTGAATTGCTAGCTAGGTCTGAAAGGAGTGGAAATTGG-CTCCGGTGCCGTCAGTGGCAGAGCGCACATGCCACAGTCCCCGAGAAGTGGGGGGAGGGG-TCGGCAATTGATCCGGTGCCTAGAGAAGGTGGCGCGGGTAAACTGGAAAGTGTGCGT-TACTGGCTCCGCCTTTTCCGAGGGTGGGGAGAACCGTATATAAGTGCAGTAGTCGCCGTGAAACG-TTCTTTTCGCAACGGTTGCGCCAGAACACAGGACCGGTTCTAGAGCCTGCACCAC-GGACAAGAAGTACAGCATGGCCTGGACATCGGCACCAACTCTGTTGGCTGGCGTGTACCGGA-CGAGTACAAGGTGCCAGCAAGAAATTCAAGGTGCTGGCAACACCGACCCGGCACAGCAT-CAAGAAGAACCTGATGGAGCCCTGCTGTCAGACGGCGAAACAGCCGAGGGCACCCGGCTGAA-GAGAACCGGCCAGAAGAAGATACACCAGACGGAAGAACCGGATCTGCTATCTGCAAGA-GATCTTCAGCAACGAGATGGGCAAGTGGACGACAGCTTCCACAGACTGGAGAGTCCTTCCCTGG-TGGAAGAGATAGAACGACGAGCGGCACCCATCTGCAACATCGTGGACGAGGTGCTACACGA-GAGTACCCACATCTACCMCTGAAAGRAACTGTGGACGCCACGACAGGCGAACTGCGCTGATYTATY-TGCCTGACCCAATGATCAGTTCCGGTCACTCCKGATCGAGGGGACCTGGAATCCSGCA

lentiCRISPRv2 gRNA2, Met (2)

AYGWATTTCTGACTTATATCTTGAGGACGAACACCGGAGACGGTTGAAAT-GAGCACACAMMMTACACATGCTAAAATATTATATTCTATGACCTTATAAAATCAACCAAATCTCTTT-TTAATAACTTGTATCAATAATTAGAATTGTTATGTTCTTTGCAAAC-TTTAATAAAAATGAGCAAAATAAAAACGCTAGTTTAGTAACTCGCCTGTTTCTCACCTTAAT-AATAGCTACTCCACCACTTGTCTCAAGCGGTCAAGCTCCTGCTTCAAT-CATTTTGAGCATCTCAAATGTTCAACTCCACCAAGCTGCTTAACAAAGCATTGCTTTAACACT-GACTTCATTAGTTAACATCTCAAATGTTGACCTGATTTGAAAATCCTGTTGAT-GTTTAACAAATTCTAATCCAGCTTCAACAGCTATTCAACAGCTTCAAGCTTCTGTTGATTTGAAACATTTCTCATAATACATTAAACACATGTGATCCAGCTGCTTTTACAGCTTCAAT-GTCTTCTAAAATCAATTCTGTTTAAATGCAACCAATATTAAACCATATCAATTCTGTTG-CACCATCTTAAATTGCTTCAAGAAACTCGAATGCTTTGAGCTGTTGCTGACCTA-GAGGAAAACCTAMAACATTGTTATTCTACATTGTCCTTTAATAATTCTTACATAGCTGTCATAT-GAATTAACACAAACTGTTGCAAATCAATTGCTCATCMCAWAATTGTTATTGAGCTTCG-TAGCATCTGTTAKATGGGGGATCATAWTTGTAAGTCATTTCGGWCATTCTGATGAATCTAAAT-CGCCACTTACTASGTTGAACARWTTCCCCA

Hgf

lentiCRISPRv2 gRNA1, Hgf (1)

CTACYGAATTYYTTGGCTTTATATATCTTGTGGAGGGACGAACACCGACGGTATCCATCAC-TAAGAGGTTTASAGCTAGAAATAGCAAGTTAAAATAAGGCTAGTCGTTATCAACTTGAAAGAAGTGGCACCGAGTCGGTGCTTTTGAATTCGCTAGCTAGGTCTTGAAGAGGTGGGAATTGG-CTCCGGTGCCCGTCAGTGGGCAGAGCGCACATGCCAACAGTCCCAGAGAAGTGGGGAGGGGTCGGCAATTGATCCGGTGCCTAGAGAAGGTGGCGCGGGTAAACTGGAAAGTGTGCGTGT-TACTGGCTCCGCCTTTTCCCAGGGTGGGGAGAACCGTATATAAGTGCAGTAGTCGCCGTGAACGTTCTTTCGCAACGGTTGCCCAGAACACAGGACCGGTTAGAGCCTGACCACCAT-GGACAAGAAGTACAGCATGGCCTGGACATCGGCACCAACTCTGTGGCTGGCCGTGATACCGACGAGTACAAGGTGCCAGCAAGAAATTCAAGGTGCTGGCAACACCGACCGCACAGCAT-CAAGAAGAACCTGATCGGAGCCCTGCTGACAGCAGAACAGCCGAGGGCACCCGGCTGAGAGAACACGCCAGAAGAGATAACACCAGACGAAGAACCGGATCTGCTATCTGCAAGAGATCTT-CAGCAACGAGATGGCCAAGTGGACGACAGCTTCCACAGACTGGAAGAGTCCTCTGTGAGAGTAGAAGCMCGAGCGCACCCATCTCGGACAMATCGKGACGAGTGCTACACGAGAG-TACCCCCMCATCTACACTGAAARGACTGTGAACGCACCGACAGCCGACTGCGCTGWTCTATCTGTCTACCCATGATCAGTGGCGTCCACTCCTGGATGCGAGGGCTACT

lentiCRISPRv2 gRNA1, Hgf (2)

AYCAWTTTYTTGGCTTTATATCTTGTGGAAGGACGAACACCGACGGTATCCATCACTRA-GAGGTTTATAGAGCTAGRAATAGCAAGTTAAAATAAGGCTAGTCGTTATCAACTTGAAAGAAGTGGCACCGAGTCGGTGCTTTTGAATTCGCTAGCTAGGTCTTGAAGAGGTGGGAATTGG-CTCCGGTGCCCGTCAGTGGGCAGAGCGCACATGCCAACAGTCCCAGAGAAGTGGGGAGGGGTCGGCAWTTGATCCGGTGCCTASAGAAGGTGGCGCGGGTRAECTGGAAAGTGTGCGTGT-TACTGGCTCCGCCTTTTCCCAGGGTGGGGAGAACCGTATATAAGTGCAGTAGTCGCCGTGAACGTTCTTTCGCAACGGTTGCCCGRGACACAGGACCGGKCTAGAGCCTGACCACCAT-GGACAAGAAGTACAGCATCGGYCTGSACATGGCACCAACTCTGTGGCTGGCCGTGATACCGACGAGTACAAGKTGCCAGCWAGAAATTCAAGGTGCTGGCAACACCGACCGCACAGCAT-CAAGAAGAACCTGATCGGAGGCCCTGCTGTTGACAGCAGGAAACAGCCGAGGGCACCCGGCTGAAAGAACCGCCAGATKAAGATAWCYAGACCGAAGAACSCGGATCTGCTATCTGCAAGA-GATCTTCAGCAWCGAGATGGTCAAGTGSACGAYAGCTTKCTTCCACAGACTGGCAKAGTCCTTCTGTGATGAGGATAAGAACGACGAGCCACCCATCWTGCAWCRTCGTGGACGAGGTGG-CCTACAYGAGAGTACCCACCATTCTAGCYACTGAAAGAACYCTGGTGMATGGCAYGACAGCTGAWCTTGCCTGATCTATCTGGTCATGTCTACTGGATCAGTCCGGTCCACTTCTKATCGAAGGGY-GAACCTGGAATCTCGCA

lentiCRISPRv2 gRNA2, Hgf (1)

AWCGAWTTCTGGCTTTATATATCTTGTGGAAGGACGAACACCGTTTACACAGGTTGAC-CAGGYTYYMGAGCTAGAAATAGCAAGTTAAAATAAGGCTAGTCGTTATCAACTTGAAAGAAGTGGCACCGAGTCGGTGCTTTTGAATTCGCTAGCTAGGTCTTGAAGAGGTGGGAATTGG-CTCCGGTGCCCGTCAGTGGGCAGAGCGCACATGCCAACAGTCCCAGAGAAGTGGGGAGGGGTCGGCAATTGATCCGGTGCCTAGAGAAGGTGGCGCGGGTAAACTGGAAAGTGTGCGTGT-TACTGGCTCCGCCTTTTCCCAGGGTGGGGAGAACCGTATATAAGTGCAGTAGTCGCCGTGAACGTTCTTTCGCAACGGTTGCCCAGAACACAGGACCGGTTCTAGAGCCTGACCACCAT-GGACAAGAAGTACAGCATGGCCTGGACATCGGCACCAACTCTGTGGCTGGCCGTGATACCGACGAGTACAAGGTGCCAGCAAGAAATTCAAGGTGCTGGCAACACCGACCGCACAGCAT-CAAGAAGAACCTGATCGGAGGCCCTGCTGTTGACAGCAGGAAACAGCCGAGGGCACCCGGCTGAGAACACGCCAGAAGAAGATAACACCAGACGAAGAACCGGATCTGCTATCTGCAAGAGATCTT-CAGCAACGAGATGGCCAAGTGGACGACAGCTTCCACAGACTGGAGAGTCCTCTGGTGAAGAGGATAGAGCACGAGCGCACCCATCTCGGCACATCGKGACGAGGTGGCTACACGAGAG-TACCCCCACCATCTACACTGAGAAAGRAACTGGKGGAMCGCACCGACCGAGCGAACTGGCGCTGATCTA TCTGGCTGACACTGATCAGTCCGGTCMATTCTGTATTGAGGGCGCACCTGTGA

lentiCRISPRv2 gRNA2, Hgf (2)

AYCSATTCTGACTTATATCTTGTGGAAGGACGAACACCGTTAACACAGGTTGAC-  
CAGGTTTYAGAGCTAGAAATAGCAAGTAAATAAGGCTAGTCGTTATCAACTTGAAGAAAGTGGCAC  
CGAGTCGGTGCTTTTGATTAGCTAGCTAGGTCTGAAAGGAGTGGGAATTGG-  
CTCCGGTCCCCGTAGTGGCAGAGCGCACATCGCCCACAGTCCCAGAGAAGTGGGGGGAGGGG  
TCGGCAATTGATCCGGTGCCTAGAGAAAGGTGGCGGGGTAACACTGGAAAGTGTGCGT-  
TACTGGCTCCGCCTTTCCCAGGGTGGGGAGAACCGTATATAAGTGCAGTAGTCGCCGTGAACG  
TTCTTTTCGCAACGGTTGCCAGAACACAGGACCGTTCTAGAGCGCTGCCACCAC-  
GGACAAGAAGTACAGCATCGGCCCTGGACATCGGCACCAACTCTGTTGCTGGGCCGTGATACCGA  
CGAGTACAAGGTGCCAGCAAGAAATTCAAGGTGCTGGCAACACCGACCGCACAGCAT-  
CAAGAAGAACCTGATCGGAGCCCTGCTGTCAGCGGGGAAACAGCCGAGGCCACCCGGCTGAA  
GAGAACCGCCAGAGAAAGATAACACAGACGGAAGAACCGGATCTGCTATCTGCAAGAGATCTT-  
CAGCAACGAGATGGCCAGGTGGACGACAGCTCTTCCACAGACTGGAAGAGTCCTCCTGGCTACACGA-  
AGGATAGAGCACGAGCGGACCCCATCTGGCAACATCGKGGACGAGGTGGCTACACGA-  
GAAGTACCCCCACCATCTACCACTGAAAAGAACTGGTGGAMGCACGACAGCCGAACGCGCTGATCT  
ATCTGTCCTGGCCATGATCAGTCCGGTACTTCCTKAATCAGGGCTAC

## Ezh2

lentiCRISPRv2 gRNA1, Ezh2 (1)

GSCYYWWMKARTTSTTKCTYCTATAYATMTTGTGKCMGGACGTATAAYCGCGA-  
GACGGYTGTWAATGAGCACACCAAATACWCWTGCTAAAYATTATATYCTATGACCTTATAAAATCA  
ACCAAAATCTTCTTTTAATAACTTTAGTATCAATAATTARAATTTTAT-  
GTTCCCTTTTGCAAACCTTTAATAAAATGAGCAAATAAAAAACGCTAGTTTAGTAACTCGCGTTGT  
TTTCTTCACCTTAATAATASCTACTCCACCACTTGTCTCAAGCGGTCAAGCTCCTGCTT-  
CAATCATTTTGAGCATCTCAAATGTTCAACTCCACCGAGCTGCTTAACTAAAGCATTGTCTTAAC  
AACTGACTTCATTAKTTAACATCTTCAAATGTTGCACCTGATTGAAAATCCTGTTGAT-  
GTTTAACAAATTCTAATCCAGCTTCAAACAGCTATTTCACAAGCTTCTGATTTCCTTTGTTAATAA  
ACAATTTCATAATACATTAAACAACATGTGATCCAGCTGCTTTTACAGCTTCT-  
GTCTCTAAAACTAATTCTAATTGTTCTGTTAAATGCAACCAATATTAAATACCATATCAATTCTGTTG  
CACCATCTTAAATGCTTCAGAAACATTCKAATGTTGTAGCTGTTGCTGATGACACTA-  
GAGGAAAACCTACAACATTGTTATTCTACATTGTCCTTTAATAATTCTTACAATAGCTTGTCA  
ATATGAATTAACACAAACTGTYGCAAATCAATTCAATTGCTTCACTACATAATTGT-  
TATTCAGCTTCGTAGCATCTGTTATAATGTTGATCTAWATTGTTAGTCATAATTCTCAWATT  
CATTTATTGATTCTACATTTCGCTACTTGAWCCTAACGGTTAGAACGATTGCTGAACCGTATC

lentiCRISPRv2 gRNA1, Ezh2 (2)

TCCCSGTTCKWTTYTTGGCTTATATATCTTGTGGAAGGACGAWACACCGCTGAAAC-  
CTTAAACCAAGAGGTTTAGAGCTAGAAATAGCAAGTAAAMATAAGGCTAGTCGTTATCAACTTGAAGA  
AAGTGGCACCGAGTCGGTCTTTTGATTAGCTAGCTAGGTCTGAAAGGAGTGGGAATT-  
GGCTCCGGTCCCCGTAGTGGCAGAGCGCACATCGCCCACAGTCCCAGAGAAGTGGGGGGAGG  
GGTCGGCAATTGATCCGGTGCCTAGAGAAAGGTGGCGGGGTAACACTGGAAAGTGT-  
GTCGTGTACTGGCTCCGCTTTCCCGAGGGTGGGGAGAACCGTATATAAGTGCAGTAGTCGCCG  
TGAACGTTCTTTCGAACGGTTGCCAGAACACWGAGCCGTTCTAGAGCGCTGC-  
CACCATGGACAAGAAGTACAGCATCGGCCTGGACATCGGCACCAACTCTGTTGCTGGCCGTGAT  
CACCGACGAGTACAAGGTGCCAGCAAGAAATTWAGGTGCTGGCAACACCGACCGCA-  
CAGCATCAAGAAGAACCTGATCGGAGCCCTGCTGTCAGCGGGGAAACAGCCGAGGCCACCCG  
GCTGAAGAGAACCGCCAGAACAGAGATACACCAGACGGAAGAACCG-  
GATCTGCTATCTGCAAGAGATCTTCAGCAACGAGATGGCCAAGTGGACGACAGCTTCTTCCACAGAC  
TGGAAAGAGTCCTCCTGGTGGAGAGGATAGAGCAGCGAGCCACCCATCTTCGG-  
CAACATCGTGGACGAGTGCCTACACGAGAGTACCCACCATCTACACTGAAAAGAAAAGTGGTGA  
MGCACGAMCAGCGACTGCGCTGATCTWCTGACTTGACCAATGATCAGTCCGGTCCACTYYC

## lentiCRISPRv2 gRNA2, Ezh2 (1)

CTYGWATTCTAATTCTGGCTTATATATCTGTGKAAGGACGAACWYCGTAAATCCTCTAG-TAAGGGAGTTTAGAGCTAGAAATAGCAAGTTAAAATAAGGCTAGTCCGTTATCAACTGAAAAAGTG GCACCGAGTCGGTCTTTTGAAATCGCTAGCTAGGTCTTCAAAGGAGTGGGAATTGG-CTCCGGTCCCCGTAGTGGGCAGAGCGCACATGCCAACAGTCCCCGAGAAGTGGGGGGAGGGG TCGGCAATTGATCCGGTGCCTAGAKAAGGTGGCGGGGTAAACTGGGAAAGTGTGATGTCGTG-TACTGGCTCCGCCTTTCCCAGGGTGGGGGAGAACCGTATATAAGTGCAGTAGTCGCCGTGAACG TTCTTTTCGCAACGGTTGCCAGAACACAGGACCGGTTCTAGAGCGCTGCCACCAG-GGACAAGAAGTACAGCATGGCCTGGWCATCGGYACCAACTCTGTGGGCTGGCGTGTACCGA CGAGTACAAGGTGCYCAGCAAGAAATTCAAGGTGCTGGCAACACCGAYCGGCACAGCAT-CAAGAAGAAAYCTGATCGGAGYCTGCTGTCAGCGGGYAAACAGCCGAGGCCACCCGGCTGAA GAGAACYGYCAGAAGAAGATAWCACAGCGGAAGAACCGGATCTGCTATCTGCAAGA-GATYTTCAGCAACGAGATGGCCAAGGTGGACGACAGCTTCCAMAGACTGGAAGAGTCCTTCCT GGTGGAAGAGGATAGAAGCWCGAGCGGYAYCCYCATTTCGGCAACATCGTGGACGAGGTGG-CCTACACGAGAAAGTTACYCTCMTCATTYTATCCACCTGAGAAAGAAACTGGTGGAMCGCATCGACAA GTCGACTTGC GGCTGATCTATYGGACTGACYCACATGATCAAGTTCGGACCMCTTYCTT-GTAWTGCRGGGGCSTA

## lentiCRISPRv2 gRNA2, Ezh2 (2)

AMMWTTTCTTGGCTTATATATCTGTGGAAGGACGAACACCGGAGACGGTTGAAAT-GAGCACACMAMATACACATGCTAAAATATTATATTCTATGACCTTATAAAATCAACCAAATCTTCTTT TTAATAACTTACTGATCTAAATAATTAGAATTTTATGTTCTTTGCAAAC-TTTAATAAAAATGAGCAAAATAAAAACGCTAGTTTAGTAACTCGCCTTGTGTTCTTACCTTAAAT AATAGCTACTCCACCACTTGTCTCAAATGTTCTAACCTCCACAGCTGCTTAACAAAGCATTGCTTTAACAACT GACTTCATTAGTTAACATCTCAAATGTTGACCTGATTTGAAAATCCTGTTGAT-GTTTAACAAATTCTAATCCAGCTAACAGCTATTCTACAAGCTTCTGATTTCTTGTGTTAAATAA ACAATTTCATAATACATTTAACACATGTGATCCAGCTGCTTTTACAGCTTCTCAT-GTCTCTAAACTAATTCTAAATTGTTCTGCTTAAATGCACCAATATTAAATACCATATCAATTCTGTTG CACCATCTTAAATTGCTCAGAAACTTCGAATGCTTTGAGCTGTTGATGCTGACACTA-GAGGAAAACCTACAACATTGTTATTCTACATTGCTCTTAAATAATTCTTACAATAGCTTGTCA ATATGAATTAACACAAACTGTTGCAAATCAAATTCTGCTTACATCACATAATTGTTAAATT-CAGCTTCGTAGCATCTGTTATAATGKGKGATCTATATTGTTAGTTCATTTGCTAWATATCATT TTAACCTTAATTCTACAAAGTCGGYCACTTACTTAGCSGTTGGCACAGAACATTMACA

## II11

## lentiCRISPRv2 gRNA1, II11 (1)

CCCGAATTGATTTCTTGGCTTATATATCTGTGGAAGGACGAACACCGCAGATA-GAGTCGTTGCCCTGTTTAGAGCTAGAAATAGCAAGTTAAAATAAGGCTAGTCCGTTATCAACTGAA AAAGTGGCACCGAGTCGGTCTTTTGAAATTCGCTAGCTAGGTCTTGAAG-GAGTGGGAATTGGCTCCGGTCCCCGTAGTGGGCAGAGCGCACATGCCAACAGTCCCCGAGAAGT TGGGGGAGGGTGGCAATTGATCCGGTCTAGAGAAGGTGGCGGGGTAAAC-TGGGAAAGTGATGTCGTACTGGCTCCGCTTTCCCAGGGTGGGGGAGAACCGTATATAAGTG CAGTAGTCGCCGTGACGTTCTTCTGCAACGGTTGCGCCAGAACACAGGAC-CGGTTCTAGAGCGCTGCCACCATGGACAAGAAGTACAGCATGCCCTGGACATGGCACCAACTCTG TGGGCTGGCCGTGATCACCAGCGAGTACAAGGTGCCAGCAAGAAATTCAAGGTGCTGG-CAACACCGACCGCACAGCATCAAGAACCTGATCGGAGGCCCTGCTGTTGACAGCGGGCAAC AGCCGAGGCCACCCGGCTGAAGAGAACCGCAGAACAGAACGATACACCAGACGGAAGAACCG-GATCTGCTATCTGCAAGAGATCTTCAGCAACGAGATGGCCAAGGTGGACGACAGCTTCTTCCACAGA CTGGAAGAGTCCTCCTGGTGGAAAGAGGATAAGAACGACGAGCGGCCACCCATCTCGG-CAACATCGTGGACGAGGTGGCTACCCAGAACAGTACCCACCATCTACCACCTGAGAAAGAAACTG GTGGACAGCACCAGACAAGGCCACCTGCGGCTGATCTATCTGGCCCTGGCCCACATGAT-CAAGTCCGGGGCCACTTCTGATCGAGGGCGACCTGAAACCCGACAACAGCGACGTGGACAAGCT GTTCATCCAGCTGGTGCAGACCTACAACCAGCTGTTGAGGAAAACCCCATCAACGC-CAGCGGGTGGACGCCAGGGCATCTGCTGCCAGACTGAGCAAGAGCAGACGGCTGGAAAATCT

GATGCCCGAGCTGCCGGCaaaaaaaaaaATGGCCTGTCGGAAACCTGATTGCCCTGAAC-CGGGGCCTGACCCCCACTTCCGA

lentiCRISPRv2 gRNA1, II11 (2)

CCCGAATTGATTTCTTGGCTTATATCTTGTGGAAAGGACGAAACACCGCAGATA-GAGTCGTTGCCCTGTTTAGAGCTAGAAATAGCAAGTTAAAATAAGGCTAGTCCGTTATCAACTGAA AAAGTGGCACCGAGTCGGTCTTTTGAAATTGCTAGCTAGGTCTTGAAG-GAGTGGGAATTGGCTCCGGTCCCCGTCACTGGGCAGAGCGCACATGCCACAGTCCCAGAAGT TGGGGGAGGGTGGCAATTGATCCGGTGCCTAGAGAAGGTGGCGGGGTAAC-TGGAAAGTGTGATGTGACTGGCTCCGCTTTTCCGAGGGTGGGGGAGAACCGTATATAAGTG CAGTAGTCGCCGTGAACGTTCTTTGCAACGGGTTGCCGCCAGAACACAGGAC-CGGTTCTAGAGCGCTGCCACCATGGACAAGAAGTACAGCATGGCCTGGACATGGCACCAACTCTG TGGGCTGGCCGTGATCACCAGACGACTACAAGGTGCCCAGCAAGAAATTCAAGGTGCTGG-CAACACCGGACCGCACAGCATCAAGAAGAACCTGATCGGAGCCCTGCTGTTGACAGCGGGAAAC AGCCGAGGCCACCCGGCTGAAGAGAACCGCCAGAAGAAGATACACCAGACCGAAGAACCG-GATCTGCTATCTGCAAGAGATCTTCAGCAACGAGATGGCCAAGGTGGACGACAGCTTCTCACAGA CTGGAAGAGTCCTCTGGTGGAAAGAGGATAAGAACGACGAGCGCACCCATCTCGG-CAACATCGTGGACGAGGTGGCTACCACGAGAAGTACCCACCATCTACCACCTGAGAAAGAAACTG GTGGACAGCACCGACAAGGCCACCTGCGGCTGATCTATCTGGCCCTGGCCCACATGAT-CAAGTCCGGGCCACTCCTGATCGAGGGCGACCTGAACCCGACAACAGCGACGTGGACAAGCT GTTCATCCAGCTGGTGCAGACCTACAACCAGCTGTTGAGGAAAACCCATCAACGC-CAGCGCGTGGACGCCAGGGCATCCTGTCGCAAGACTGAGCAAGAACAGACGGCTGGAAAATCT GATGCCCAAGCTGCCGGCAaaaaaaaaaaATGGCCTGTTGGAAAACCTGATT-GCCCTGGACCCGGGGCCACCCCCAATTCAAGAGAAATTCCAACGGCAAGGAGGCCAATGGGGAAACCGGG

lentiCRISPRv2 gRNA2, II11 (1)

GATTYCAWTTCTTGGCTTATATCTTGTGGAAAGGACGAAACACCGCAKCCATTGTACAT-GCCGGGTTTAGAGCTAGAAATAGCAAGTTAAAATAAGGCTAGTCCGTTATCAACTGAAAAAGTGGC ACCGAGTCGGTGCTTTTGAAATTGCTAGCTAGGTCTTGAAGGGAGTGGGAATTGG-CTCCGGTGCCGTCACTGGGCAGAGCGCACATGCCACAGTCCCAGAGAAGTGGGGGAGGGG TCGGCAATTGATCCGGTGCCTAGAGAAGGTGGCGGGGTAACACTGGAAAGTGTGCTG-TACTGGCTCCGCCTTTTCCGAGGGTGGGGAGAACCGTATATAAGTGCAGTAGTCGCCGTGAACG TTCTTTTGCACGGGTTGCCAGAACACAGGACCGGTTCTAGAGCGCTGCCACCAT-GGACAAGAAGTACAGCATGGCCTGGACATCGGACCAACTCTGTCGGCTGGCGGTGATCACCAG CGAGTACAAGGTGCCAGCAAGAWATTCAAGGTGCTGGCAACACCGGACCGCACAGCAT-CAAGAAGAACCTGATCGGAGCCCTGCTGTCGACAGCGGCAAACAGCCGAGGCCACCGGCTGAA GAGAACCGCCAGAAGAAGATACACCAGACCGAAGAACCGGATCTGCTATCTGCAAGA-GATCTCAGCAACGAGATGGYCAAGTGGACGACAGCTTCTCACAGACTGTTGAGAGTCCTCCTGG TGGAAAGAGGATAAGAACGACGAGCGGACCCCATCTCGGCAACATCGTACGAGGTGGAC-TACACGAGAACGATCCCCACATCTACCACTGARAAAGAACTGTTGAMGCACGACAGCGACTGCGCTGA TCTATCTGGACCTGGTCCAMTGAYCAGTCGGCACCTYCTTGAATYGCA

lentiCRISPRv2 gRNA2, II11 (2)

GTTYCGAATTCTTGGCTTATATCTTGTGGAAAGGACGAAACACCGCAGCCATTGTACAT-GCCGGGTTTAGAGCTAGAAATAGCAAGTTAAAATAAGGCTAGTCCGTTATCAACTGAAAAAGTGGC ACCGAGTCGGTGCTTTTGAAATTGCTAGCTAGGTCTTGAAGGGAGTGGGAATTGG-CTCCGGTGCCGTCACTGGGCAGAGCGCACATGCCACAGTCCCAGAGAAGTGGGGGAGGGG TCGGCAATTGATCCGGTGCCTAGAGAAGGTGGCGGGGTAACACTGGAAAGTGTGCTG-TACTGGCTCCGCCTTTTCCGAGGGTGGGGAGAACCGTATATAAGTGCAGTAGTCGCCGTGAACG TTCTTTTGCACGGGTTGCCAGAACACAGGACCGGTTCTAGAGCGCTGCCACCAT-GGACAAGAAGTACAGCATGGCCTGGACATCGGACCAACTCTGTCGGCTGGCGGTGATCACCAG CGAGTACAAGGTGCCAGCAAGAAATTCAAGGTGCTGGCAACACCGGACCGCACAGCAT-CAAGAAGAACCTGATCGGAGCCCTGCTGTCGACAGCGGCAAACAGCCGAGGCCACCGGCTGAA GAGAACCGCCAGAAGAAGATACACCAGACCGAAGAACCGGATCTGCTATCTGCAAGA-GATCTCAGCAACGAGATGGCCAAGTGGACGACAGCTTCCACAGACTGGAAGAGTCCTCCTGG

GTGGAAGAGGATAGAAGCACGAGCGGCACCCCCATCTCGGCACATCGGAACGGAGTGG-  
 CTACCACGAGAGTACCCCCACCATCTACACTGAGAAGAACTGTTGAMGGCACGACAGGGGACTGCG  
 CTGATCTAYAGGCTGCCAMTGATCAGTCGGTCMCTTYCTKAWTCGAGGGCCGA

**Axi**

lentiCRISPRv2 gRNA1, Axi (1)

TCCGTATTGATTCTGGCTTTATATATCTTGTGAAAGGACGAAACACCGTTATGG-  
 CCGACATTGCCAGGTTTAGAGCTAGAAATAGCAAGTAAATAAGGCTAGTCGTTATCAACTTGAA  
 AAGTGGCACCGAGTCGGTCTTTTGAAATTGCTAGCTAGGTCTGAAAGGAGTGGATT-  
 GGCTCCGGTGCCCGTCAGTGGCAGAGCGCACATCGCCCACAGTCCCCGAGAAGTGGGGGAGG  
 GTCCGGCAATTGATCCGGTGCTAGAGAAGGTGGCGGGTAAACTGGAAAGTGAT-  
 GTCGTGTACTGGCTCCGCTTTCCGAGGGTGGGGAGAACCGTATATAAGTGCAGTAGTCGCG  
 TGAACGTTCTTTCGCAACGGGTTGCCAGAACACAGGACGGTTCTAGAGCGCTGC-  
 CACCATGGACAAGAAGTACAGCATCGGCCTGGACATCGGCACCAACTCTGTGGCTGGCGTGT  
 CACCGACGAGTACAAGGTGCCAGCAAGAAATTCAAGGTGCTGGCAACACCGACGGCA-  
 CAGCATCAAGAAGAACCTGATCGGAGGCCCTGCTGTTGACAGCGGGAAACAGCCGAGGCCACCG  
 GCTGAAGAGAACCGCCAGAACAGAAGATACACCAAGACCGAAGAACCG-  
 GATCTGCTATCTGCAAGAGATCTTCAGCAACGAGATGGCAAGGTGGACGACAGCTTCTTCACAGA  
 CTGGAAGAGTCTTCTGGTGGAAAGAGGATAAGAACGACGAGCGGACCCCCATCTTCGG-  
 CAACATCGGGACGGTGGCTTACACCGAGAACAGTACCCCACCATCTACCAACCTGAGAAAGAAACTG  
 GTGGACAGCACCGACAAGGCCACCTGGCTGATCTGAGGGCGACCTGAACCCGACAACAGCGACGTGGACAAGCT  
 CAAGTCCGGGGCCACTTCCTGATCGAGGGCGACCTGAACCCGACAACAGCGACGTGGACAAGCT  
 GTTCATCCAGCTGGTGACGACCTACAACCAAGCTGTTGAGGGAAACCCATCAACGC-  
 CAGCGCGTGGACGCCAGGCCATCCTGCTGCCAGACTGAGCAAGAGCAGACGGCTGGAAAATCT  
 GATCGCCCAGCTGCCGGCAGAAAAAAATGGCCTGTTGGAAACCTGATTGCCCTGAAC-  
 CTGGGCTGACCCCAACTCAGAGCAACTCGACCTGGCGAAGATGCCAAATGGCAGCTGAACAG  
 GGAACCCATACAGAGAACAACTGGAAACCGGGTGGCCAAATGGGAAACAAAAACCCCAAC-  
 TGTTTGGCCCCAAAAACTGGCCAACCCCCCTGGTGTAC

lentiCRISPRv2 gRNA1, Axi (2)

TCCGAATTGATTCTGGCTTTATATATCTTGTGAAAGGACGAAACACCGTTATGG-  
 CCGACATTGCCAGGTTTAGAGCTAGAAATAGCAAGTAAATAAGGCTAGTCGTTATCAACTTGAA  
 AAGTGGCACCGAGTCGGTCTTTTGAAATTGCTAGCTAGGTCTGAAAGGAGTGGATT-  
 GGCTCCGGTGCCCGTCAGTGGCAGAGCGCACATCGCCCACAGTCCCCGAGAAGTGGGGGAGG  
 GTCCGGCAATTGATCCGGTGCTAGAGAAGGTGGCGGGTAAACTGGAAAGTGAT-  
 GTCGTGTACTGGCTCCGCTTTCCGAGGGTGGGGAGAACCGTATATAAGTGCAGTAGTCGCG  
 TGAACGTTCTTTCGCAACGGGTTGCCAGAACACAGGACGGTTCTAGAGCGCTGC-  
 CACCATGGACAAGAAGTACAGCATCGGCCTGGACATCGGCACCAACTCTGTGGCTGGCGTGT  
 CACCGACGAGTACAAGGTGCCAGCAAGAAATTCAAGGTGCTGGCAACACCGACGGCA-  
 CAGCATCAAGAAGAACCTGATCGGAGGCCCTGCTGTTGACAGCGGGAAACAGCCGAGGCCACCG  
 GCTGAAGAGAACCGCCAGAACAGAAGATACACCAAGACCGAAGAACCG-  
 GATCTGCTATCTGCAAGAGATCTTCAGCAACGAGATGGCAAGGTGGACGACAGCTTCTTCACAGA  
 CTGGAAGAGTCTTCTGGTGGAAAGAGGATAAGAACGACGAGCGGACCCCCATCTTCGG-  
 CAACATCGGGACGGTGGCTTACACCGAGAACAGTACCCCACCATCTACCAACCTGAGAAAGAAACTG  
 GTGGACAGCACCGACAAGGCCACCTGGCTGATCTGAGGGCGACCTGAACCCGACAACAGCGACGTGGACAAGCT  
 GTTCATCCAGCTGGTGACGACCTACAACCAAGCTGTTGAGGGAAACCCATCAACGC-  
 CAGCGCGTGGACGCCAGGCCATCCTGCTGCCAGACTGAGCAAGAGCAGACGGCTGGAAAATCT  
 GATCGCCCAGCTGCCGGCAGAAAAAAATGGCCTGTTGGAAACCTGATT  
 GCCCTGAACCCGGGGCTGACCCCAATTCAAAAACAACCTCGACCTGGGCAAGGAAGGCCAA  
 CTGGAGCTGAACCAGGGAACCTTAAGAAAGAAGAACCTGGAAAAACCGGGTGGGCCAAAT-  
 GGGGAAAAAAACCAAACCTTTGGCCCCCAAAAAACTGGCCAACACCCCCCTGGGTGAA  
 GAAACCTT

## lentiCRISPRv2 gRNA2, Axi (1)

TCCGTATTCAATTCTGGCTTATATATCTTGTGAAAGGACGAAACACCGCTGCCAGG-CGCCGAAGGAGTTTAGAGCTAGAAATAGCAAGTAAAATAAGGCTAGTCCGTTATCAACTTGAAAAA GTGGCACCAGTCGGTCTTTTGAAATTCGCTAGCTAGGTCTTGAAGGAGTGGGAATTGG-CTCCGGTCCCCGTCACTGGGCAGAGCGCACATCGCCCACAGTCCCCGAGAAGTTGGGGGAGGGG TCGGCAATTGATCCGGTGCCTAGAGAAAGGTGGCGGGGTAAACTGGGAAAGTGTGCGTG-TACTGGCTCCGCCTTTTCCCAGGGTGGGGAGAACCGTATATAAGTGCAGTAGTCGCCGTGAACG TTCTTTTCGCAACGGTTGCCGCCAGAACACAGGACCGGTTCTAGAGCGCTGCCACCAT-GGACAAGAAGTACAGCATCGGCCCTGGACATCGGCACCAACTCTGTTGGCTGGGCCGTGATCACCGA CGAGTACAAGGTGCCAGCAAGAAATTCAAGGTGCTGGCAACACCGACCGGACAGCAT-CAAGAAGAACCTGATCGGAGCCCTGCTGTCAGCAGCGGCAAACAGCCGAGGCCACCCGGCTGAA GAGAACCGCCAGAAGAAGATAACACAGACGGAAGAACCGGATCTGCTATCTGCAAGA-GATCTTCAGCAACGAGATGGCCAAGGTGGACAGCAGCTCTTCCACAGACTGGAAGAGTCCTTCCTG GTGGAAGAGGATAAGAACGACGGAGCGGACCCCATCTCGGCAACATCGTGGACAGGTTGG-CCTACCACGAGAAGTACCCCACCATCTACCACCTGAGAAAGAAAATCTGGTGGACAGCACCGACAAGGC CGACCTGCGGCTGATCTATCTGGCCCTGGCCCACATGATCAAGTTCGGGGCCACTT-CCTGATCGAGGGCGACCTGAACCCCGACAACAGCGACGTGGACAAGCTGTTCATCCAGCTGGTGCAGACCTACAACCAGCTGTTGAGGAAACCCCATCAACGCCAGCGGCGTGGACGCCAAGG-CCATCCTGCTGCCAGACTGAAACAGAGCAGACGGCTGGAAAATCTGATCGCCAGCTGCCGGCG AGAAGAAGAATGGCCTGTTGGAAACCTGATTGCCCTGAGCCTGGCCTGACCCCCAAC-TTTCAGAAGCAACTCAAACCTGGCCAAGAATGCCAAACTGGCACCTGAACAAGGGAACCTACGA CGAAGAACCGGGAAACCTGGTGGGCCAAATGGGGAAAAAAACCCACATTGGTTT

## lentiCRISPRv2 gRNA2, Axi (2)

CCCGAATTGATTCTGGGCTTATATATCTTGTGGAAAGGACGAAACACCGGA-GACGGTTGAAATGAGCACACAAAATACACATGCTAAAATATTATATTCTATGACCTTATAAAATCAAC CAAAATCTCTTTTAATAACTTAGTATCAATAATTAGAATTTTAT-GTTCTTTGCAAACCTTAATAAAATGAGCAAATAAAAAACGCTAGTTTAGTAACTCGCGTTGT TTTCTTACCTTAATAATAGCTACTCCACCACTTGTCTTAAGCGGTAGCTCCTGCTT-CAATCATTTTGAGCATTGCAATGTTCAACTCCACCGAGCTGCTTAACTAAAGCATTGCTTTAAC AACTGACTTCATTAGTTAACATCTCAATGTTGACCTGATTGAAAATCCTGTTGAT-GTTTAACAAATTCTAACAGCTTACAAGCTTCAAGCTTGTGATTTCATGATTCTCTTTGTTAA ACAATTTCATAATACATTTAACACATGTGATCCAGCTGCTTTTACAGCTTTCAT-GTCTTCTAAAATTCATAATTGTTGTCTTAAATGCACCAATATTTAACCCATATCAATTCTGTTG CACCATCTTAATTGCTTCAGAAACTTCGAATGCTTTGAGCTGTTGATGCACCTA-GAGGAAAACCTACAACATTGTTATTCCACATTGTCCTTTAATAATTCTTACAATAGCTGTTCA ATATGAATTACACAAAATGTTGCAAATCAAATTCAATTGCTTCATCACATAATT-GTTTAATTTCAGCTTCGTTGACATCTGTTTAATAATGTTGATCTATATTGTTAGTTCATTTT TCTCCTATATATTCTATTAAATTCTTAATAATTCTGCTACTTTAACCT- TAGCGTTTGAACAGATTCAACACACCTATAAAATAATTAGTTAGGTTAGTTCACTGGC GAACAGCAAATCATGACTTATCTTCTAAATAAAATTAGTAAGTCTTGTCTGG-CATATTATACATTCCATCGATGAGTCTTCAACATTAACAACTTTAACGCAATTGAGTTAAGGG GGTTGCTCTCAAGGATTTCATTAAGGGGTCAATTGTTAATTCTTCTCGGGTAAATT- CAAGTTAAAGGGAAAGGGAAAATGCACCCATTCTTAAAAAAACCTCCAAAAGCCCCAAG

**Nrg1**

## lentiCRISPRv2 gRNA1, Nrg1 (1)

TCCGAATTGATTCTGGGCTTATATATCTTGTGAAAGGACGAAACACCGCAGCCATCT-CATAAAAGTGTGTTTAGAGCTAGAAATAGCAAGTAAAATAAGGCTAGTCCGTTATCAACTTGAAAAA GTGGCACCAGTCGGTCTTTGAATTGCTAGCTAGGTCTTGAAGGAGTGGGAATTGG-CTCCGGTCCCCGTCACTGGGCAGAGCGCACATCGCCCACAGTCCCCGAGAAGTTGGGGGAGGGG

TCGGCAATTGATCCGGTGCCTAGAGAACGGTGGCGGGGTAACGGAAAGTGATGTCGTG-TACTGGCTCCGCCCTTTCCCAGGGTGGGGGAGAACCGTATAAGTGCAGTAGTCGCCGTGAACGTTCTTTCGCAACGGTTGCGGCCAGAACACAGGACCGGTTCTAGAGCCTGCCACCAT-GGACAAGAAGTACAGCATCGGCCTGGACATCGGCACCAACTCTGTGGGCTGGCCGTGATCACCGACAGTACAAGGTGCCAGCAAGAAATTCAAGGTGCTGGCAACACCCGACAGCAT-CAAGAAGAACCTGATCGGAGCCCTGCTGTTGACAGCGGAAACAGCCGAGGCACCCGGCTGAAAGAACCGCCAGAAGAAGATAACCAGACGGAAGAACCGGATCTGCTATCTGCAAGA-GATCTTCAGCAACGAGATGGCCAAGGTGGACGACAGCTTCCACAGACTGGAAGAGTCCTTCCTG GTGGAAGAGGATAAGAACGACCGAGCGGACCCCCATCTCGGCAACATCGTGGACAGGAGGTGG-CCTACCACCGAGAAGTACCCACCATCTACCACCTGAGAAAGAAACTGGTGGACAGCACCGACAAGGC CGACCTGCGGCTGATCTATCTGCCCTGCCACATGATCAAGTCCGGGCACTT-CCTGATCGAGGGCAGCCTGAACCCCGACAACAGCGACGTGGACAAGCTGTTCATCCAGCTGGTGCAGACCTACAACCAGCTGTTGAGGAAACCCCATCAACGCCAGCGCGTGGACGCCAAGG-CCATCCTGTCGCCAGACTGAGCAAGAGCAGACGGCTGAAAATCTGATGCCCAAGCTGCCCGCG AAAAAAAAATGGCCTGTTGGAACCTGATTGCCAACCTGGG- CCTGACCCCCAATTCAAGAAATTCAACCTGGCAAGATGCCAATGGACCTGAACAAGGGACC CTTCAAGACAACGGAAACCGGTGGGCAAATTGGAACAGAACGCAACTGTTTGGG-CCCCAAAATGTCCAACCCCCCGGGAACAAAATCCAGAAGAGAAACCAATAACCAAGGCCCG CGGGCCCCCTTAAAAAAAAAGACCCCACAGAAA-TAGCCCCGGGAAGAATTGGGGGAGAAGGTG

## lentiCRISPRv2 gRNA1, Nrg1 (2)

TAAGGGAATCAGTGTGTTGAAATTGTGCTCATTACCGGTGAGCGGAAAAGATGGCGT-CATCTAGGTTGCTAACGCTCATCACCTCATCTTGCCTCTCAGTTCTCTCTGCCGACGACGA ATAGAACCCATCTCGCAAACGATCTCTCCCTCTGAAGAAAAGATCTCACCGGA-GATCGCTCCTCTCCCTCAGTCCACTCAACCATCCTCTCTCGACACTTC CTGAACCAGAAAACGACGACGTTCCGAGATCCTGAGCCCGCTTCGCTCCATCGGCTT-CTCCTCCGCTTCACTCTGCTCTCTGAGTCCCGAGTTTCACTACTTGCTCTCG CGCCGCTCTATTGTTCTGCTCCGGCTTCTGCGCTTCAAGTCCCGAGTTTCACTACTAGGTCACTATTTAGACACGTACGTCAATTATTTCACTGAGTTATTGTCCCCCTAAAATACGAATAATATT AGATTAGTTGATTTCAATTTTTTACTATTGTATTTTATTGTTCTCCAC-TTAACATTTGTTACAGTTAGATTGTTAAGGGAAAACAAAAAAAGAATAATGAGCTGTCGT GCTGTGTAGTTATGCACATCCACATGCCAAACATGAGCGCATTATGACAAGG-TAATGAGAGATGGTGTGCGTAAGGTAGG

## lentiCRISPRv2 gRNA2, Nrg1 (1)

CCCGAATTGATTCTGGCTTATATATCTTGAAAGGACGAAACACCGAGCTAT-TAAGGAACACCAGGGTTAGAGCTAGAAATAGCAAGTAAATAAGGCTAGTCGTTATCAACCTGA AAAAGTGGCACCGAGTCGGTGTCTTTGAATTGCTAGCTAGGTCTTGAAGGAGT-GGGAATTGGCTCCGGTGCCTAGTGGCAGAGCGCACATGCCACAGTCCCCGAGAAGTTGGG GGGAGGGGTCGGCAATTGATCCGGTGCCTAGAGAACGGTGGCGCGGGTAACGGAAAGT-GATGTCGTGACTGGCTCCGCCCTTCCGAGGGTGGGGAGAACCGTATATAAGTGCAGTAGTCG CCGTGAACGTTCTTTCGCAACGGTTGCCAGAACACAGGACCGGTTCTA-GAGCGCTGCCACCATGGACAAGAACGAGTACAGCATGGCCTGGACATGGCACCAACTCTGTGGGCTG GCCGTGATCACCGACGAGTACAAGGTGCCAGCAAGAAATTCAAGGTGCTGGG-CAACACCGACCGGCACAGCATCAAGAACCTGATCGGAGCCCTGCTTGCACAGCGGGAAAC AGCCGAGGCCACCCGGCTGAAGAGAACCGCCAGAACAGAAGATACACCAGACGGAAGAACCG-GATCTGCTATCTGCAAGAGATCTTCAGCAACGAGATGCCAAGGTGGACGACAGCTTCTTCCACAGA CTGGAAAGAGTCCTCTGGTGAAGAGGATAAGAACGACGAGCGGGCACCCCATCTTCCGG-CAACATCGTGGACGAGGTGGCCCTACCAAGGAGAACGGTACCCACCTGAGAAAGAAACTG GTGGACAGCACCAGAACAGGCCACTTCTGATCGAGGGCGACCTGAACCCCGACAACAGCGACG TGGACAAGCTGTTCATCCAGCTGGTCA-GACCTACAACCAGCTGTTGAGGAAAACCCATCAACGCCAGCGCGTGGACGCCAAGGCCATCCT GTCTGCCAGACTGAACAGAGCAGACGGCTGGAAAATCTGATGCCAGCTGCCGGCGA-GAAAAAAATGGCCTTGGAAACCTGATTGCCCTGAACCGGGGCTGACCCCCAATTTCAGAAGA AATTTCGACCTGGCCAAGAATGCCAATGG-CGCTGAACAGGGAACCCCTCAACAAACTGGGAAACC

lentiCRISPRv2 gRNA2, Nrg1 (2)

CCCGTATTGATTCTGGCTTATATATCTGTGGAAAGGACGAAACACCGAGCTAT-  
TAAGGAACACCAGGGTTTAGAGCTAGAAATAGCAAGTAAAATAAGGCTAGTCGTTATCAACTTGA  
AAAAGTGGCACCGAGTCGGTGCTTTTGAAATTGCTAGCTAGGTCTTGAAGGAGT-  
GGGAATTGGCTCCGGTGCCTCAGTGGCAGAGCGCACATCGCCCACAGTCCCCGAGAAGTGGG  
GGGAGGGGTGCGCAATTGATCCGGTGCTAGAGAAGGTGGCGGGGTAACGGAAAGT-  
GATGTCGTGTACTGGCTCCGCCCTTCCGAGGGTGGGGAGAACGTATATAAGTGCAGTAGTCG  
CCGTGAACGTTCTTTCGCAACGGGTTTGCAGAACACAGGACCGGTTCTA-  
GAGCGCTGCCACCATGGACAAGAAGTACAGCATGGCCTGGACATGGCACCAACTCTGTGGGCTG  
GGCGTGATCACCGACGAGTACAAGGTGCCAGCAAGAAATTCAAGGTGCTGGG-  
CAACACCGACCGGCACAGCATCAAGAAGAACCTGATCGGAGCCCTGCTGTTGACAGCGGGCAAAC  
AGCCGAGGCCACCCGGCTGAAGAGAACCGCCAGAAGAAGATAACACCAGACGGAAGAACCG-  
GATCTGCTATCTGCAAGAGATCTTCAGCAACGAGATGGCAAGGTGGACGACAGCTTCTTCACAGA  
CTGGAAGAGTCCTCTGGTGGAAAGAGGATAAGAACGACGAGCGCACCCATCTCGG-  
CAACATCGTGGACGAGGTGGCTACCACCGAGAAGTACCCCACCATCTACCACCTGAGAAAGAAACTG  
GTGGACAGCACCGACAAGGCCACCTGCGGCTGATCTATCTGGCCCTGG-  
CCACATGATCAAGTCCGGGCCACTCCTGATCGAGGGCAGCTGAACCCGACAACAGCGACG  
TGGACAAGCTGTTATCCAGCTGGTGCA-  
GACCTACAACCAGCTTCTGAGGAAAACCCATCAACGCCAGCGGTGGACGCCAAGGCCATCCT  
GTCTGCCAGACTGAGCAAGAGCAGACGGCTGGAAAATCGGATCGCCAGCTGCCGG-  
CAAAAGAAGAATGGCCTGTTGGAAACCTGATTGCCCTGAACCTGGCCTGACCCCAACTCAAGA  
GCAACTTCCAACCTGCCAGGGATGCCACTG-  
GAGCTGAACAAGGACCCCTACAAGAAGAACCTGGAAAACCTGGTGGGCCATATCGGGACAATACGC  
GAACTGTTTGGGCCCAAGAACTGTTCAAAACCCCGGTGAGGAACCCCTGA

## Price for lentiviral vector digestion, oligo annealing and cloning into digested vector

Lentiviral vector digestion, oligo annealing and cloning into digested vector					
Plasmid extraction (midprep)		reaction (pc.)	kit (pc.)	kit price (ALV 0%)	price for midi (100 ul)
kit/supply			1	100	818
Nucleobond Extra midi kit 100 preps+10 preps (740410.100)			1	500	64
Falcon (50ml)					0,128
Reagent	reaction (ul)	kit (ul)	kit price (ALV 0%)		price for midi (100 ul)
HyClone H2O	100	1000	13,54		8,18
LB-broth (BM040)	200	1000	8		1,6
Ampicillin(100 mg/ml), cn: A0166-5G	50	50000	54,54		0,05454
Mittapipetti 5 ml (cn:86.1253.001)	3	500	72,2		0,4332
Mittapipetti 10 ml (cn: 86.1254.001)	4	500	72,2		0,5776
Mittapipetti 25 ml (cn: 86.1685.001)	1	500	72,2		0,1444
1000 ul refill tips 10x96 (705-1111-6700)	1	960	33,6		0,035
Estimated price for one reaction	5 ug per reaction (~1,8 ug/ul)	midi stock	midi price	estimated price per reaction	
		2,77	100	12,50674	0,346
Phase1		reaction volume (ul)	Kit (ul)	Kit price (ALV 0%)	Price per reaction
Reagent/kit			3,5	20	61,69
FastDigest Esp31 (BsmBI), cn:FD0454			3,5	1000	61,8
FastAP (cn:EF0651)			0,6	2,5	0,00589615
100 mM DTT			1047,1	100000	13,54
HyClone H2O (dilution added)					0,142
Phase 2		reaction (pc.)	Kit (pc.)	Kit price (ALV 0%)	Price per reaction
PCR tubes 0,2 ml, thin-walled tubes with flat cap (AB-0620)		1	1000	26,4	0,026
10/20 ul refill tips 10x96 tips (70-S1110-3700)		6	960	25,6	0,160
Phase 2		reaction volume (ul)	Kit (ul)	Kit price (ALV 0%)	Price per reaction
Reagent/kit			10	400	66,71
SYBR Safe DNA gel stain 1000x (cn:S33102)			0,7	500	806
Agarose (g not ul), cn:443025T			10	5000	103,69
DNA ladder					0,207
Supply	reaction (pc.)	Kit (pc.)	Kit price (ALV 0%)		Price per reaction
Nucleospin Gel and PCR clean up (cn: 740609.250)	1	250	287		1,15
10/20 ul refill tips 10x96 tips (70-S1110-3700)	2	960	25,6		0,053
Microcentrifuge tubes 1,5 ml Eppendorf (KART279)	2	500	11,29		0,045
1000 ul refill tips 10x96 (705-1111-6700)	3	960	33,6		0,105
200 ul refill tip 10 x 96 (70-S1111-0700)	1	960	21,4		0,022
Phase 3 & 4		reaction volume (ul)	Kit (ul)	Kit price (ALV 0%)	Price per reaction
Reagent			0,5	50	58
T4 PNK (M0201S)			205,5	100000	13,54
HyClone H2O					0,0278
Oligos (FWD+REV+dispatching costs)					19,5
Supply	reaction (pc.)	Kit (pc.)	Kit price (ALV 0%)		Price per reaction
PCR tubes 0,2 ml, thin-walled tubes with flat cap (AB-0620)	2	1000	26,4		0,053
10/20 ul refill tips 10x96 tips (70-S1110-3700)	6	960	25,6		0,160
Phase5		reaction volume (ul)	Kit (ul)	Kit price (ALV 0%)	Price per reaction
Reagent			1,5	30	124
Quick Ligation (M2200S)			3	100000	13,54
HyClone H2O					0,0004
Supply	reaction (pc.)	Kit (pc.)	Kit price (ALV 0%)		Price per reaction
PCR tubes 0,2 ml, thin-walled tubes with flat cap (AB-0620)	1	1000	26,4		0,03
10/20 ul refill tips 10x96 tips (70-S1110-3700)	5	960	25,6		0,13
Phase6		Reaction volume (ul)	STK (ul)	STK price (ALV 0%)	Price per reaction
Supply			100	1000	460,97
one shot stbl3 com E.coli, 80 ul (C737303)			1	100	83,5
PUC19					0,835
Supply	reaction (pc.)	Kit (pc.)	Kit price (ALV 0%)		Price per reaction
Lb+ampicillin plate (sample+controls)	3				19,95
Microcentrifuge tubes 1,5 ml Eppendorf (KART279)	1	500	11,29		0,02
greiner pyréäpohja sentrifugiputki 14 ml (187261)	1	800	98,6		0,12
inoculation spreader (86.1569.005)	1	500	150,36		0,30
10/20 ul refill tips 10x96 tips (70-S1110-3700)	1	960	25,6		0,03
200 ul refill tip 10 x 96 (70-S1111-0700)	1	960	21,4		0,02
LB-broth (BM040)	5	1000	8		0,04
Ampicillin(100 mg/ml), cn: A0166-5G	5	50000	54,54		0,01

## Liite 6

### 2 (2)

Phase7		reaction (pc.)	Kit (pc.)	Kit price (ALV 0%)	Price per reaction
Supply					
Nucleospin plasmid mini kit Transfection grade (740490)		2	250	411	1,64
glycerol 100 % -> 50 % (Kit price/2)		800	1000000	5,645	0,005
Microcentrifuge tubes 1,5 ml Eppendorf (KART279)		4	500	11,29	0,090
Cryotubes		2	500	83,5	0,334
1000 ul refill tips 10x96 (705-1111-6700)		12	960	33,6	0,420
200 ul refill tip 10 x 96 (705-5111-0700)		2	960	21,4	0,045
				Total	112,71 €
				Total (110%)	124,0 €
Time	Phase		time(h)		
	Gel+pipeting (p1)		1,00		
	Gel purification (p2)		0,83		
	phosphorylate and anneal oligos (p3)		0,25		
	dilute and ligation reaction (p4 and p5)		0,67		
	Transformation into Stbl3 bacteria		1,47		
	Inoculation to LB-ampicillin broth + plasmid DNA isolation and purification+cryotubes		2,50		
	<b>Total</b>		<b>6,72 h</b>		
	<b>Price 10€/h</b>		<b>67,17 €</b>		
				Total (costs+time)	179,87 €
				Total (costs+time, 110%)	191,14 €